

## 【 調 査 資 料 】

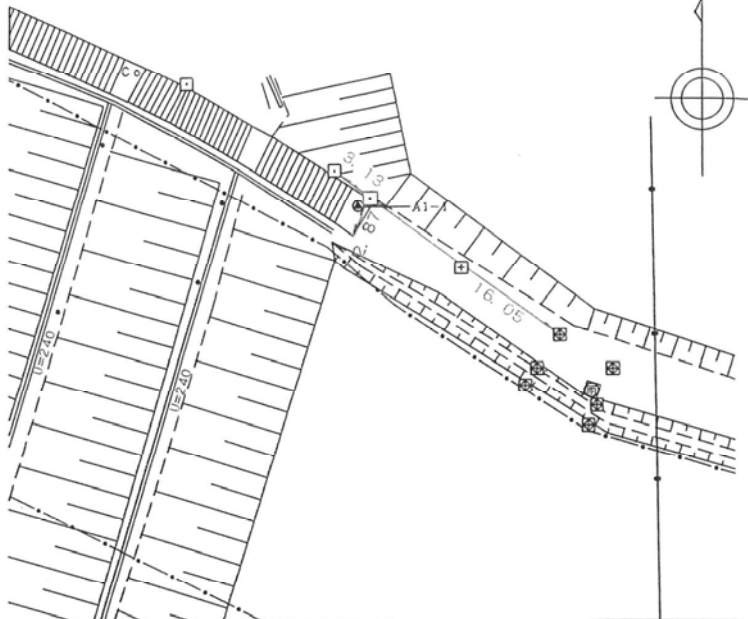


- ・ 調査位置図
- ・ ボーリング柱状図
- ・ 室内土質試験データ
- ・ 調査記録写真

## 調査位置図



# 点 の 記

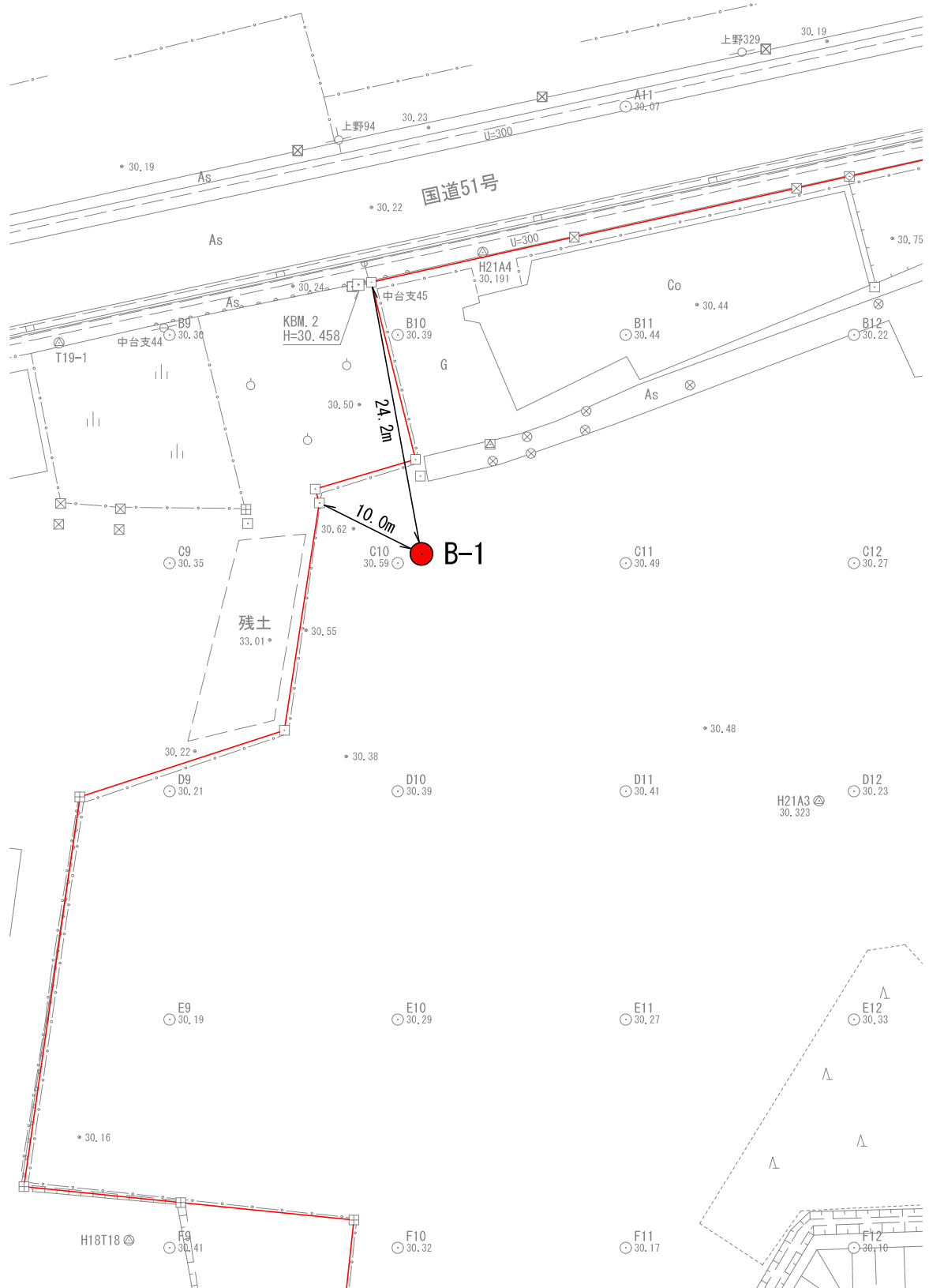
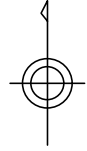
観測者 塚本健太郎

路線番号		所在地  四街道市吉岡字竹ノ谷津五九二番一地先	要  図	
点 名	KBM. 3			
標 識 ノ 種 類	鉋			
現況地目	公衆用道路			
備  考	H=29. 587			
			遠 景 写 真	
			近 景 写 真	



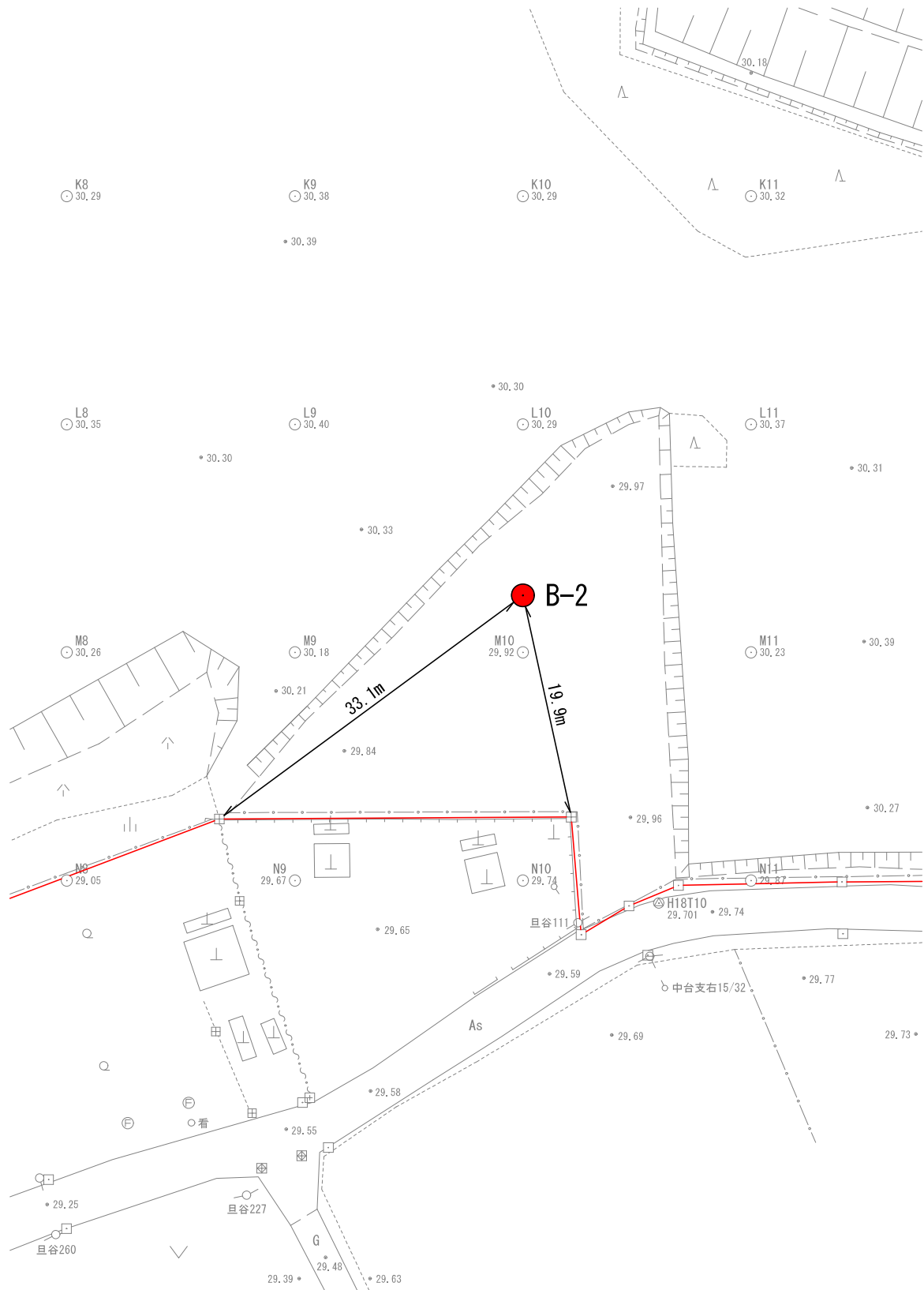
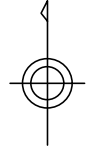
# 点の記

S=1:500



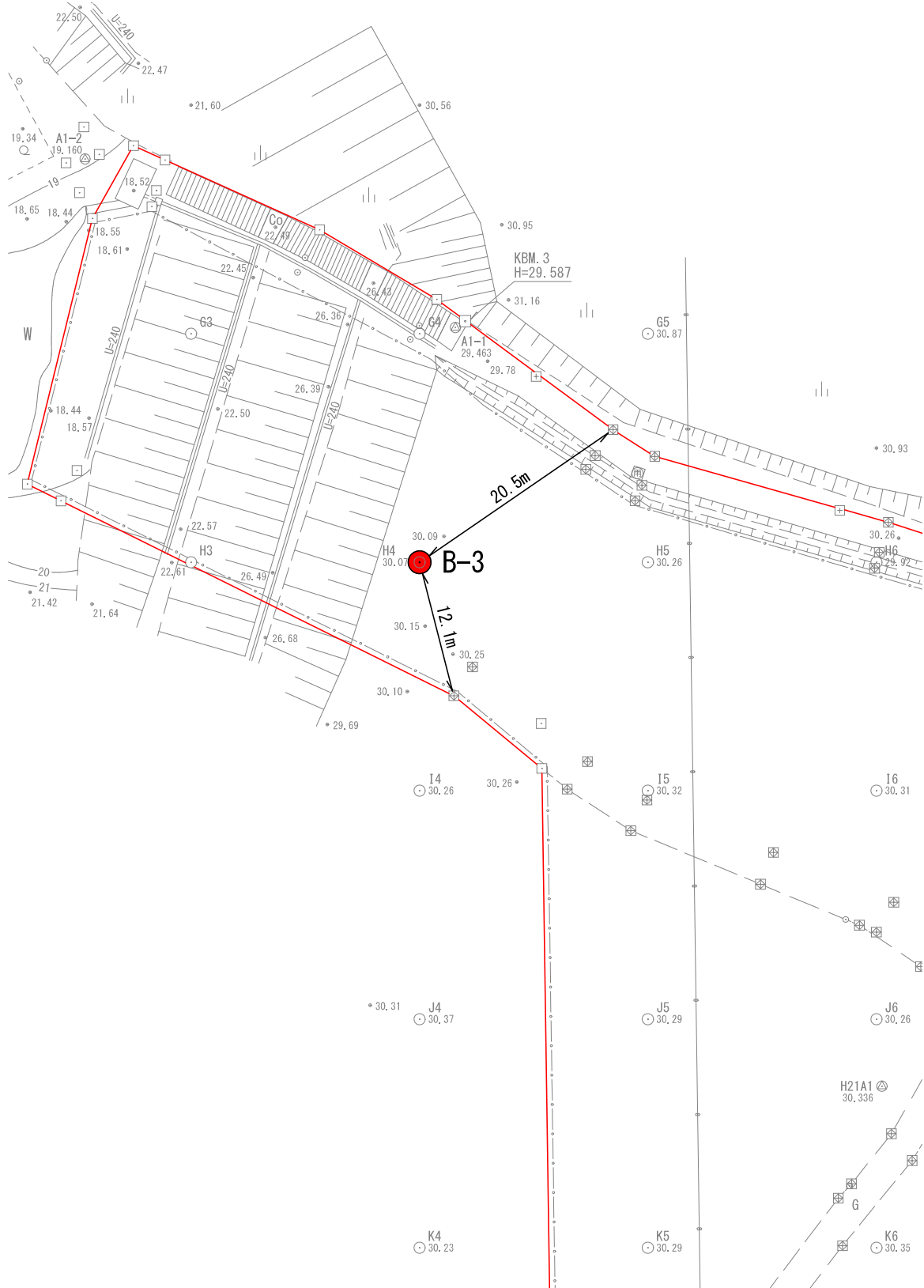
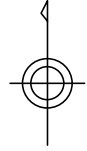
# 点の記

S=1:500



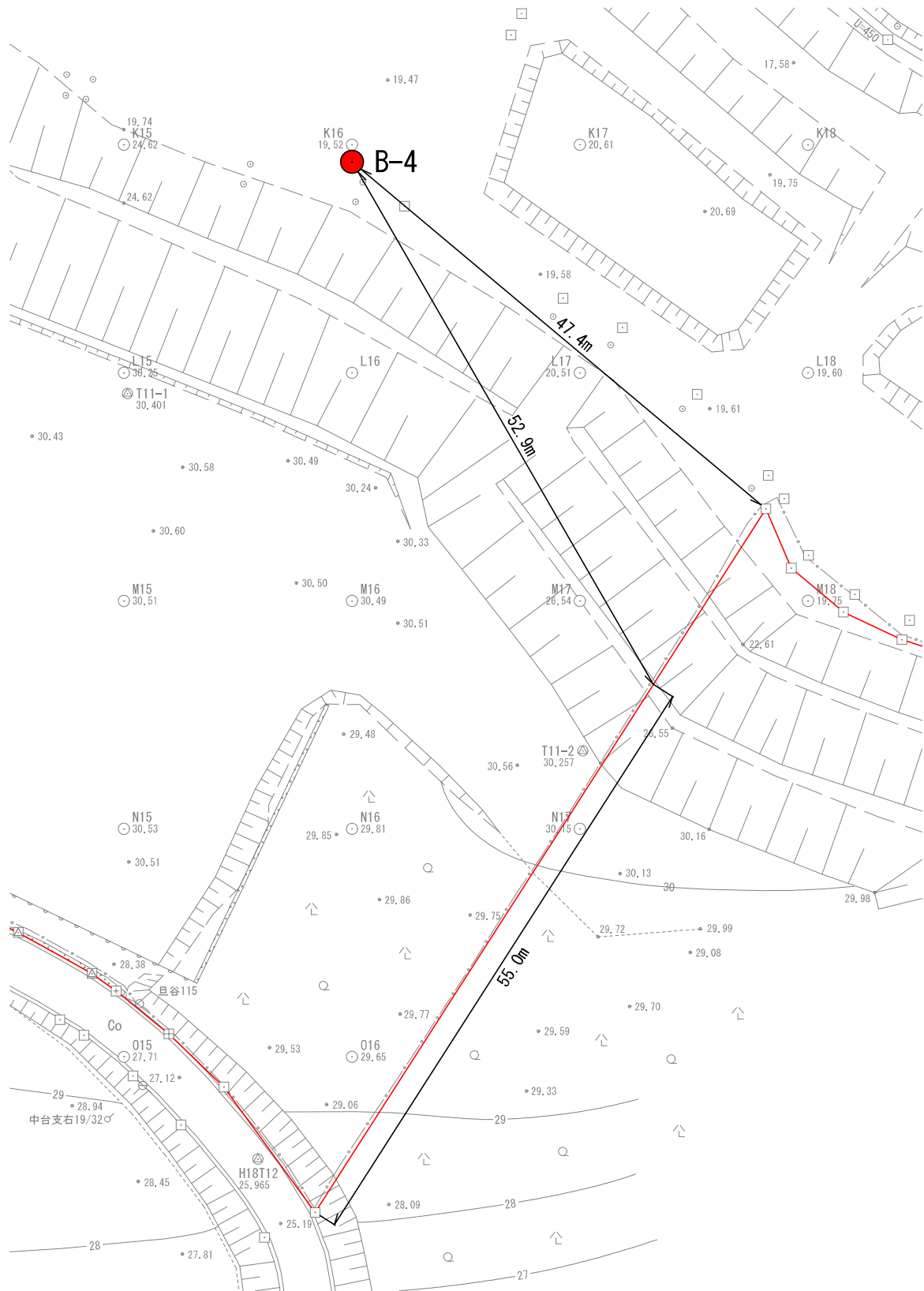
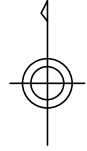
# 点の記

S=1:500



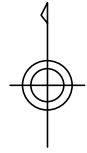
# 点の記

S=1:500



# 点の記

S=1:500



## ボーリング柱状図













## 室内土質試験データ

**B-1**

# 土質試験結果一覧表（基礎地盤）

調査件名 ごみ処理施設用地地質調査委託

整理年月日

2017年 1月 25日

整理担当者

中村 修

試料番号 (深 さ)		1SR-1 (2.00~2.80m)	1SR-2 (9.00~9.80m)			
一般	湿潤密度 $\rho_t$ g/cm <sup>3</sup>	1.242	1.627			
	乾燥密度 $\rho_d$ g/cm <sup>3</sup>	0.557	1.015			
	土粒子の密度 $\rho_s$ g/cm <sup>3</sup>	2.692	2.637			
	自然含水比 $w_n$ %	123.4	60.3			
	間隙比 $e$	3.845	1.598			
	飽和度 $S_r$ %	86.4	99.5			
粒度	石分 (75mm以上) %					
	礫分 <sup>1)</sup> (2~75mm) %	0.0	0.0			
	砂分 <sup>1)</sup> (0.075~2mm) %	5.4	3.1			
	シルト分 <sup>1)</sup> (0.005~0.075mm) %	73.1	70.6			
	粘土分 <sup>1)</sup> (0.005mm未満) %	21.5	26.3			
	最大粒径 mm	0.250	0.250			
	均等係数 $U_c$	8.77	11.20			
コンシステンシー特性	液性限界 $w_L$ %	152.6	71.1			
	塑性限界 $w_p$ %	73.4	27.9			
	塑性指数 $I_p$	79.2	43.2			
分類	地盤材料の分類名	砂まじり火山灰質粘性土 (II型)	粘土 (高液性限界)			
	分類記号	(VH <sub>2</sub> -S)	(CH)			
	試験方法	段階載荷	段階載荷			
圧密	圧縮指数 $C_c$	1.721	0.930			
	圧密降伏応力 $p_c$ kN/m <sup>2</sup>	359.8	201.6			
一軸圧縮	一軸圧縮強さ $q_u$ kN/m <sup>2</sup>	140.8	83.5			
	破壊ひずみ $\epsilon_f$ %	2.37	2.47			
	変形係数 $E_{50}$ MN/m <sup>2</sup>	6.8	4.6			
せん断	試験条件		UU	UU		
	全応力	$c$ kN/m <sup>2</sup>	59.5	39.3		
		$\phi$ °	16.0	1.7		
	有効応力	$c'$ kN/m <sup>2</sup>				
		$\phi'$ °				

特記事項

1) 石分を除いた75mm未満の土質材料に対する百分率で表す。

[1kN/m<sup>2</sup> ≒ 0.102kgf/cm<sup>2</sup>]



JIS A 1202 JGS 0111	土 粒 子 の 密 度 試 験 (測定)	
------------------------	----------------------	--

調査件名  ごみ処理施設用地地質調査委託

試験年月日  2017年 1月 13日

試 験 者  飯島 かおる

試料番号 (深さ)		1SR-1 (2.00~2.80m)			1SR-2 (9.00~9.80m)		
ピクノメーター No.		121	122	123	124	125	126
(試料+蒸留水+ピクノメーター)の質量 $m_b$ g		155.265	160.484	157.570	174.089	166.936	163.913
$m_b$ をはかったときの内容物の温度 $T$ °C		16.0	16.0	16.0	16.0	16.0	16.0
$T$ °Cにおける蒸留水の密度 $\rho_w(T)$ g/cm <sup>3</sup>		0.99894	0.99894	0.99894	0.99894	0.99894	0.99894
温度 $T$ °Cの蒸留水を満たしたときの (蒸留水+ピクノメーター)質量 $m_a^{1)}$ g		146.100	151.462	148.387	161.033	153.758	150.605
試料の 炉乾燥質量	容器 No.						
	(炉乾燥試料+容器)質量g	14.556	14.374	14.588	20.983	21.264	21.414
	容器質量 g						
$m_s$ g		14.556	14.374	14.588	20.983	21.264	21.414
土粒子の密度 $\rho_s$ g/cm <sup>3</sup>		2.697	2.683	2.696	2.644	2.627	2.639
平均値 $\rho_s$ g/cm <sup>3</sup>		2.692			2.637		
試料番号 (深さ)							
ピクノメーター No.							
(試料+蒸留水+ピクノメーター)の質量 $m_b$ g							
$m_b$ をはかったときの内容物の温度 $T$ °C							
$T$ °Cにおける蒸留水の密度 $\rho_w(T)$ g/cm <sup>3</sup>							
温度 $T$ °Cの蒸留水を満たしたときの (蒸留水+ピクノメーター)質量 $m_a^{1)}$ g							
試料の 炉乾燥質量	容器 No.						
	(炉乾燥試料+容器)質量g						
	容器質量 g						
$m_s$ g							
土粒子の密度 $\rho_s$ g/cm <sup>3</sup>							
平均値 $\rho_s$ g/cm <sup>3</sup>							
試料番号 (深さ)							
ピクノメーター No.							
(試料+蒸留水+ピクノメーター)の質量 $m_b$ g							
$m_b$ をはかったときの内容物の温度 $T$ °C							
$T$ °Cにおける蒸留水の密度 $\rho_w(T)$ g/cm <sup>3</sup>							
温度 $T$ °Cの蒸留水を満たしたときの (蒸留水+ピクノメーター)質量 $m_a^{1)}$ g							
試料の 炉乾燥質量	容器 No.						
	(炉乾燥試料+容器)質量g						
	容器質量 g						
$m_s$ g							
土粒子の密度 $\rho_s$ g/cm <sup>3</sup>							
平均値 $\rho_s$ g/cm <sup>3</sup>							

特記事項

1) ピクノメーターの検定結果から求める。

$$\rho_s = \frac{m_s}{m_s + (m_a - m_b)} \times \rho_w(T)$$



調査件名 ごみ処理施設用地地質調査委託

試験年月日 2017年 1月 12日

試験者 飯島 かおる

試料番号 (深さ)	ISR-1 (2.00~2.80m)			ISR-2 (9.00~9.80m)		
容器 No.	184	218	737	32	110	120
$m_a$ g	64.60	61.44	57.21	59.77	70.81	63.06
$m_b$ g	34.55	32.90	31.15	39.99	48.75	43.38
$m_c$ g	11.27	11.41	7.10	7.08	11.47	11.39
$w$ %	129.1	132.8	108.4	60.1	59.2	61.5
平均値 $w$ %	123.4			60.3		
特記事項						

試料番号 (深さ)						
容器 No.						
$m_a$ g						
$m_b$ g						
$m_c$ g						
$w$ %						
平均値 $w$ %						
特記事項						

試料番号 (深さ)						
容器 No.						
$m_a$ g						
$m_b$ g						
$m_c$ g						
$w$ %						
平均値 $w$ %						
特記事項						

試料番号 (深さ)						
容器 No.						
$m_a$ g						
$m_b$ g						
$m_c$ g						
$w$ %						
平均値 $w$ %						
特記事項						

試料番号 (深さ)						
容器 No.						
$m_a$ g						
$m_b$ g						
$m_c$ g						
$w$ %						
平均値 $w$ %						
特記事項						

$$w = \frac{m_a - m_b}{m_b - m_c} \times 100$$

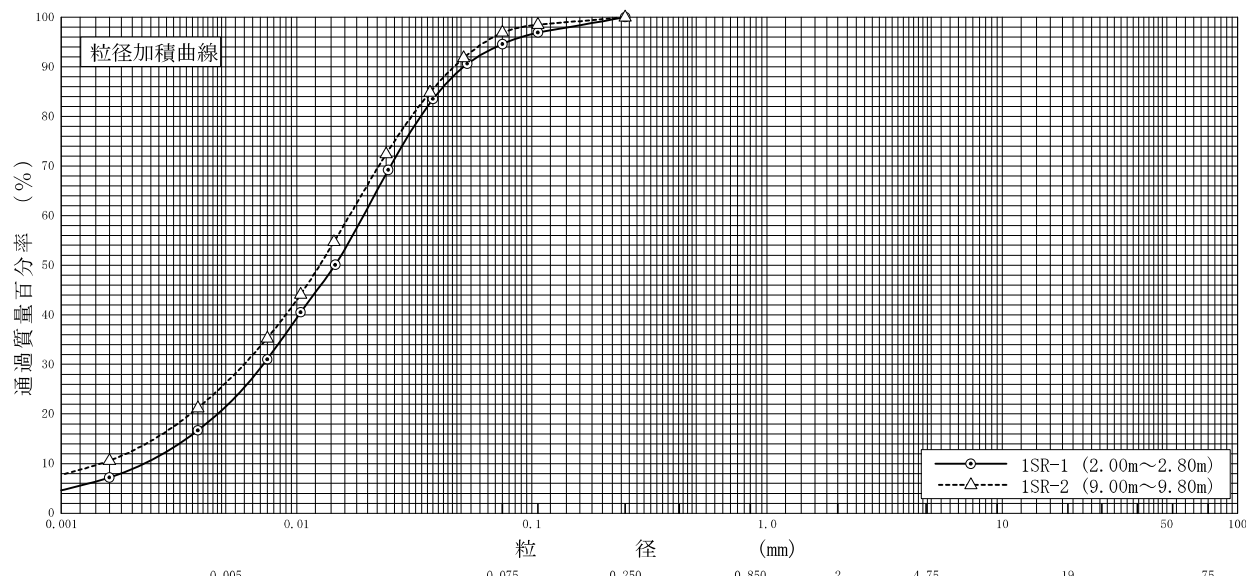
$m_a$  : (試料+容器)質量  
 $m_b$  : (炉乾燥試料+容器)質量  
 $m_c$  : 容器質量

調査件名 ごみ処理施設用地地質調査委託

試験年月日 2017年 1月 16日

試験者 飯島 かおる

試料番号 (深さ)	1SR-1 (2.00~2.80m)		1SR-2 (9.00~9.80m)		試料番号 (深さ)	1SR-1	1SR-2
	粒径 mm	通過質量百分率%	粒径 mm	通過質量百分率%		(2.00~2.80m)	(9.00~9.80m)
ふるい	75		75		粗礫分 %	0.0	0.0
	53		53		中礫分 %	0.0	0.0
	37.5		37.5		細礫分 %	0.0	0.0
	26.5		26.5		粗砂分 %	0.0	0.0
	19		19		中砂分 %	0.0	0.0
	9.5		9.5		細砂分 %	5.4	3.1
	4.75		4.75		シルト分 %	73.1	70.6
	2		2		粘土分 %	21.5	26.3
	0.850		0.850		2mmふるい通過質量百分率 %	100.0	100.0
	0.425		0.425		425μmふるい通過質量百分率 %	100.0	100.0
	0.250	100.0	0.250	100.0	75μmふるい通過質量百分率 %	94.6	96.9
	0.106	96.9	0.106	98.5	最大粒径 mm	0.250	0.250
	0.075	94.6	0.075	96.9	60% 粒径 $D_{60}$ mm	0.0193	0.0168
沈降	0.0531	90.6	0.0512	91.8	50% 粒径 $D_{50}$ mm	0.0146	0.0125
	0.0380	83.5	0.0368	84.8	30% 粒径 $D_{30}$ mm	0.0072	0.0060
	0.0245	69.2	0.0240	72.4	10% 粒径 $D_{10}$ mm	0.0022	0.0015
	0.0146	50.1	0.0144	54.7	均等係数 $U_c$	8.77	11.20
	0.0104	40.5	0.0104	44.1	曲率係数 $U_c'$	1.22	1.43
	0.0075	31.0	0.0075	35.3	土粒子の密度 $\rho_s$ g/cm <sup>3</sup>	2.692	2.637
	0.0038	16.7	0.0038	21.2	使用した分散剤	-	-
析	0.0016	7.2	0.0016	10.6	溶液濃度, 溶液添加量	-	-
					20% 粒径 $D_{20}$ mm	0.0046	0.0035



粘土	シルト	細砂	中砂	粗砂	細礫	中礫	粗礫
----	-----	----	----	----	----	----	----

特記事項

調査件名 ごみ処理施設用地地質調査委託

試験年月日 2017年 1月 17日

試験者 飯島 かおる

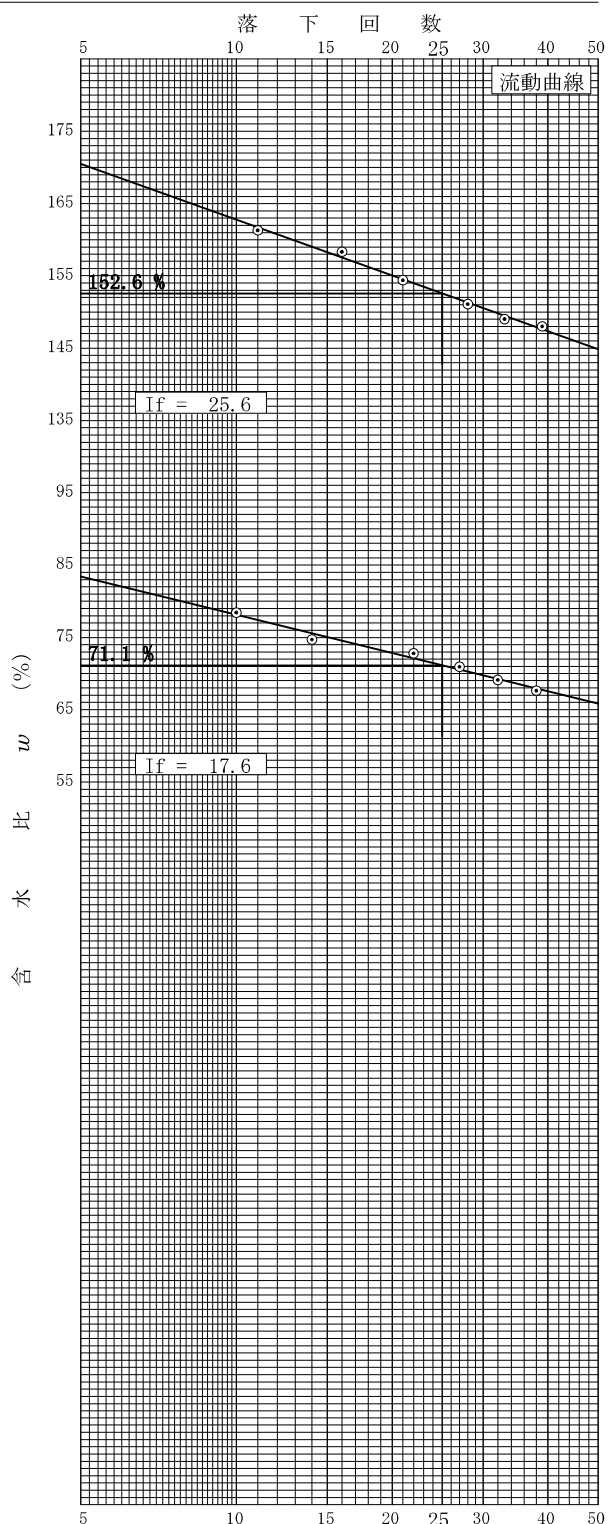
試料番号 (深さ) ISR-1 (2.00~2.80m)			
液性限界試験		塑性限界試験	
落下回数	含水比 $w$ %	含水比 $w$ %	液性限界 $w_L$ %
			152.6
39	148.0	72.7	塑性限界 $w_p$ %
33	149.0	73.3	
28	151.1	74.3	塑性指数 $I_p$
21	154.4		
16	158.3		
11	161.3		

試料番号 (深さ) ISR-2 (9.00~9.80m)			
液性限界試験		塑性限界試験	
落下回数	含水比 $w$ %	含水比 $w$ %	液性限界 $w_L$ %
			71.1
38	67.6	27.3	塑性限界 $w_p$ %
32	69.1	27.9	
27	70.9	28.4	塑性指数 $I_p$
22	72.8		
14	74.7		
10	78.4		

試料番号 (深さ)			
液性限界試験		塑性限界試験	
落下回数	含水比 $w$ %	含水比 $w$ %	液性限界 $w_L$ %
			塑性限界 $w_p$ %
			塑性指数 $I_p$

試料番号 (深さ)			
液性限界試験		塑性限界試験	
落下回数	含水比 $w$ %	含水比 $w$ %	液性限界 $w_L$ %
			塑性限界 $w_p$ %
			塑性指数 $I_p$

特記事項



JIS A 1225 JGS 0191	土の湿潤密度試験 (ノギス法)	
------------------------	-----------------	--

調査件名 ごみ処理施設用地地質調査委託

試験年月日 2017年 1月 11日

試料番号 (深さ) ISR-1 (2.00~2.80m)

試験者 田村 浩由

供試体 No.		1	2	3				
供試体の質量 $m$ g		242.16	236.61	241.31				
供試体	直	上部 cm	4.93	4.99	4.97			
			4.93	4.99	4.97			
		中部 cm	4.93	4.99	4.97			
			4.93	4.99	4.97			
	径	下部 cm	4.93	4.99	4.97			
			4.93	4.99	4.97			
	平均値 $D$ cm		4.93	4.99	4.97			
	高さ			9.98	10.00	9.99		
				9.98	10.00	9.99		
		平均値 $H$ cm		9.98	10.00	9.99		
体積 $V = (\pi D^2 / 4)H$ cm <sup>3</sup>		190.51	195.56	193.81				
含水	容器 No.		184	218	737			
	$m_a$ g		64.60	61.44	57.21			
	$m_b$ g		34.55	32.90	31.15			
	$m_c$ g		11.27	11.41	7.10			
	$w$ %		129.1	132.8	108.4			
比	容器 No.							
	$m_b$ g							
	$m_c$ g							
	$w$ %							
	平均値 $w$ %		129.1	132.8	108.4			
湿潤密度 $\rho_t = m/V$ g/cm <sup>3</sup>		1.271	1.210	1.245				
乾燥密度 $\rho_d = \rho_t / (1 + w/100)$ g/cm <sup>3</sup>		0.555	0.520	0.597				
間隙比 $e = (\rho_s / \rho_d) - 1$		3.850	4.177	3.509				
飽和度 $S_r = w \rho_s / (e \rho_w)$ %		90.3	85.6	83.2				
土粒子の密度 $\rho_s$ g/cm <sup>3</sup>		2.692	平均値 $w$ %	123.4	平均値 $\rho_t$ g/cm <sup>3</sup>	1.242		
平均値 $\rho_d$ g/cm <sup>3</sup>		0.557	平均値 $e$	3.845	平均値 $S_r$ %	86.4		

特記事項

JIS A 1225 JGS 0191	土の湿潤密度試験 (ノギス法)	
------------------------	-----------------	--

調査件名 ごみ処理施設用地地質調査委託

試験年月日 2017年 1月 11日

試料番号 (深さ) 1SR-2 (9.00~9.80m)

試験者 田村 浩由

供試体 No.			1	2	3			
供試体の質量 $m$ g			311.82	315.67	304.91			
供試体	直	上部 cm	4.95	4.96	4.93			
			4.95	4.96	4.93			
		中部 cm	4.95	4.96	4.93			
			4.95	4.96	4.93			
	径	下部 cm	4.95	4.96	4.93			
			4.95	4.96	4.93			
	平均値 $D$ cm		4.95	4.96	4.93			
	高さ			9.93	9.94	9.95		
				9.93	9.94	9.95		
		平均値 $H$ cm		9.93	9.94	9.95		
体積 $V = (\pi D^2 / 4)H$ cm <sup>3</sup>			191.10	192.06	189.94			
含水	容器 No.		32	110	120			
	$m_a$ g		59.77	70.81	63.06			
	$m_b$ g		39.99	48.75	43.38			
	$m_c$ g		7.08	11.47	11.39			
	$w$ %		60.1	59.2	61.5			
比	容器 No.							
	$m_b$ g							
	$m_c$ g							
	$w$ %							
	平均値 $w$ %		60.1	59.2	61.5			
湿潤密度 $\rho_t = m/V$ g/cm <sup>3</sup>			1.632	1.644	1.605			
乾燥密度 $\rho_d = \rho_t / (1 + w/100)$ g/cm <sup>3</sup>			1.019	1.033	0.994			
間隙比 $e = (\rho_t / \rho_d) - 1$			1.588	1.553	1.653			
飽和度 $S_r = w \rho_s / (e \rho_w)$ %			99.8	100.5	98.1			
土粒子の密度 $\rho_s$ g/cm <sup>3</sup>			2.637	平均値 $w$ %	60.3	平均値 $\rho_t$ g/cm <sup>3</sup>	1.627	
平均値 $\rho_d$ g/cm <sup>3</sup>			1.015	平均値 $e$	1.598	平均値 $S_r$ %	99.5	

特記事項

JIS A 1216  
JGS 0511

土の一軸圧縮試験 (強度・変形特性)

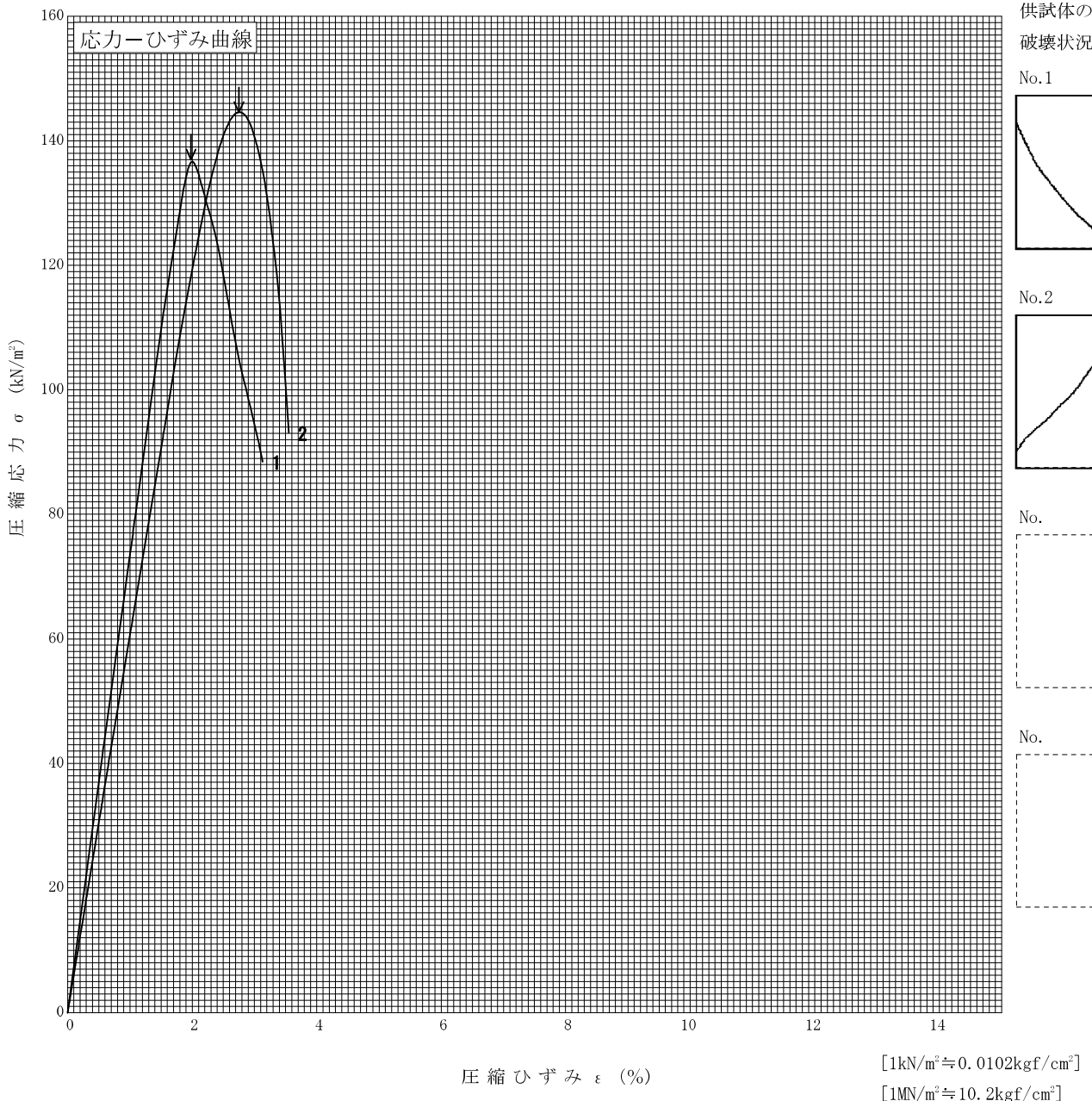
調査件名 ごみ処理施設用地地質調査委託

試験年月日 2017年 1月 11日

試料番号 (深さ) 1SR-1 (2.00~2.80m)

試験者 田村 浩由

土質名称	供試体 No.	1	2
液性限界 $w_L^{11}$ %	試料の状態	乱さない	乱さない
塑性限界 $w_p^{11}$ %	高さ $H_0$ cm	9.98	9.99
ひずみ速度 %/min	直径 $D_0$ cm	5.00	4.97
特記事項 1) 必要に応じて記載する。 $E_{50} = \frac{q_u}{2} / 10 \frac{1}{\epsilon_{50}}$	質量 $m$ g	243.51	242.93
	湿潤密度 $\rho_t^{11}$ g/cm <sup>3</sup>	1.243	1.253
	含水比 $w$ %	138.0	132.7
	一軸圧縮強さ $q_u$ kN/m <sup>2</sup>	137.0	144.6
	破壊ひずみ $\epsilon_f$ %	1.98	2.75
	変形係数 $E_{50}^{11}$ MN/m <sup>2</sup>	7.4	6.1
	鋭敏比 $S_t^{11}$		



JIS A 1216  
JGS 0511

土の一軸圧縮試験 (強度・変形特性)

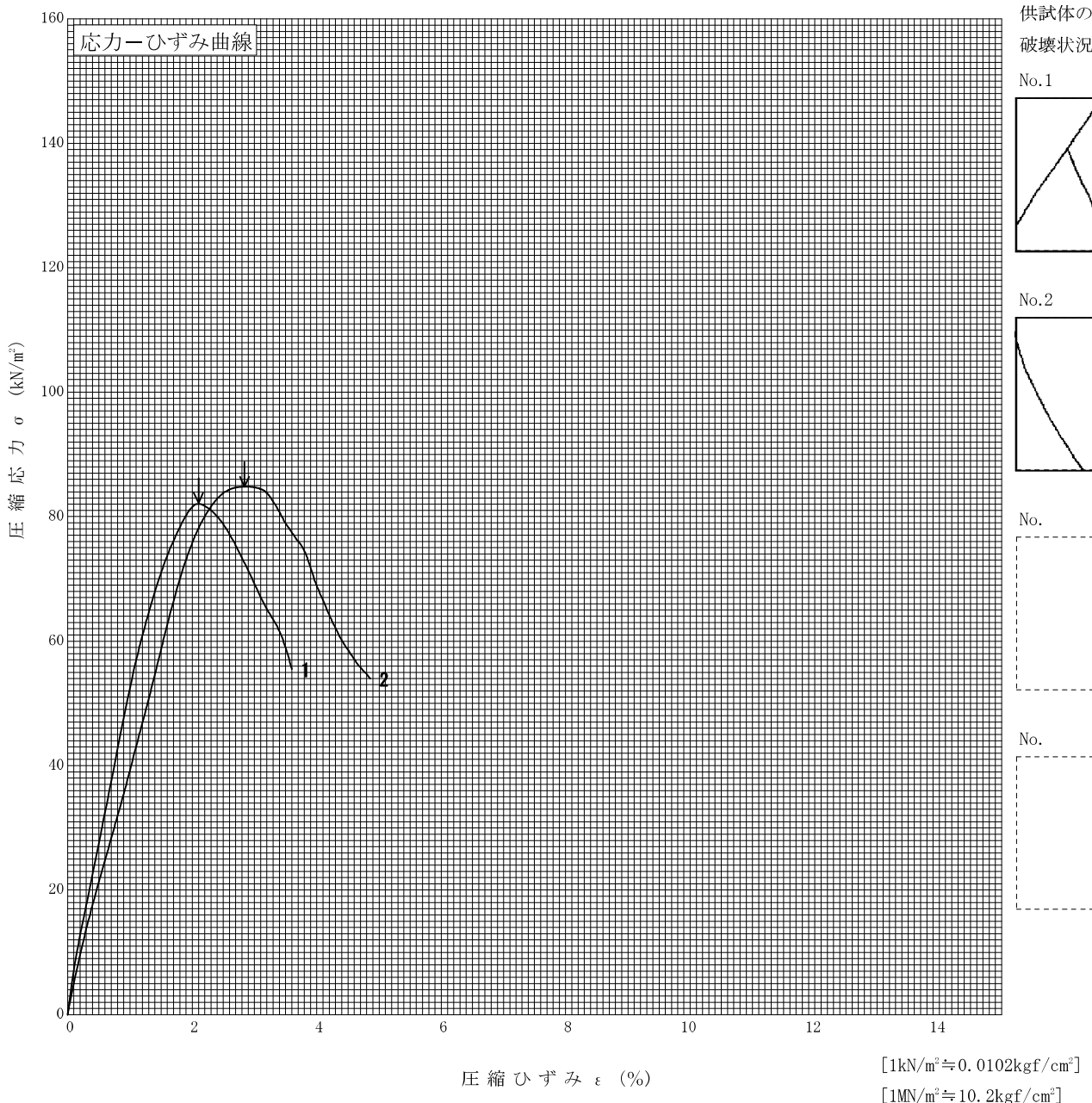
調査件名 ごみ処理施設用地地質調査委託

試験年月日 2017年 1月 11日

試料番号 (深さ) 1SR-2 (9.00~9.80m)

試験者 田村 浩由

土質名称	供試体 No.	1	2
液性限界 $w_L^{1)}$ %	試料の状態	乱さない	乱さない
塑性限界 $w_p^{1)}$ %	高さ $H_0$ cm	9.97	9.96
ひずみ速度 %/min	直径 $D_0$ cm	4.97	4.99
特記事項 1) 必要に応じて記載する。 $E_{50} = \frac{2}{\epsilon_{50}} \cdot \frac{q_u}{10}$	質量 $m$ g	308.78	308.13
	湿潤密度 $\rho_t^{1)}$ g/cm <sup>3</sup>	1.596	1.582
	含水比 $w$ %	65.9	67.9
	一軸圧縮強さ $q_u$ kN/m <sup>2</sup>	82.2	84.8
	破壊ひずみ $\epsilon_f$ %	2.10	2.84
	変形係数 $E_{50}^{1)}$ MN/m <sup>2</sup>	5.3	3.9
	鋭敏比 $S_t^{1)}$		







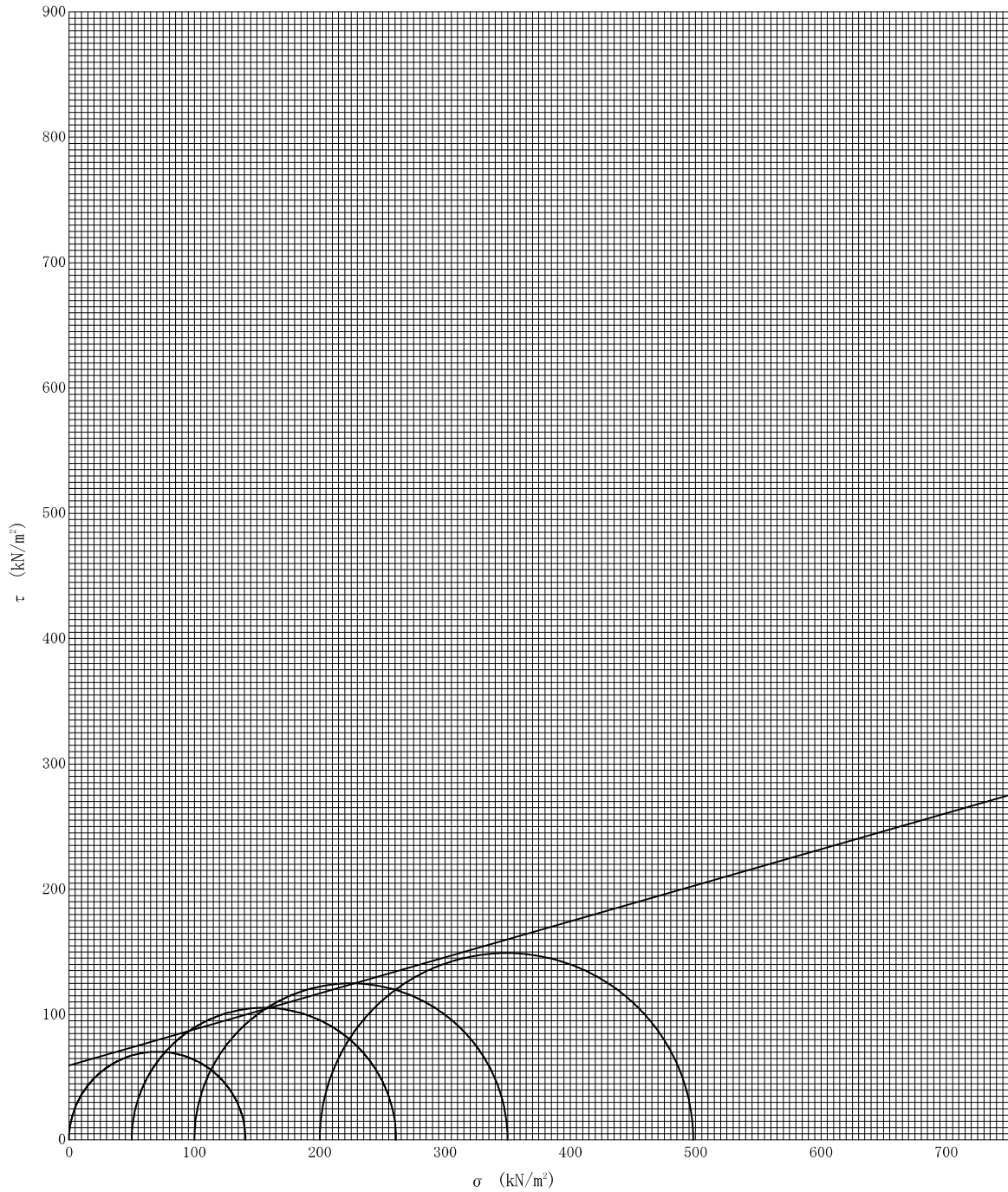
調査件名 ごみ処理施設用地地質調査委託

試験年月日 2017年 1月 11日

試料番号 (深さ) 1SR-1 (2.00~2.80m)

試験者 田村 浩由

強度定数 応力範囲	全 応 力			有 効 応 力	
	$c$ kN/m <sup>2</sup>	$\phi$ °	$\tan \phi$	$c'$ kN/m <sup>2</sup>	$\phi'$ °
正 規 圧 密 領 域	59.5	16.0	0.29		
過 圧 密 領 域					




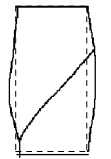
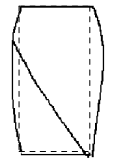

特記事項

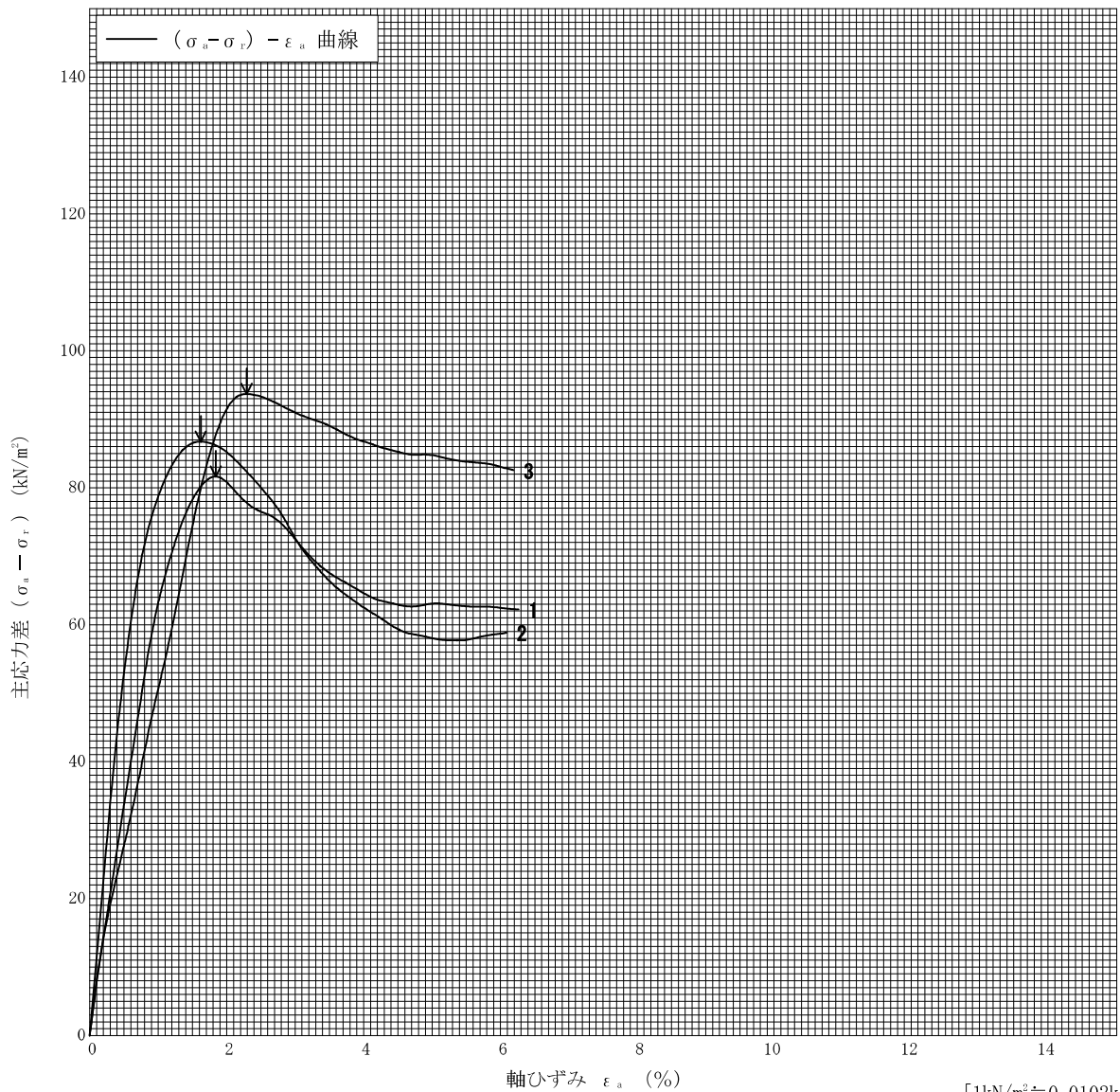
調査件名 ごみ処理施設用地地質調査委託

試験年月日 2017年 1月 11日

試料番号 (深さ) 1SR-2 (9.00~9.80m)

試験者 田村 浩由

土質名称	供試体 No.	1	2	3	
液性限界 $W_L$ % <sup>1)</sup>	セル圧・ <del>圧密応力</del> $kN/m^2$	50.0	120.0	170.0	
塑性限界 $W_p$ % <sup>1)</sup>	背 圧 $u_b$ $kN/m^2$				
ひずみ速度 %/min	圧縮強さ $(\sigma_a - \sigma_r)_{max}$ $kN/m^2$	81.6	86.7	93.7	
特記事項 1) 必要に応じて粘性土の場合は液性限界, 塑性限界, 砂質土の場合は最小乾燥密度, 最大乾燥密度等を記載する。	主 軸 力 差 最 大 時	軸ひずみ $\epsilon_{af}$ %	1.84	1.62	2.29
	CU	間隙水圧 $u_e$ $kN/m^2$			
		有効軸方向応力 $\sigma'_{af}$ $kN/m^2$			
		有効側方向応力 $\sigma'_{rf}$ $kN/m^2$			
	CD	体積ひずみ $\epsilon_{vf}$ %			
		間 隙 比 $e_f$			
	変形係数 $E_{50}$ $MN/m^2$	6.58	11.3	5.17	
	供試体の破壊状況				



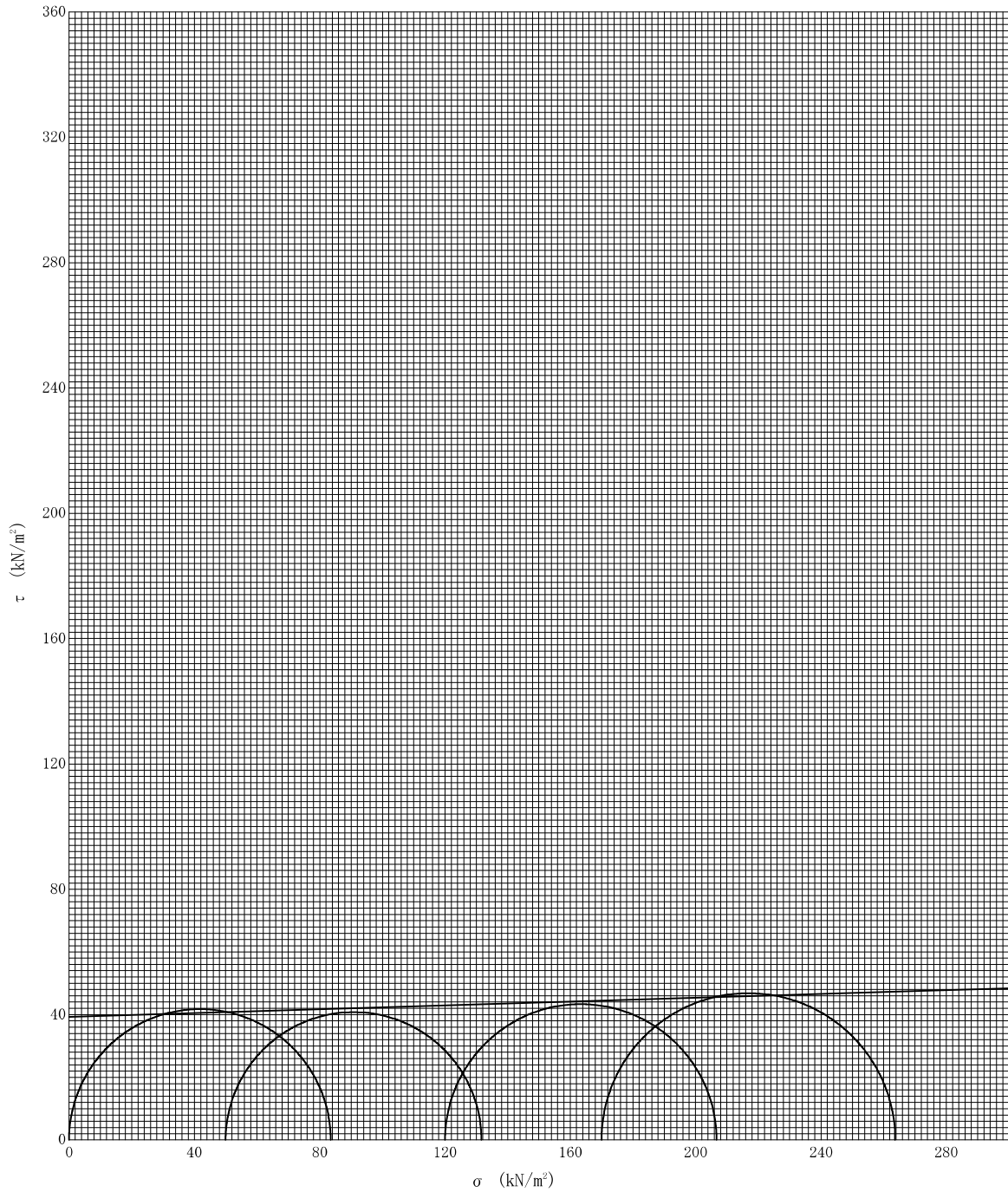
調査件名 ごみ処理施設用地地質調査委託

試験年月日 2017年 1月 11日

試料番号 (深さ) 1SR-2 (9.00~9.80m)

試験者 田村 浩由

強度定数 応力範囲	全 応 力			有 効 応 力	
	$c$ kN/m <sup>2</sup>	$\phi$ °	$\tan \phi$	$c'$ kN/m <sup>2</sup>	$\phi'$ °
正規圧密領域	39.3	1.7	0.03		
過圧密領域					



特記事項



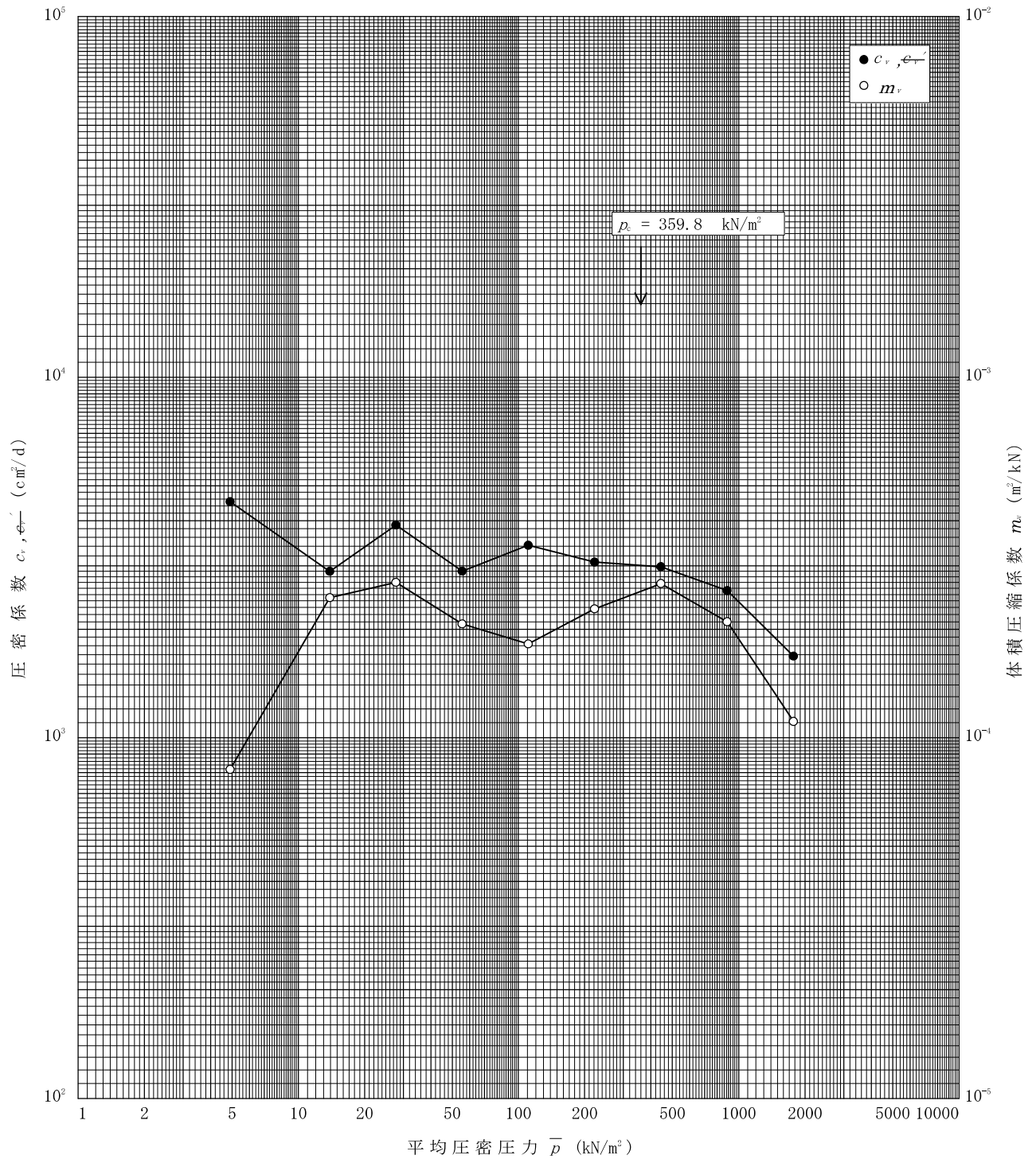


調査件名 ごみ処理施設用地地質調査委託

試験年月日 2017年 1月 11日

試料番号(深さ) 1SR-1 (2.00~2.80m)

試験者 桑野 浩



特記事項





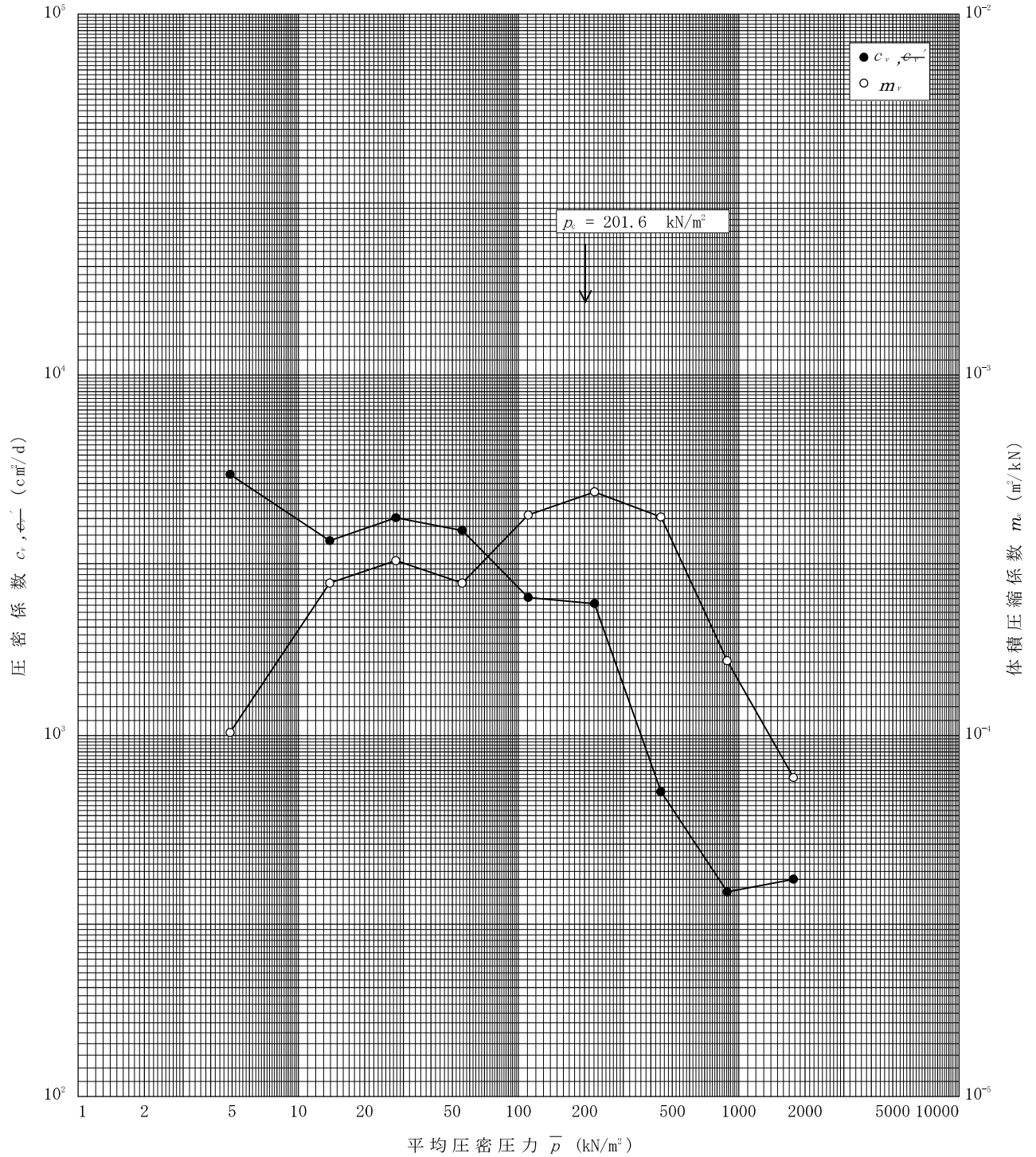


調査件名 ごみ処理施設用地地質調査委託

試験年月日 2017年 1月 11日

試料番号(深さ) 1SR-2 (9.00~9.80m)

試験者 桑野 浩



特記事項

B-2

土質試験結果一覧表（基礎地盤）

調査件名 ごみ処理施設用地地質調査委託

整理年月日

2017年 1月 25日

整理担当者

中村 修

試料番号 (深 さ)		2SR-1 (4.00~4.80m)	2SR-2 (9.00~9.80m)				
一般	湿潤密度 $\rho_t$ g/cm <sup>3</sup>	1.441	1.565				
	乾燥密度 $\rho_d$ g/cm <sup>3</sup>	0.724	0.920				
	土粒子の密度 $\rho_s$ g/cm <sup>3</sup>	2.679	2.629				
	自然含水比 $w_n$ %	99.2	70.1				
	間隙比 $e$	2.706	1.857				
	飽和度 $S_r$ %	98.3	99.3				
粒度	石分 (75mm以上) %						
	礫分 <sup>1)</sup> (2~75mm) %	0.0	0.0				
	砂分 <sup>1)</sup> (0.075~2mm) %	13.7	1.3				
	シルト分 <sup>1)</sup> (0.005~0.075mm) %	61.3	50.5				
	粘土分 <sup>1)</sup> (0.005mm未満) %	25.0	48.2				
	最大粒径 mm	0.425	0.106				
コンシステンシー特性	均等係数 $U_c$	-	-				
	液性限界 $w_L$ %	140.6	82.4				
	塑性限界 $w_p$ %	49.8	30.6				
分類	塑性指数 $I_p$	90.8	51.8				
	地盤材料の分類名	砂まじり火山灰質粘性土 (II型)	粘土 (高液性限界)				
圧密	分類記号	(VH <sub>c</sub> -S)	(CH)				
	試験方法	段階載荷	段階載荷				
	圧縮指数 $C_c$	1.007	0.855				
	圧密降伏応力 $p_c$ kN/m <sup>2</sup>	208.9	267.0				
一軸圧縮	一軸圧縮強さ $q_u$ kN/m <sup>2</sup>	81.1	123.2				
	破壊ひずみ $\epsilon_f$ %	1.43	1.93				
	変形係数 $E_{50}$ MN/m <sup>2</sup>	8.3	9.5				
せん断	試験条件	UU	UU				
	全応力	$c$ kN/m <sup>2</sup>	31.6	57.5			
		$\phi$ °	12.5	4.4			
	有効応力	$c'$ kN/m <sup>2</sup>					
$\phi'$ °							

特記事項

1) 石分を除いた75mm未満の土質材料に対する百分率で表す。

[1kN/m<sup>2</sup> ≒ 0.102kgf/cm<sup>2</sup>]



JIS A 1202 JGS 0111	土 粒 子 の 密 度 試 験 (測定)	
------------------------	----------------------	--

調査件名  ごみ処理施設用地地質調査委託

試験年月日  2017年 1月 13日

試 験 者  飯島 かおる

試料番号 (深さ)		2SR-1 (4.00~4.80m)			2SR-2 (9.00~9.80m)		
ピクノメーター No.		127	128	129	130	131	132
(試料+蒸留水+ピクノメーター)の質量 $m_b$ g		152.504	156.416	160.418	164.201	168.360	170.377
$m_b$ をはかったときの内容物の温度 $T$ °C		16.0	16.0	16.0	16.0	16.0	16.0
$T$ °Cにおける蒸留水の密度 $\rho_w(T)$ g/cm <sup>3</sup>		0.99894	0.99894	0.99894	0.99894	0.99894	0.99894
温度 $T$ °Cの蒸留水を満たしたときの (蒸留水+ピクノメーター)質量 $m_a$ <sup>1)</sup> g		141.979	146.026	149.754	150.102	154.488	156.037
試料の 炉乾燥質量	容 器 No.						
	(炉乾燥試料+容器)質量g	16.783	16.527	17.050	22.744	22.410	23.085
	容 器 質 量 g						
	$m_s$ g	16.783	16.527	17.050	22.744	22.410	23.085
土 粒 子 の 密 度 $\rho_s$ g/cm <sup>3</sup>		2.679	2.690	2.667	2.628	2.622	2.637
平 均 値 $\rho_s$ g/cm <sup>3</sup>		2.679			2.629		
試料番号 (深さ)							
ピクノメーター No.							
(試料+蒸留水+ピクノメーター)の質量 $m_b$ g							
$m_b$ をはかったときの内容物の温度 $T$ °C							
$T$ °Cにおける蒸留水の密度 $\rho_w(T)$ g/cm <sup>3</sup>							
温度 $T$ °Cの蒸留水を満たしたときの (蒸留水+ピクノメーター)質量 $m_a$ <sup>1)</sup> g							
試料の 炉乾燥質量	容 器 No.						
	(炉乾燥試料+容器)質量g						
	容 器 質 量 g						
	$m_s$ g						
土 粒 子 の 密 度 $\rho_s$ g/cm <sup>3</sup>							
平 均 値 $\rho_s$ g/cm <sup>3</sup>							
試料番号 (深さ)							
ピクノメーター No.							
(試料+蒸留水+ピクノメーター)の質量 $m_b$ g							
$m_b$ をはかったときの内容物の温度 $T$ °C							
$T$ °Cにおける蒸留水の密度 $\rho_w(T)$ g/cm <sup>3</sup>							
温度 $T$ °Cの蒸留水を満たしたときの (蒸留水+ピクノメーター)質量 $m_a$ <sup>1)</sup> g							
試料の 炉乾燥質量	容 器 No.						
	(炉乾燥試料+容器)質量g						
	容 器 質 量 g						
	$m_s$ g						
土 粒 子 の 密 度 $\rho_s$ g/cm <sup>3</sup>							
平 均 値 $\rho_s$ g/cm <sup>3</sup>							

特記事項

1) ピクノメーターの検定結果から求める。

$$\rho_s = \frac{m_s}{m_s + (m_a - m_b)} \times \rho_w(T)$$

調査件名 ごみ処理施設用地地質調査委託

試験年月日 2017年 1月 12日

試験者 飯島 かおる

試料番号 (深さ)	2SR-1 (4.00~4.80m)			2SR-2 (9.00~9.80m)		
容器 No.	100	125	804	73	225	284
$m_a$ g	57.89	64.15	40.53	81.07	64.51	62.96
$m_b$ g	34.26	38.65	23.49	52.05	42.69	40.11
$m_c$ g	11.46	11.42	6.53	11.40	11.40	7.09
$w$ %	103.6	93.6	100.5	71.4	69.7	69.2
平均値 $w$ %	99.2			70.1		
特記事項						

試料番号 (深さ)						
容器 No.						
$m_a$ g						
$m_b$ g						
$m_c$ g						
$w$ %						
平均値 $w$ %						
特記事項						

試料番号 (深さ)						
容器 No.						
$m_a$ g						
$m_b$ g						
$m_c$ g						
$w$ %						
平均値 $w$ %						
特記事項						

試料番号 (深さ)						
容器 No.						
$m_a$ g						
$m_b$ g						
$m_c$ g						
$w$ %						
平均値 $w$ %						
特記事項						

試料番号 (深さ)						
容器 No.						
$m_a$ g						
$m_b$ g						
$m_c$ g						
$w$ %						
平均値 $w$ %						
特記事項						

$$w = \frac{m_a - m_b}{m_b - m_c} \times 100$$

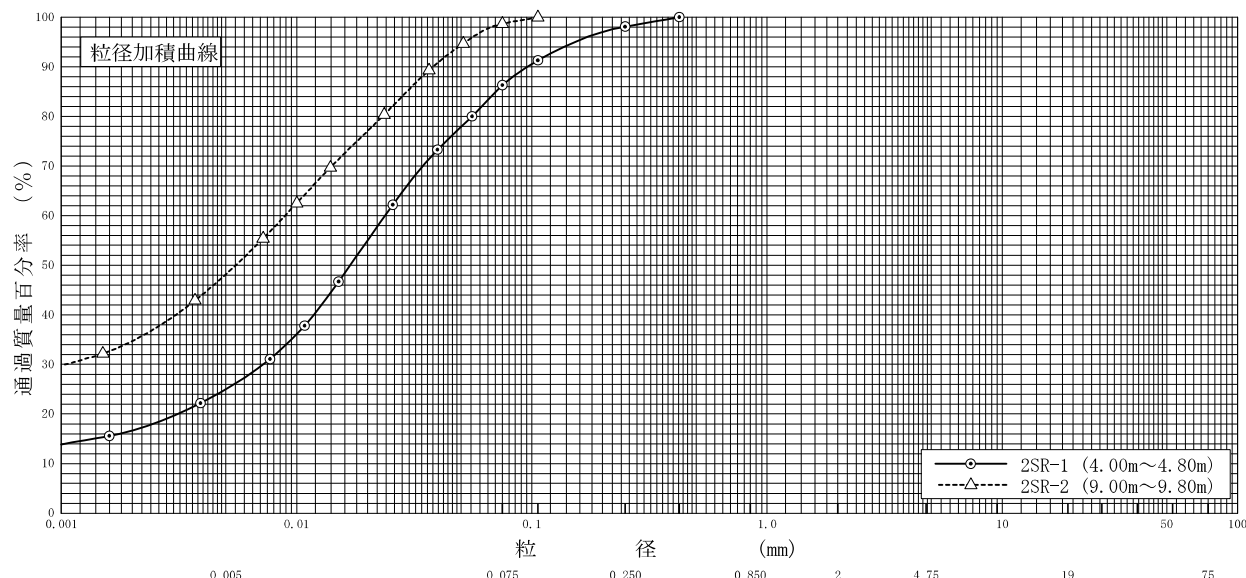
$m_a$  : (試料+容器)質量  
 $m_b$  : (炉乾燥試料+容器)質量  
 $m_c$  : 容器質量

調査件名 ごみ処理施設用地地質調査委託

試験年月日 2017年 1月 16日

試験者 飯島 かおる

試料番号 (深さ)	2SR-1 (4.00~4.80m)		2SR-2 (9.00~9.80m)		試料番号 (深さ)	2SR-1	2SR-2
	粒径 mm	通過質量百分率%	粒径 mm	通過質量百分率%		(4.00~4.80m)	(9.00~9.80m)
ふるい	75		75		粗礫分 %	0.0	0.0
	53		53		中礫分 %	0.0	0.0
	37.5		37.5		細礫分 %	0.0	0.0
	26.5		26.5		粗砂分 %	0.0	0.0
	19		19		中砂分 %	1.9	0.0
	9.5		9.5		細砂分 %	11.8	1.3
	4.75		4.75		シルト分 %	61.3	50.5
	2		2		粘土分 %	25.0	48.2
	0.850	100.0	0.850		2mmふるい通過質量百分率 %	100.0	100.0
	0.425		0.425		425μmふるい通過質量百分率 %	100.0	100.0
	0.250	98.1	0.250		75μmふるい通過質量百分率 %	86.3	98.7
	0.106	91.3	0.106	100.0	最大粒径 mm	0.425	0.106
	0.075	86.3	0.075	98.7	60% 粒径 $D_{60}$ mm	0.0238	0.0089
沈降	0.0556	80.0	0.0510	94.7	50% 粒径 $D_{50}$ mm	0.0169	0.0055
	0.0397	73.3	0.0365	89.3	30% 粒径 $D_{30}$ mm	0.0072	0.0010
	0.0256	62.2	0.0236	80.4	10% 粒径 $D_{10}$ mm	-	-
	0.0151	46.7	0.0139	69.7	均等係数 $U_c$	-	-
	0.0108	37.8	0.0100	62.5	曲率係数 $U_c'$	-	-
	0.0077	31.1	0.0072	55.4	土粒子の密度 $\rho_s$ g/cm <sup>3</sup>	2.679	2.629
	0.0039	22.2	0.0037	42.9	使用した分散剤	-	-
析	0.0016	15.6	0.0015	32.2	溶液濃度, 溶液添加量	-	-
					20% 粒径 $D_{20}$ mm	0.0031	-



粘土	シルト	細砂	中砂	粗砂	細礫	中礫	粗礫
----	-----	----	----	----	----	----	----

特記事項

調査件名 ごみ処理施設用地地質調査委託

試験年月日 2017年 1月 17日

試験者 飯島 かおる

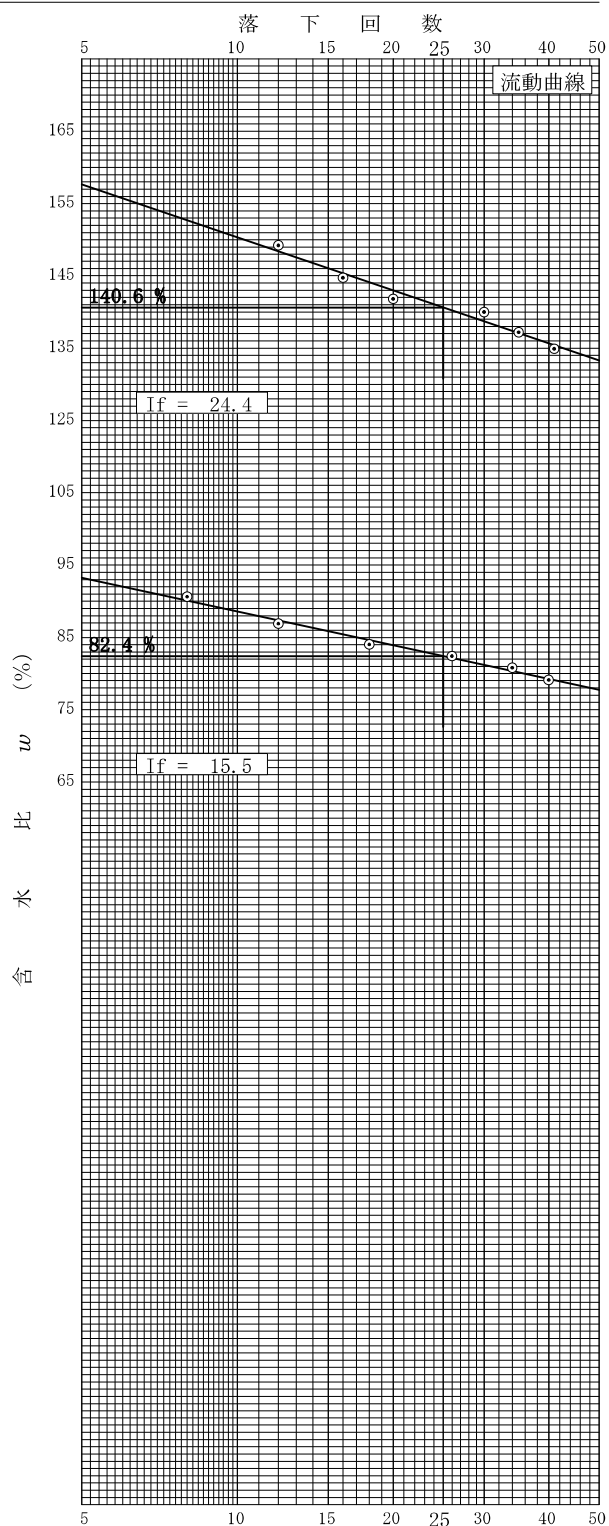
試料番号 (深さ) 2SR-1 (4.00~4.80m)			
液性限界試験		塑性限界試験	
落下回数	含水比 $w$ %	含水比 $w$ %	液性限界 $w_L$ %
			140.6
41	134.9	49.2	塑性限界 $w_p$ %
35	137.2	50.0	49.8
30	140.0	50.3	塑性指数 $I_p$
20	141.8		90.8
16	144.7		
12	149.2		

試料番号 (深さ) 2SR-2 (9.00~9.80m)			
液性限界試験		塑性限界試験	
落下回数	含水比 $w$ %	含水比 $w$ %	液性限界 $w_L$ %
			82.4
40	79.1	30.2	塑性限界 $w_p$ %
34	80.8	30.5	30.6
26	82.4	31.1	塑性指数 $I_p$
18	84.0		51.8
12	86.9		
8	90.6		

試料番号 (深さ)			
液性限界試験		塑性限界試験	
落下回数	含水比 $w$ %	含水比 $w$ %	液性限界 $w_L$ %
			塑性限界 $w_p$ %
			塑性指数 $I_p$

試料番号 (深さ)			
液性限界試験		塑性限界試験	
落下回数	含水比 $w$ %	含水比 $w$ %	液性限界 $w_L$ %
			塑性限界 $w_p$ %
			塑性指数 $I_p$

特記事項





JIS A 1225 JGS 0191	土の湿潤密度試験 (ノギス法)	
------------------------	-----------------	--

調査件名 ごみ処理施設用地地質調査委託

試験年月日 2017年 1月 11日

試料番号 (深さ) 2SR-1 (4.00~4.80m)

試験者 田村 浩由

供 試 体 No.			1	2	3		
供試体の質量 $m$ g			276.57	285.06	271.01		
供 試 体	直 径	上 部 cm	4.96	4.97	4.96		
			4.96	4.97	4.96		
		中 部 cm	4.96	4.97	4.96		
			4.96	4.97	4.96		
	下 部 cm	4.96	4.97	4.96			
		4.96	4.97	4.96			
	平 均 値 $D$ cm		4.96	4.97	4.96		
	体 積	高 度 cm	9.93	9.94	9.98		
			9.93	9.94	9.98		
		平 均 値 $H$ cm		9.93	9.94	9.98	
体 積 $V = (\pi D^2 / 4)H$ cm <sup>3</sup>			191.87	192.84	192.83		
含 水 比	容 器 No.		100	125	804		
	$m_a$ g		57.89	64.15	40.53		
	$m_b$ g		34.26	38.65	23.49		
	$m_c$ g		11.46	11.42	6.53		
	$w$ %		103.6	93.6	100.5		
比	容 器 No.						
	$m_b$ g						
	$m_c$ g						
	$w$ %						
	平 均 値 $w$ %		103.6	93.6	100.5		
湿潤密度 $\rho_t = m/V$ g/cm <sup>3</sup>			1.441	1.478	1.405		
乾燥密度 $\rho_d = \rho_t / (1 + w/100)$ g/cm <sup>3</sup>			0.708	0.763	0.701		
間 隙 比 $e = (\rho_t / \rho_d) - 1$			2.784	2.511	2.822		
飽 和 度 $S_r = w \rho_s / (e \rho_w)$ %			99.7	99.9	95.4		
土粒子の密度 $\rho_s$ g/cm <sup>3</sup>			2.679	平均値 $w$ %	99.2	平均値 $\rho_t$ g/cm <sup>3</sup>	1.441
平 均 値 $\rho_d$ g/cm <sup>3</sup>			0.724	平均値 $e$	2.706	平均値 $S_r$ %	98.3

特記事項

JIS A 1225 JGS 0191	土の湿潤密度試験 (ノギス法)	
------------------------	-----------------	--

調査件名 ごみ処理施設用地地質調査委託

試験年月日 2017年 1月 11日

試料番号 (深さ) 2SR-2 (9.00~9.80m)

試験者 田村 浩由

供試体 No.			1	2	3		
供試体の質量 $m$ g			296.48	298.62	300.08		
供試体	直	上部 cm	4.93	4.96	4.95		
			4.93	4.96	4.95		
		中部 cm	4.93	4.96	4.95		
			4.93	4.96	4.95		
	径	下部 cm	4.93	4.96	4.95		
			4.93	4.96	4.95		
	高さ	cm	9.95	9.87	9.94		
			9.95	9.87	9.94		
		平均値 $H$ cm	9.95	9.87	9.94		
	体積 $V = (\pi D^2 / 4)H$ cm <sup>3</sup>			189.94	190.71	191.29	
含水	容器 No.		73	225	284		
	$m_a$ g		81.07	64.51	62.96		
	$m_b$ g		52.05	42.69	40.11		
	$m_c$ g		11.40	11.40	7.09		
	$w$ %		71.4	69.7	69.2		
比	容器 No.						
	$m_b$ g						
	$m_c$ g						
	$w$ %						
	平均値 $w$ %		71.4	69.7	69.2		
湿潤密度 $\rho_t = m/V$ g/cm <sup>3</sup>			1.561	1.566	1.569		
乾燥密度 $\rho_d = \rho_t / (1 + w/100)$ g/cm <sup>3</sup>			0.911	0.923	0.927		
間隙比 $e = (\rho_s / \rho_d) - 1$			1.886	1.848	1.836		
飽和度 $S_r = w \rho_s / (e \rho_w)$ %			99.5	99.2	99.1		
土粒子の密度 $\rho_s$ g/cm <sup>3</sup>			2.629	平均値 $w$ %	70.1	平均値 $\rho_t$ g/cm <sup>3</sup>	1.565
平均値 $\rho_d$ g/cm <sup>3</sup>			0.920	平均値 $e$	1.857	平均値 $S_r$ %	99.3

特記事項

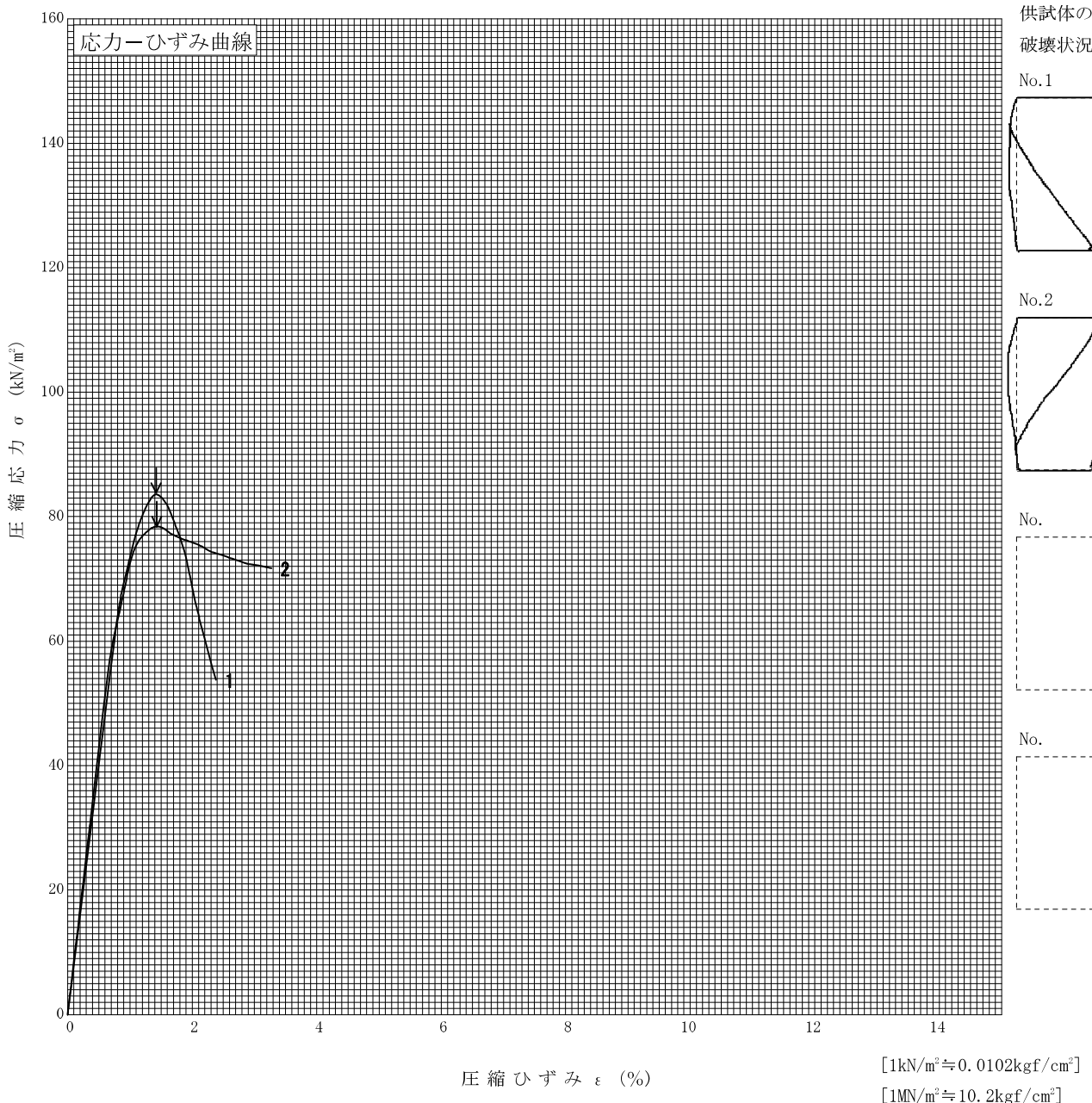
調査件名 ごみ処理施設用地地質調査委託

試験年月日 2017年 1月 11日

試料番号 (深さ) 2SR-1 (4.00~4.80m)

試験者 田村 浩由

土質名称	供試体 No.	1	2
液性限界 $w_L^{1)}$ %	試料の状態	乱さない	乱さない
塑性限界 $w_p^{1)}$ %	高さ $H_0$ cm	10.43	7.95
ひずみ速度 %/min	直径 $D_0$ cm	7.01	7.03
特記事項 1) 必要に応じて記載する。 $E_{50} = \frac{2}{\epsilon_{50}} \frac{q_u}{10}$	質量 $m$ g	542.50	427.99
	湿潤密度 $\rho_t^{1)}$ g/cm <sup>3</sup>	1.348	1.387
	含水比 $w$ %	115.4	103.7
	一軸圧縮強さ $q_u$ kN/m <sup>2</sup>	83.8	78.4
	破壊ひずみ $\epsilon_f$ %	1.42	1.43
	変形係数 $E_{50}^{1)}$ MN/m <sup>2</sup>	8.0	8.5
	鋭敏比 $S_t^{1)}$		



JIS A 1216  
JGS 0511

土の一軸圧縮試験 (強度・変形特性)

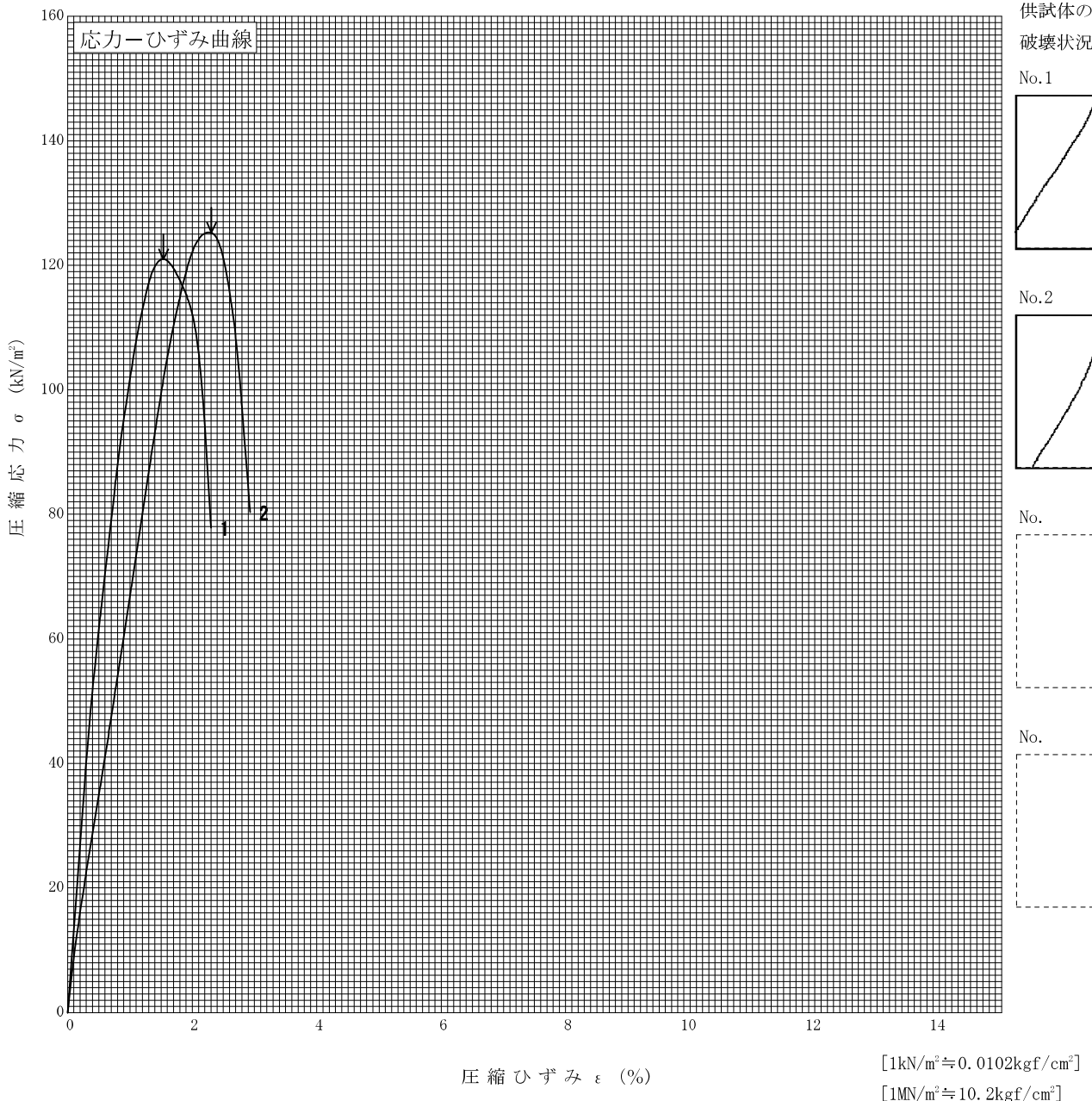
調査件名 ごみ処理施設用地地質調査委託

試験年月日 2017年 1月 11日

試料番号 (深さ) 2SR-2 (9.00~9.80m)

試験者 田村 浩由

土質名称	供試体 No.	1	2
液性限界 $w_L^{1)}$ %	試料の状態	乱さない	乱さない
塑性限界 $w_p^{1)}$ %	高さ $H_0$ cm	9.96	9.97
ひずみ速度 %/min	直径 $D_0$ cm	4.97	4.97
特記事項 1) 必要に応じて記載する。 $E_{50} = \frac{q_u}{2} / 10$	質量 $m$ g	302.11	300.87
	湿潤密度 $\rho_t^{1)}$ g/cm <sup>3</sup>	1.564	1.556
	含水比 $w$ %	71.6	71.3
	一軸圧縮強さ $q_u$ kN/m <sup>2</sup>	121.0	125.3
	破壊ひずみ $\epsilon_f$ %	1.54	2.31
	変形係数 $E_{50}^{1)}$ MN/m <sup>2</sup>	12.3	6.7
	鋭敏比 $S_t^{1)}$		





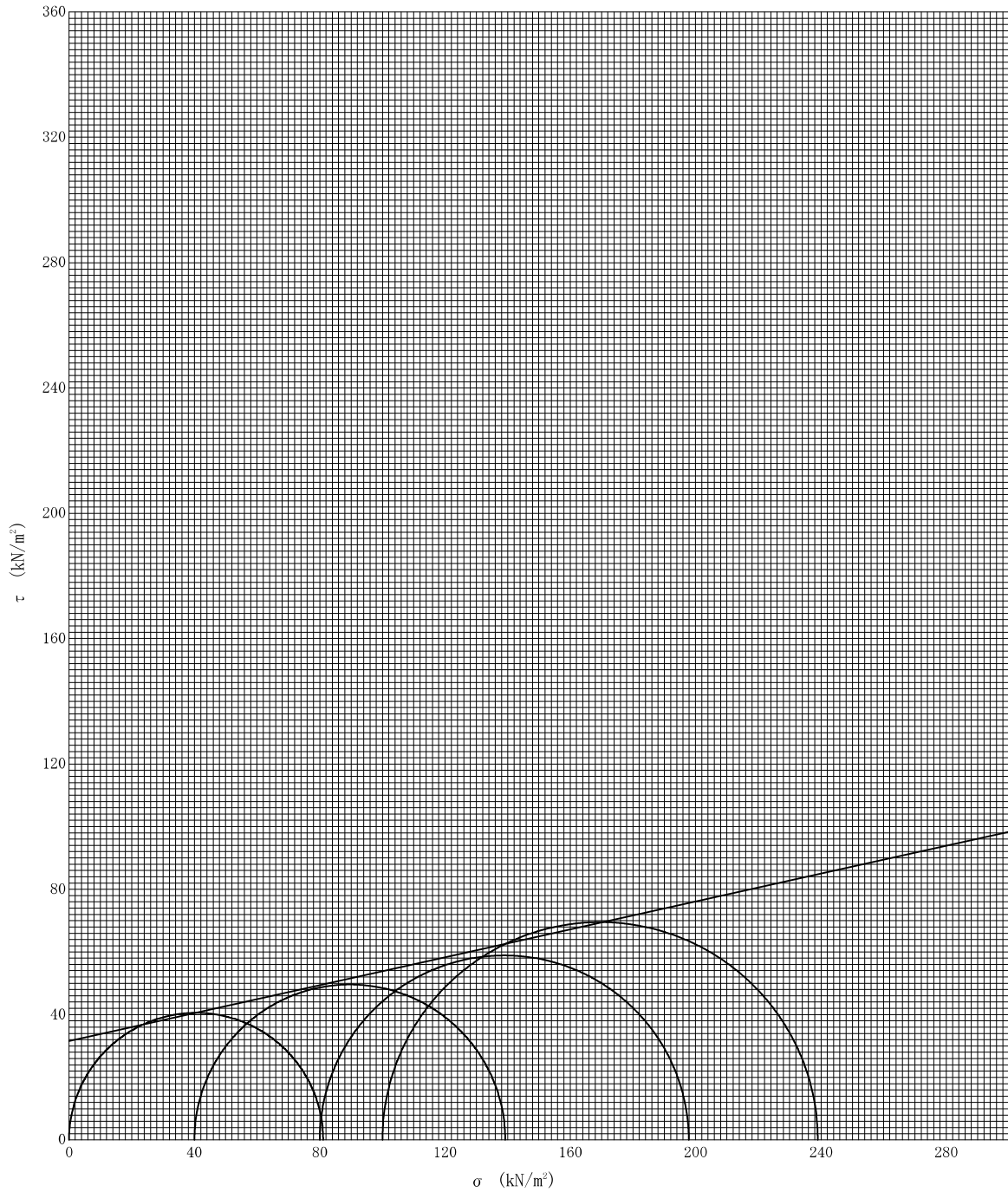
調査件名 ごみ処理施設用地地質調査委託

試験年月日 2017年 1月 11日

試料番号 (深さ) 2SR-1 (4.00~4.80m)

試験者 田村 浩由

強度定数 応力範囲	全 応 力			有 効 応 力	
	$c$ kN/m <sup>2</sup>	$\phi$ °	$\tan \phi$	$c'$ kN/m <sup>2</sup>	$\phi'$ °
正規圧密領域	31.6	12.5	0.22		
過圧密領域					



特記事項



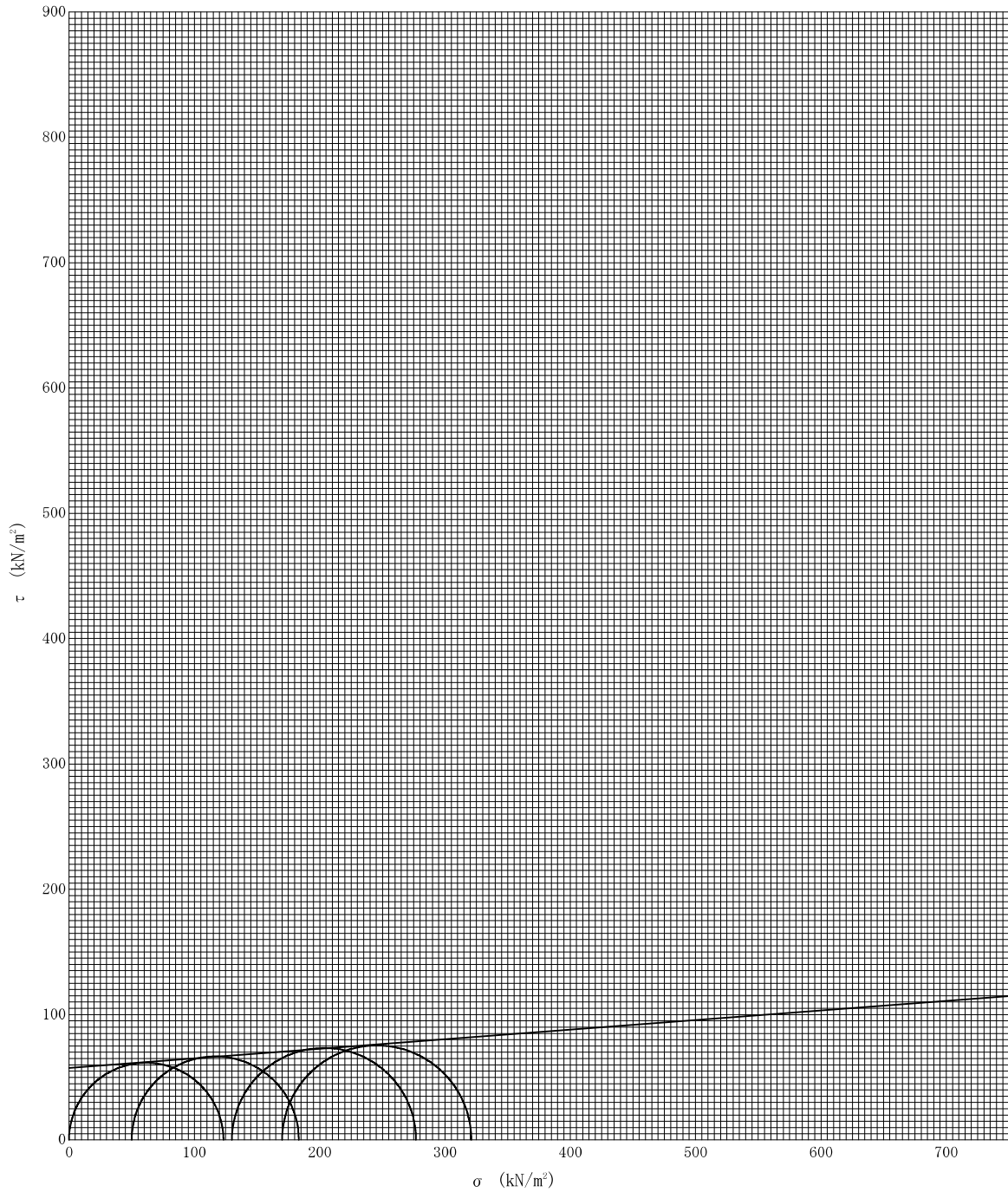
調査件名 ごみ処理施設用地地質調査委託

試験年月日 2017年 1月 11日

試料番号 (深さ) 2SR-2 (9.00~9.80m)

試験者 田村 浩由

強度定数 応力範囲	全 応 力			有 効 応 力	
	$c$ kN/m <sup>2</sup>	$\phi$ °	$\tan \phi$	$c'$ kN/m <sup>2</sup>	$\phi'$ °
正規圧密領域	57.5	4.4	0.08		
過圧密領域					



特記事項



JIS A 1217 JGS 0411	土の段階載荷による圧密試験 (計算書)
------------------------	---------------------

調査件名 ごみ処理施設用地地質調査委託

試験年月日 2017年 1月 11日

試料番号 (深さ) 2SR-1 (4.00~4.80m)

試験者 桑野 浩

試験機 No.			直 径 $D$ cm	6.00	初 期	含水比 $w_0$ %	97.2	
最低~最高室温 °C			断 面 積 $A$ cm <sup>2</sup>	28.27	状 態	間隙比 $e_0$ , 体積比 $V_v$	2.670	
土 質 名 称			高 さ $H_0$ cm	2.00		湿潤密度 $\rho_s$ g/cm <sup>3</sup>	1.440	
土粒子の密度 $\rho_s$ g/cm <sup>3</sup>	2.679		質 量 $m_0$ g	81.42	圧 縮 指 数 $C_c$	飽 和 度 $S_{r0}$ %	97.5	
液性限界 $w_L$ %			炉乾燥質量 $m_s$ g	41.29		圧密降伏応力 $p_c$ kN/m <sup>2</sup>	208.9	
塑性限界 $w_p$ %			実質高さ $H_s$ cm	0.545				
荷 載 段 階	圧密圧力 $p$ kN/m <sup>2</sup>	圧力増分 $\Delta p$ kN/m <sup>2</sup>	圧 密 量 $\Delta H$ cm	供試体高さ $H$ cm	平均供試体高さ $\bar{H}$ cm	圧 縮 ひ ず み $\Delta \epsilon = \Delta H / \bar{H} \times 100\%$	体積圧縮係数 $m_v$ m <sup>3</sup> /kN	間隙比 $e = H/H_s - 1$ 体積比 $V_v = H/H_s$
0	0.0			2.000				2.670
		19.6	0.0049		1.998	0.25	1.28E-4	
1	19.6			1.995				2.661
		19.6	0.0117		1.989	0.59	3.01E-4	
2	39.2			1.983				2.639
		39.2	0.0168		1.975	0.85	2.17E-4	
3	78.4			1.966				2.607
		78.4	0.0409		1.946	2.10	2.68E-4	
4	156.8			1.925				2.532
		156.8	0.1059		1.872	5.66	3.61E-4	
5	313.6			1.819				2.338
		313.6	0.1626		1.738	9.36	2.98E-4	
6	627.2			1.656				2.039
		627.2	0.1649		1.574	10.48	1.67E-4	
7	1254.4			1.491				1.736
		1254.4	0.1608		1.411	11.40	9.09E-5	
8	2508.8			1.330				1.440
		2508.8	0.1451		1.258	11.53	4.60E-5	
9	5017.6			1.185				1.174
10								
荷 載 段 階	平均圧密圧力 $\bar{p}$ kN/m <sup>2</sup>	$t_{90}$ , $t_{100}$ min	圧密係数 $c_v$ cm <sup>2</sup> /d	透水係数 $k$ m/s	一次圧密量 $\Delta H_1$ cm	一次圧密比 $r = \Delta H_1 / \Delta H$	補正圧密係数 $c'_v = r c_v$ cm <sup>2</sup> /d	透水係数 $k'$ m/s
0								
1	9.8	0.27	4514	6.56E-9	0.0031	0.633	2857	4.15E-9
2	27.7	0.31	3896	1.33E-8	0.0029	0.248	966	3.30E-9
3	55.4	0.31	3841	9.46E-9	0.0042	0.250	960	2.37E-9
4	110.9	0.38	3042	9.26E-9	0.0112	0.274	834	2.54E-9
5	221.7	0.32	3343	1.37E-8	0.0280	0.264	883	3.62E-9
6	443.5	0.34	2712	9.18E-9	0.0522	0.321	871	2.95E-9
7	887.0	0.49	1544	2.93E-9	0.0717	0.435	672	1.27E-9
8	1774.0	0.62	980	1.01E-9	0.0801	0.498	488	5.04E-10
9	3548.0	0.90	537	2.80E-10	0.0881	0.607	326	1.70E-10
10								

特記事項

$$H_s = m_s / (\rho_s A)$$

$$H = H' - \Delta H$$

$$\bar{H} = (H + H') / 2$$

$$m_s = (\Delta \epsilon / 100) / \Delta p$$

$$S_{r0} = w_0 \rho_s / (e_0 \rho_w)$$

$$\bar{p} = \sqrt{p \cdot p'}$$

$$\sqrt{t} \text{法} : c_v = 305 \times \bar{H}^2 / t_{90}$$

$$\text{曲線定規法} : c_v = 70.9 \times \bar{H}^2 / t_{90}$$

$$k = c_v m_s \gamma_w / (8.64 \times 10^8)$$

$$k' = c'_v m_s \gamma_w / (8.64 \times 10^8)$$

$$\text{ただし, } \gamma_w = 9.81 \text{ kN/m}^3$$

$$[1 \text{ kN/m}^2 = 0.102 \text{ kgf/cm}^2]$$

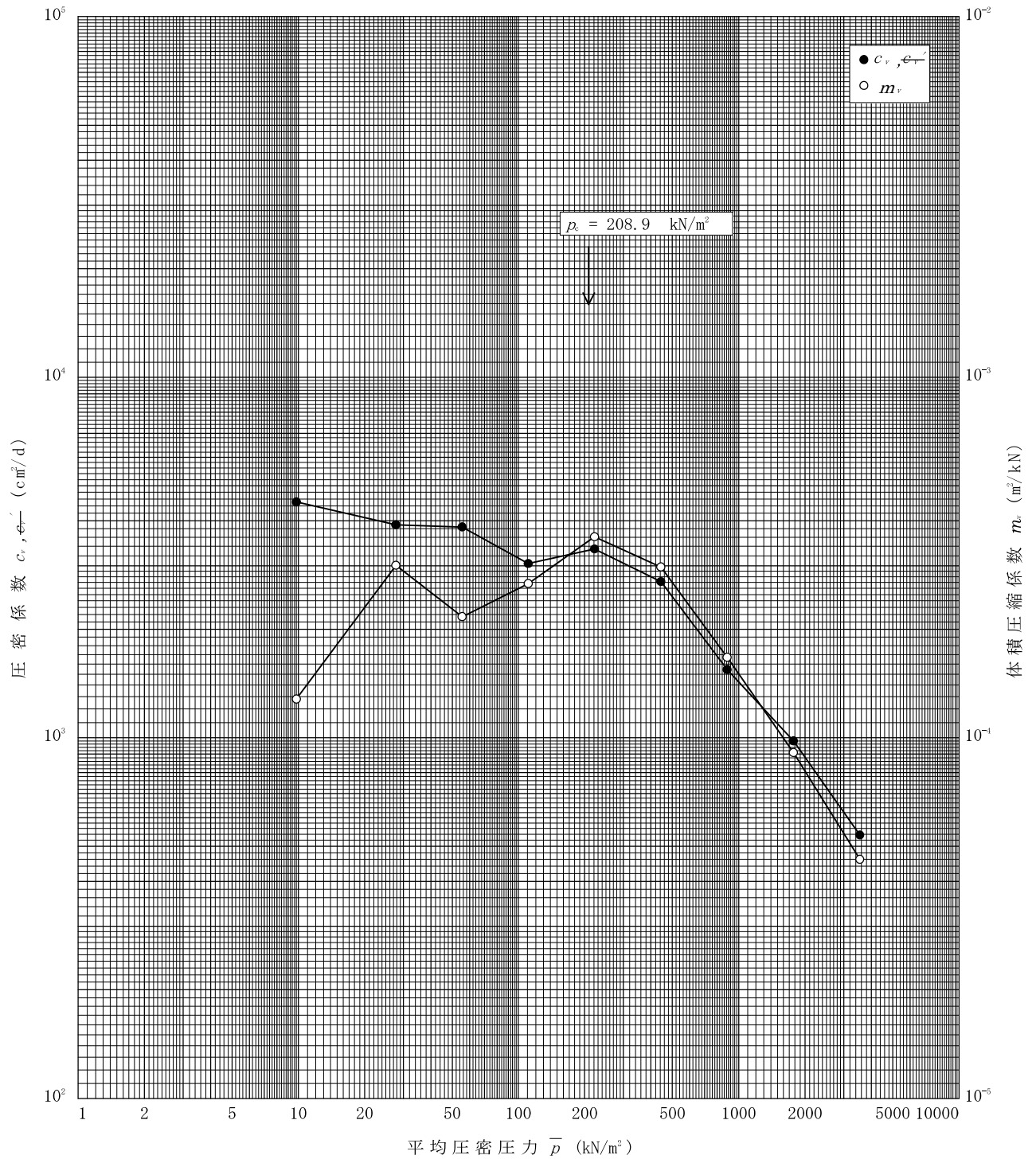


調査件名 ごみ処理施設用地地質調査委託

試験年月日 2017年 1月 11日

試料番号(深さ) 2SR-1 (4.00~4.80m)

試験者 桑野 浩



特記事項

JIS A 1217 JGS 0411	土の段階載荷による圧密試験 (計算書)
------------------------	---------------------

調査件名 ごみ処理施設用地地質調査委託

試験年月日 2017年 1月 11日

試料番号 (深さ) 2SR-2 (9.00~9.80m)

試験者 桑野 浩

試験機 No.			直 径 $D$ cm	6.00	初 期	含水比 $w_0$ %	68.4	
最低~最高室温 °C			断 面 積 $A$ cm <sup>2</sup>	28.27	状 態	間隙比 $e_0$ , 体積比 $V_v$	1.837	
土 質 名 称			高 さ $H_0$ cm	2.00		湿潤密度 $\rho_s$ g/cm <sup>3</sup>	1.561	
土粒子の密度 $\rho_s$ g/cm <sup>3</sup>	2.629		質 量 $m_0$ g	88.28	圧 縮 指 数 $C_c$	飽 和 度 $S_{r0}$ %	97.9	
液性限界 $w_L$ %			炉乾燥質量 $m_s$ g	52.41		圧密降伏応力 $p_c$ kN/m <sup>2</sup>	267.0	
塑性限界 $w_p$ %			実質高さ $H_s$ cm	0.705				
荷 載 段 階	圧密圧力 $p$ kN/m <sup>2</sup>	圧力増分 $\Delta p$ kN/m <sup>2</sup>	圧 密 量 $\Delta H$ cm	供試体高さ $H$ cm	平均供試体高さ $\bar{H}$ cm	圧 縮 ひ ず み $\Delta \epsilon = \Delta H / \bar{H} \times 100\%$	体積圧縮係数 $m_v$ m <sup>3</sup> /kN	間隙比 $e = H / H_s - 1$ 体積比 $F = H / H_s$
0	0.0			2.000				1.837
		9.8	0.0021		1.999	0.11	1.12E-4	
1	9.8			1.998				1.834
		9.8	0.0127		1.992	0.64	6.53E-4	
2	19.6			1.985				1.816
		19.6	0.0150		1.978	0.76	3.88E-4	
3	39.2			1.970				1.794
		39.2	0.0150		1.963	0.76	1.94E-4	
4	78.4			1.955				1.773
		78.4	0.0300		1.940	1.55	1.98E-4	
5	156.8			1.925				1.730
		156.8	0.0840		1.883	4.46	2.84E-4	
6	313.6			1.841				1.611
		313.6	0.1740		1.754	9.92	3.16E-4	
7	627.2			1.667				1.365
		627.2	0.1564		1.589	9.84	1.57E-4	
8	1254.4			1.511				1.143
		1254.4	0.1339		1.444	9.27	7.39E-5	
9	2508.8			1.377				0.953
10								
荷 載 段 階	平均圧密圧力 $\bar{p}$ kN/m <sup>2</sup>	$t_{90}$ , min	圧密係数 $c_v$ cm <sup>2</sup> /d	透水係数 $k$ m/s	一次圧密量 $\Delta H_1$ cm	一次圧密比 $r = \Delta H_1 / \Delta H$	補正圧密係数 $c'_v = r c_v$ cm <sup>2</sup> /d	透水係数 $k'$ m/s
0	4.9	0.23	5304	6.74E-9	0.0009	0.429	2275	2.89E-9
1	13.9	0.46	2633	1.95E-8	0.0137	1.079	2841	2.11E-8
2	27.7	0.31	3853	1.70E-8	0.0043	0.287	1106	4.87E-9
3	55.4	0.42	2801	6.17E-9	0.0076	0.507	1420	3.13E-9
4	110.9	0.41	2802	6.30E-9	0.0124	0.413	1157	2.60E-9
5	221.7	0.56	1933	6.23E-9	0.0221	0.263	508	1.64E-9
6	443.5	3.85	244	8.75E-10	0.1273	0.732	179	6.42E-10
7	887.0	3.19	242	4.31E-10	0.1064	0.680	165	2.94E-10
8	1774.0	1.50	424	3.56E-10	0.0824	0.615	261	2.19E-10
9								
10								

特記事項

$$H_s = m_s / (\rho_s A)$$

$$H = H' - \Delta H$$

$$\bar{H} = (H + H') / 2$$

$$m_v = (\Delta \epsilon / 100) / \Delta p$$

$$S_{r0} = w_0 \rho_s / (e_0 \rho_w)$$

$$\bar{p} = \sqrt{p \cdot p'}$$

$$\sqrt{t} \text{法: } c_v = 305 \times \bar{H}^2 / t_{90}$$

$$\text{曲線定規法: } c_v = 70.9 \times \bar{H}^2 / t_{90}$$

$$k = c_v m_v \gamma_w / (8.64 \times 10^8)$$

$$k' = c'_v m_v \gamma_w / (8.64 \times 10^8)$$

ただし,  $\gamma_w \approx 9.81 \text{ kN/m}^3$

[1kN/m<sup>2</sup>  $\approx$  0.102kgf/cm<sup>2</sup>]

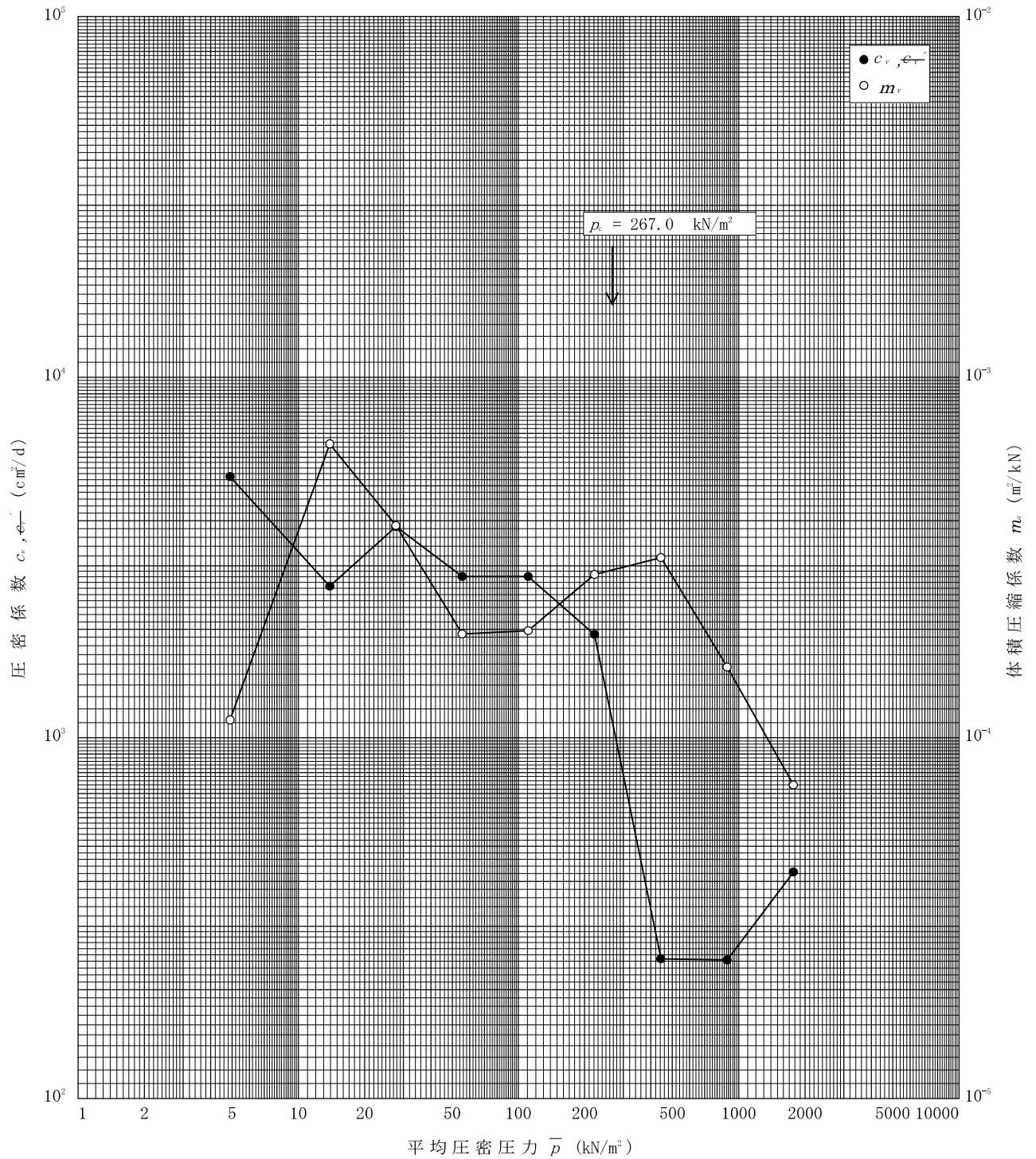


調査件名 ごみ処理施設用地地質調査委託

試験年月日 2017年 1月 11日

試料番号(深さ) 2SR-2 (9.00~9.80m)

試験者 桑野 浩



特記事項

**B-3**

# 土質試験結果一覧表（基礎地盤）

調査件名 ごみ処理施設用地地質調査委託

整理年月日

2017年 1月 25日

整理担当者

中村 修

試料番号 (深 さ)	3SR-1 (14.00~14.80m)				
一般	湿潤密度 $\rho_w$ g/cm <sup>3</sup>	1.791			
	乾燥密度 $\rho_d$ g/cm <sup>3</sup>	1.266			
	土粒子の密度 $\rho_s$ g/cm <sup>3</sup>	2.692			
	自然含水比 $w_n$ %	41.5			
	間隙比 $e$	1.126			
	飽和度 $S_r$ %	99.1			
粒度	石分 (7.5mm以上) %				
	礫分 <sup>1)</sup> (2~7.5mm) %	0.0			
	砂分 <sup>1)</sup> (0.075~2mm) %	23.5			
	シルト分 <sup>1)</sup> (0.005~0.075mm) %	45.9			
	粘土分 <sup>1)</sup> (0.005mm未満) %	30.6			
	最大粒径 mm	0.850			
コンシステンシー特性	均等係数 $U_c$	-			
	液性限界 $w_L$ %	68.5			
	塑性限界 $w_p$ %	23.5			
	塑性指数 $I_p$	45.0			
分類	地盤材料の分類名	砂質有機質粘土 (高液性限界)			
	分類記号	(OHS)			
圧密	試験方法	段階載荷			
	圧縮指数 $C_c$	0.448			
	圧密降伏応力 $p_c$ kN/m <sup>2</sup>	278.3			
一軸圧縮	一軸圧縮強さ $q_u$ kN/m <sup>2</sup>	130.3			
	破壊ひずみ $\epsilon_f$ %	5.03			
	変形係数 $E_{50}$ MN/m <sup>2</sup>	5.2			
せん断	試験条件	UU			
	全応力	$c$ kN/m <sup>2</sup>	61.0		
		$\phi$ °	4.1		
	有効応力	$c'$ kN/m <sup>2</sup>			
$\phi'$ °					

特記事項

1) 石分を除いた75mm未満の土質材料に対する百分率で表す。

[1kN/m<sup>2</sup> ≒ 0.102kgf/cm<sup>2</sup>]





JIS A 1202 JGS 0111	土 粒 子 の 密 度 試 験 (測定)	
------------------------	----------------------	--

調査件名  ごみ処理施設用地地質調査委託

試験年月日  2017年 1月 13日

試 験 者  飯島 かおる

試料番号 (深さ)		3SR-1 (14.00~14.80m)					
ピクノメーター No.		7	8	9			
(試料+蒸留水+ピクノメーター)の質量 $m_b$ g		160.930	165.015	174.898			
$m_b$ をはかったときの内容物の温度 $T$ °C		16.0	16.0	16.0			
$T$ °Cにおける蒸留水の密度 $\rho_w(T)$ g/cm <sup>3</sup>		0.99894	0.99894	0.99894			
温度 $T$ °Cの蒸留水を満たしたときの (蒸留水+ピクノメーター)質量 $m_a^{1)}$ g		152.309	156.426	166.339			
試料の 炉乾燥質量	容器 No.						
	(炉乾燥試料+容器)質量g	13.681	13.675	13.621			
	容器質量 g						
	$m_s$ g	13.681	13.675	13.621			
土粒子の密度 $\rho_s$ g/cm <sup>3</sup>		2.701	2.686	2.688			
平均値 $\rho_s$ g/cm <sup>3</sup>		2.692					
試料番号 (深さ)							
ピクノメーター No.							
(試料+蒸留水+ピクノメーター)の質量 $m_b$ g							
$m_b$ をはかったときの内容物の温度 $T$ °C							
$T$ °Cにおける蒸留水の密度 $\rho_w(T)$ g/cm <sup>3</sup>							
温度 $T$ °Cの蒸留水を満たしたときの (蒸留水+ピクノメーター)質量 $m_a^{1)}$ g							
試料の 炉乾燥質量	容器 No.						
	(炉乾燥試料+容器)質量g						
	容器質量 g						
	$m_s$ g						
土粒子の密度 $\rho_s$ g/cm <sup>3</sup>							
平均値 $\rho_s$ g/cm <sup>3</sup>							
試料番号 (深さ)							
ピクノメーター No.							
(試料+蒸留水+ピクノメーター)の質量 $m_b$ g							
$m_b$ をはかったときの内容物の温度 $T$ °C							
$T$ °Cにおける蒸留水の密度 $\rho_w(T)$ g/cm <sup>3</sup>							
温度 $T$ °Cの蒸留水を満たしたときの (蒸留水+ピクノメーター)質量 $m_a^{1)}$ g							
試料の 炉乾燥質量	容器 No.						
	(炉乾燥試料+容器)質量g						
	容器質量 g						
	$m_s$ g						
土粒子の密度 $\rho_s$ g/cm <sup>3</sup>							
平均値 $\rho_s$ g/cm <sup>3</sup>							

特記事項

1) ピクノメーターの検定結果から求める。

$$\rho_s = \frac{m_s}{m_s + (m_a - m_b)} \times \rho_w(T)$$

調査件名 ごみ処理施設用地地質調査委託

試験年月日 2017年 1月 12日

試験者 飯島 かおる

試料番号 (深さ)	3SR-1 (14.00~14.80m)					
容器 No.	483	538	715			
$m_a$ g	81.07	79.58	55.89			
$m_b$ g	60.67	59.65	41.67			
$m_c$ g	12.05	11.41	7.10			
$w$ %	42.0	41.3	41.1			
平均値 $w$ %	41.5					
特記事項						

試料番号 (深さ)						
容器 No.						
$m_a$ g						
$m_b$ g						
$m_c$ g						
$w$ %						
平均値 $w$ %						
特記事項						

試料番号 (深さ)						
容器 No.						
$m_a$ g						
$m_b$ g						
$m_c$ g						
$w$ %						
平均値 $w$ %						
特記事項						

試料番号 (深さ)						
容器 No.						
$m_a$ g						
$m_b$ g						
$m_c$ g						
$w$ %						
平均値 $w$ %						
特記事項						

試料番号 (深さ)						
容器 No.						
$m_a$ g						
$m_b$ g						
$m_c$ g						
$w$ %						
平均値 $w$ %						
特記事項						

$$w = \frac{m_a - m_b}{m_b - m_c} \times 100$$

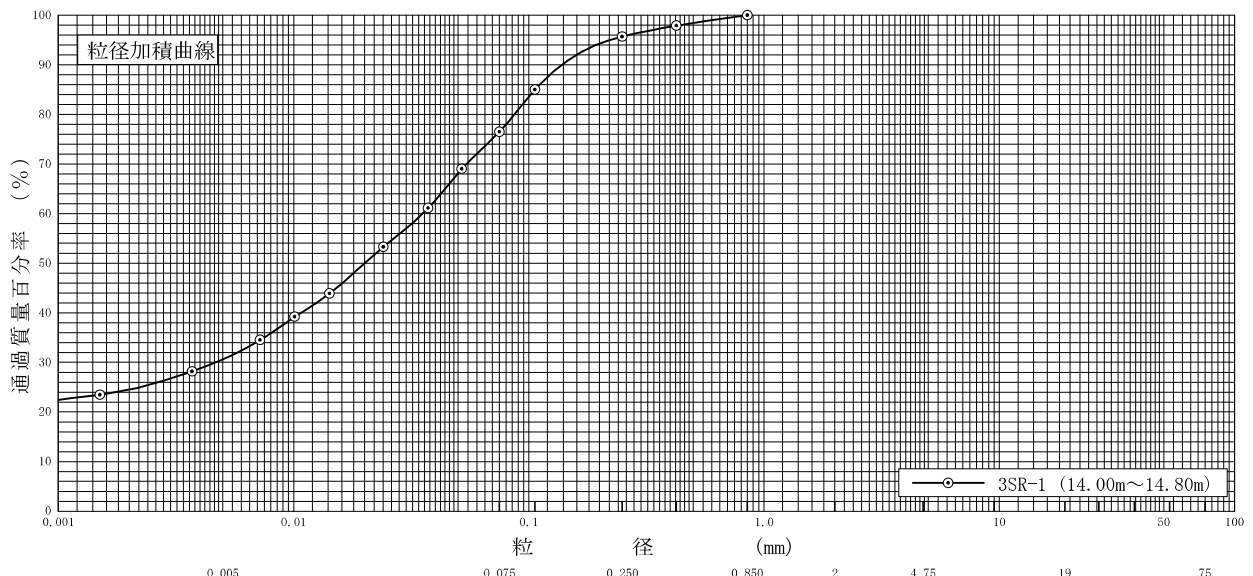
$m_a$  : (試料+容器)質量  
 $m_b$  : (炉乾燥試料+容器)質量  
 $m_c$  : 容器質量

調査件名  ごみ処理施設用地地質調査委託

試験年月日  2017年 1月 16日

試験者  飯島  かおる

試料番号 (深 さ)	3SR-1 (14.00~14.80m)		試料番号 (深 さ)		3SR-1 (14.00~14.80m)	
	粒 径 mm	通過質量百分率%	粒 径 mm	通過質量百分率%	粗 礫 分  %	0.0
ふ る い 分 析	75		75		中  礫  分  %	0.0
	53		53		細  礫  分  %	0.0
	37.5		37.5		粗  砂  分  %	0.0
	26.5		26.5		中  砂  分  %	4.3
	19		19		細  砂  分  %	19.2
	9.5		9.5		シ ル ト 分  %	45.9
	4.75		4.75		粘  土  分  %	30.6
	2		2		2mmふるい通過質量百分率 %	100.0
	0.850	100.0	0.850		425μmふるい通過質量百分率 %	97.9
	0.425	97.9	0.425		75μmふるい通過質量百分率 %	76.5
	0.250	95.7	0.250		最 大 粒 径 mm	0.850
	0.106	85.0	0.106		60 % 粒 径 $D_{60}$ mm	0.0354
	0.075	76.5	0.075		50 % 粒 径 $D_{50}$ mm	0.0201
沈 降 分 析	0.0518	69.0			30 % 粒 径 $D_{30}$ mm	0.0047
	0.0373	61.1			10 % 粒 径 $D_{10}$ mm	-
	0.0241	53.3			均 等 係 数 $U_c$	-
	0.0142	43.9			曲 率 係 数 $U'_c$	-
	0.0101	39.2			土 粒 子 の 密 度 $\rho_s$ g/cm <sup>3</sup>	2.692
	0.0072	34.5			使 用 し た 分 散 剤	-
	0.0037	28.2			溶 液 濃 度 , 溶 液 添 加 量	-
0.0015	23.5			20 % 粒 径 $D_{20}$ mm	-	



特記事項

調査件名 ごみ処理施設用地地質調査委託

試験年月日 2017年 1月 17日

試験者 飯島 かおる

試料番号 (深さ) 3SR-1 (14.00~14.80m)

液性限界試験		塑性限界試験		液性限界 $w_L$ %
落下回数	含水比 $w$ %	含水比 $w$ %		
				68.5
36	65.0	22.9		塑性限界 $w_p$ %
32	67.2	23.7		
27	68.0	23.9		塑性指数 $I_p$
21	69.7			
17	71.4			
11	75.1			

試料番号 (深さ)

液性限界試験		塑性限界試験		液性限界 $w_L$ %
落下回数	含水比 $w$ %	含水比 $w$ %		
				塑性限界 $w_p$ %
				塑性指数 $I_p$

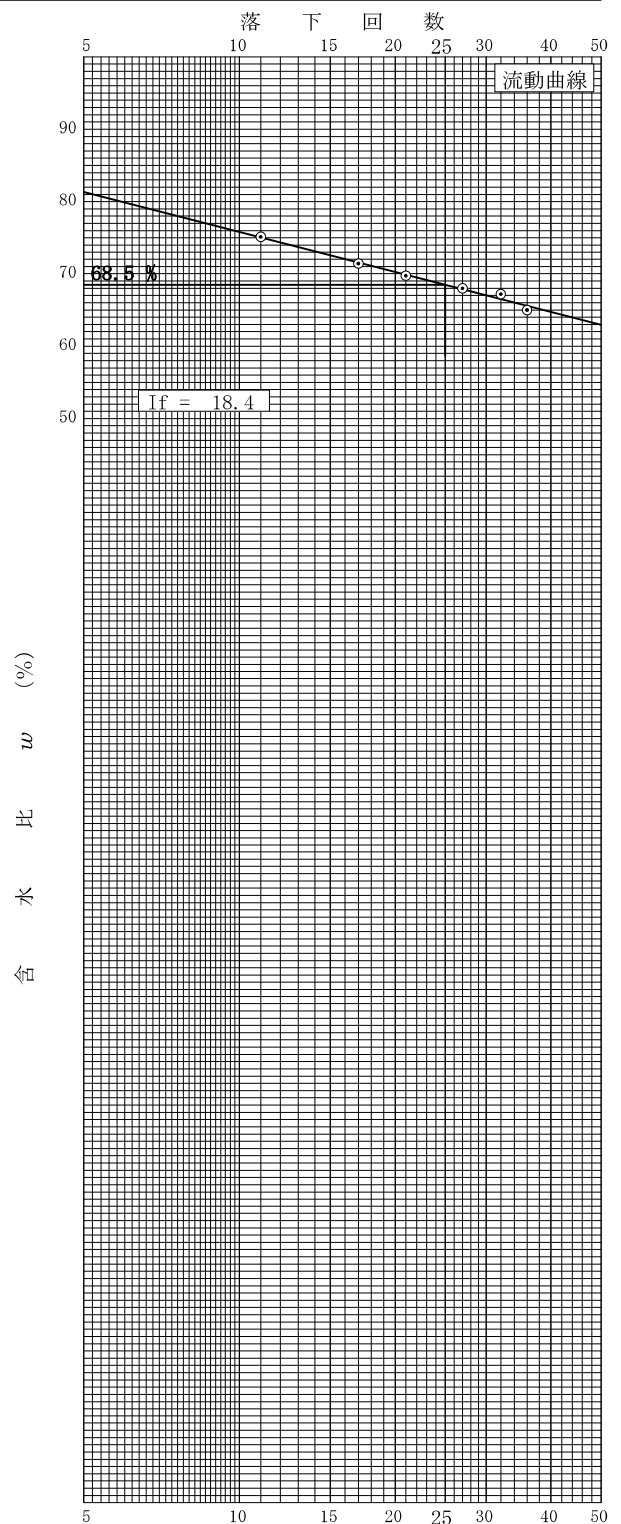
試料番号 (深さ)

液性限界試験		塑性限界試験		液性限界 $w_L$ %
落下回数	含水比 $w$ %	含水比 $w$ %		
				塑性限界 $w_p$ %
				塑性指数 $I_p$

試料番号 (深さ)

液性限界試験		塑性限界試験		液性限界 $w_L$ %
落下回数	含水比 $w$ %	含水比 $w$ %		
				塑性限界 $w_p$ %
				塑性指数 $I_p$

特記事項



JIS A 1225 JGS 0191	土の湿潤密度試験 (ノギス法)	
------------------------	-----------------	--

調査件名 ごみ処理施設用地地質調査委託

試験年月日 2017年 1月 11日

試料番号 (深さ) 3SR-1 (14.00~14.80m)

試験者 田村 浩由

供試体 No.			1	2	3		
供試体の質量 $m$ g			342.77	345.76	343.01		
供 試 体	直	上 部 cm	4.95	4.97	4.94		
			4.95	4.97	4.94		
		中 部 cm	4.95	4.97	4.94		
			4.95	4.97	4.94		
	径	下 部 cm	4.95	4.97	4.94		
			4.95	4.97	4.94		
	高 さ	cm	9.96	9.97	9.96		
			9.96	9.97	9.96		
		平均値 $H$ cm	9.96	9.97	9.96		
	体積 $V = (\pi D^2 / 4)H$ cm <sup>3</sup>			191.67	193.42	190.90	
含 水 比	容 器 No.		483	538	715		
	$m_a$ g		81.07	79.58	55.89		
	$m_b$ g		60.67	59.65	41.67		
	$m_c$ g		12.05	11.41	7.10		
	$w$ %		42.0	41.3	41.1		
比	容 器 No.						
	$m_b$ g						
	$m_c$ g						
	$w$ %						
	平均値 $w$ %		42.0	41.3	41.1		
湿潤密度 $\rho_t = m/V$ g/cm <sup>3</sup>			1.788	1.788	1.797		
乾燥密度 $\rho_d = \rho_t / (1 + w/100)$ g/cm <sup>3</sup>			1.259	1.265	1.274		
間隙比 $e = (\rho_t / \rho_d) - 1$			1.138	1.128	1.113		
飽和度 $S_r = w \rho_s / (e \rho_w)$ %			99.4	98.6	99.4		
土粒子の密度 $\rho_s$ g/cm <sup>3</sup>			2.692	平均値 $w$ %	41.5	平均値 $\rho_t$ g/cm <sup>3</sup>	1.791
平均値 $\rho_d$ g/cm <sup>3</sup>			1.266	平均値 $e$	1.126	平均値 $S_r$ %	99.1

特記事項

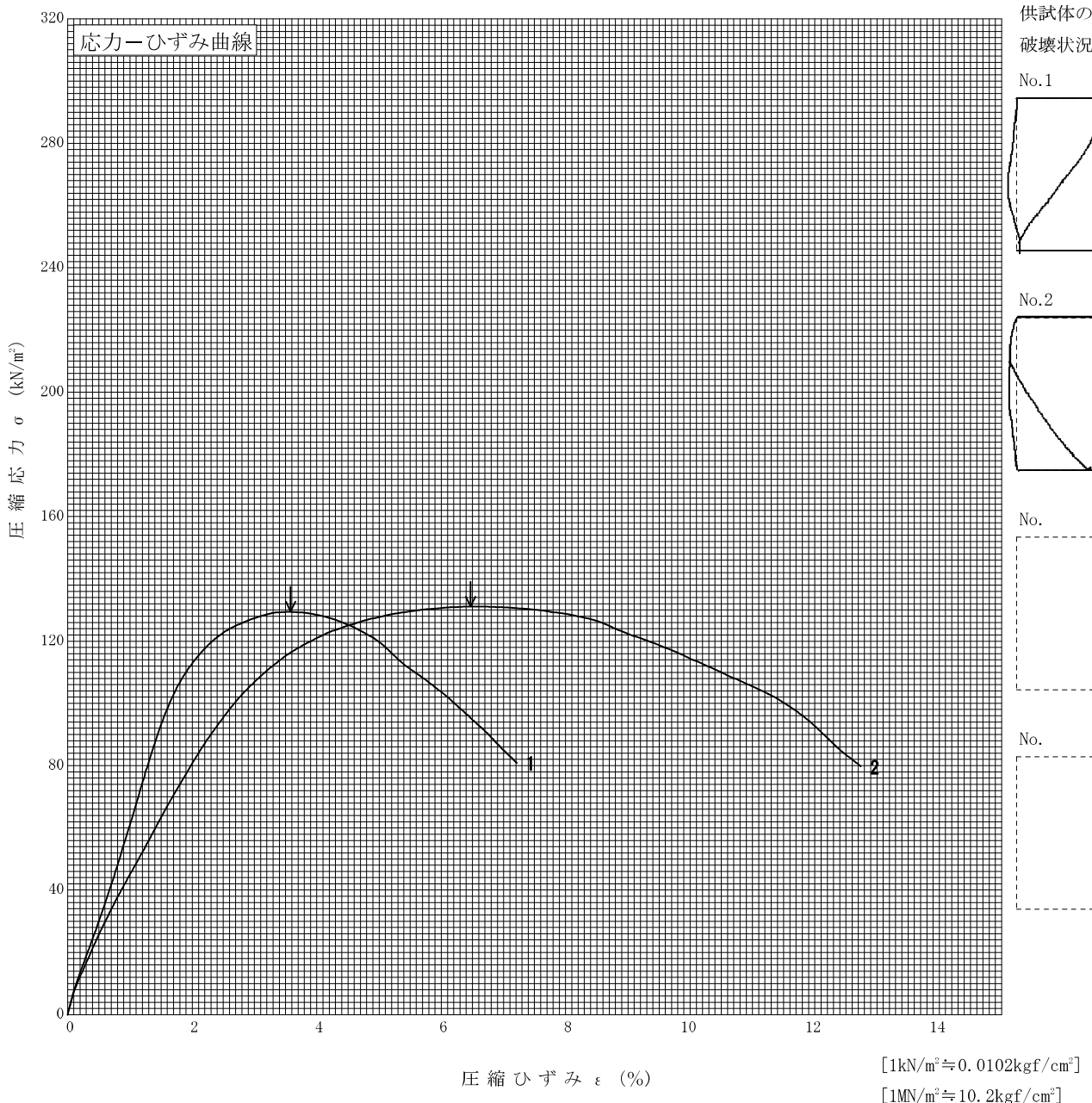
調査件名 ごみ処理施設用地地質調査委託

試験年月日 2017年 1月 11日

試料番号 (深さ) 3SR-1 (14.00~14.80m)

試験者 田村 浩由

土質名称	供試体 No.	1	2
液性限界 $w_L^{1)}$ %	試料の状態	乱さない	乱さない
塑性限界 $w_p^{1)}$ %	高さ $H_0$ cm	9.95	8.21
ひずみ速度 %/min	直径 $D_0$ cm	4.94	4.96
特記事項 1) 必要に応じて記載する。 $E_{50} = \frac{2}{\epsilon_{50}} \frac{q_u}{10}$	質量 $m$ g	336.60	262.68
	湿潤密度 $\rho_t^{1)}$ g/cm <sup>3</sup>	1.765	1.656
	含水比 $w$ %	43.8	52.1
	一軸圧縮強さ $q_u$ kN/m <sup>2</sup>	129.5	131.1
	破壊ひずみ $\epsilon_f$ %	3.58	6.47
	変形係数 $E_{50}^{1)}$ MN/m <sup>2</sup>	6.1	4.2
	鋭敏比 $S_t^{1)}$		







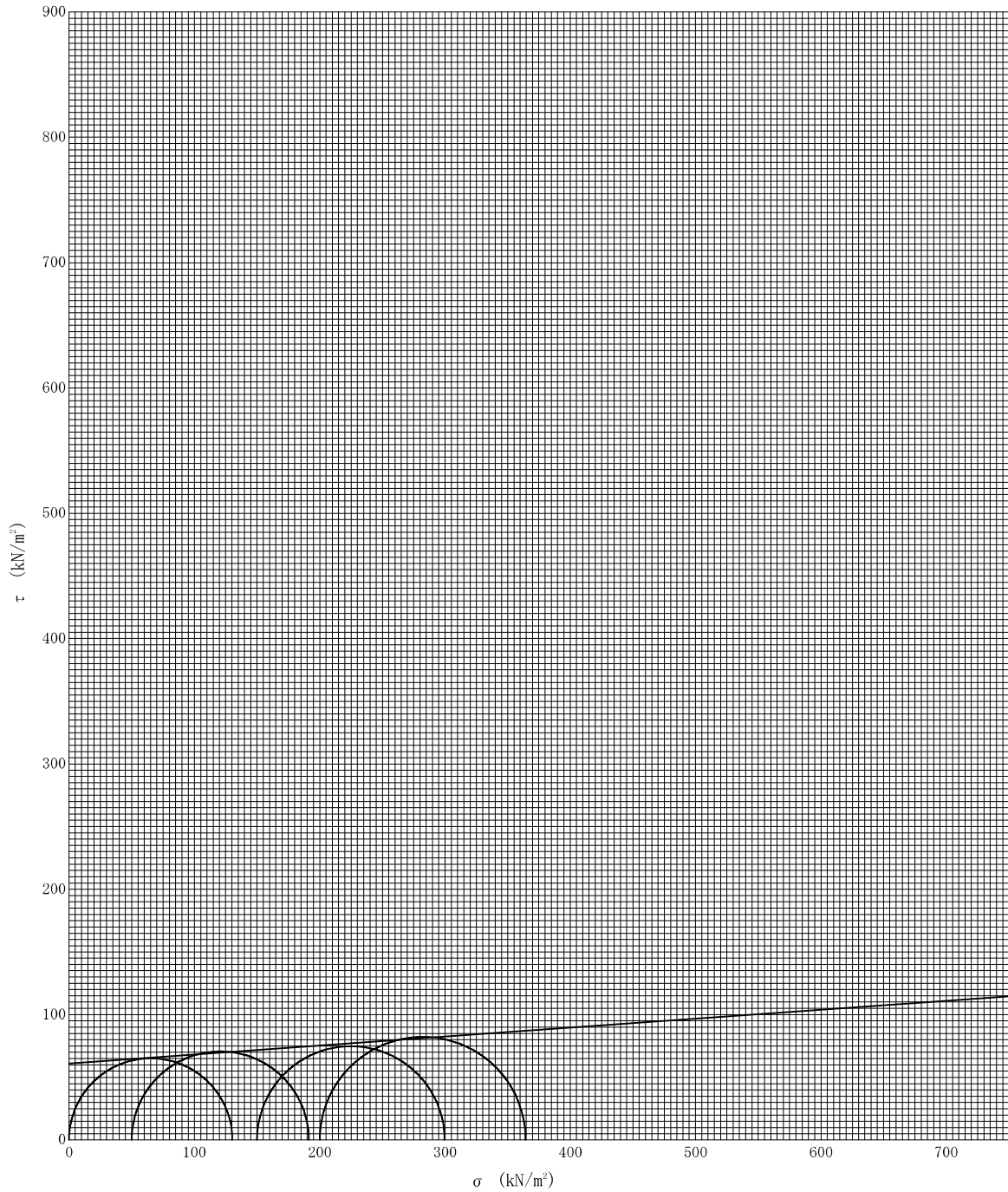
調査件名 ごみ処理施設用地地質調査委託

試験年月日 2017年 1月 11日

試料番号 (深さ) 3SR-1 (14.00~14.80m)

試験者 田村 浩由

強度定数 応力範囲	全 応 力			有 効 応 力	
	$c$ kN/m <sup>2</sup>	$\phi$ °	$\tan \phi$	$c'$ kN/m <sup>2</sup>	$\phi'$ °
正規圧密領域	61.0	4.1	0.07		
過圧密領域					



特記事項



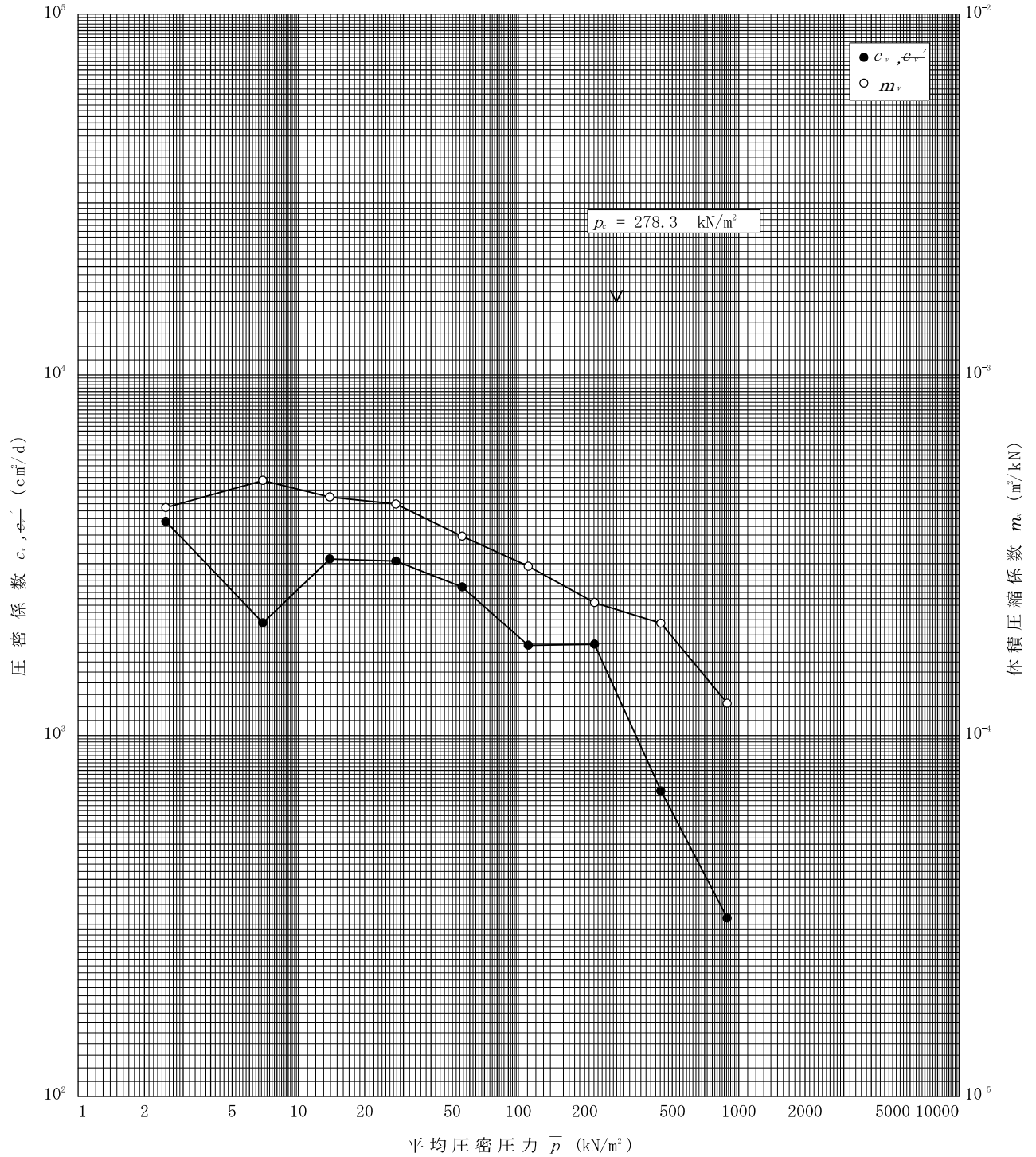


調査件名 ごみ処理施設用地地質調査委託

試験年月日 2017年 1月 11日

試料番号(深さ) 3SR-1 (14.00~14.80m)

試験者 桑野 浩



特記事項

B-4

# 土質試験結果一覧表（基礎地盤）

調査件名 ごみ処理施設用地地質調査委託

整理年月日

2017年 2月 1日

整理担当者

中村 修

試料番号 (深 さ)		4SR-1 (2.00~2.85m)	4SR-2 (5.00~5.85m)				
一 般	湿潤密度 $\rho_t$ g/cm <sup>3</sup>	1.652	1.651				
	乾燥密度 $\rho_d$ g/cm <sup>3</sup>	1.145	1.178				
	土粒子の密度 $\rho_s$ g/cm <sup>3</sup>	2.752	2.714				
	自然含水比 $w_o$ %	44.3	40.8				
	間隙比 $e$	1.405	1.337				
	飽和度 $S_r$ %	86.8	84.1				
粒 度	石分 (75mm以上) %						
	礫分 <sup>1)</sup> (2~75mm) %	9.9	5.4				
	砂分 <sup>1)</sup> (0.075~2mm) %	47.5	50.2				
	シルト分 <sup>1)</sup> (0.005~0.075mm) %	34.3	37.1				
	粘土分 <sup>1)</sup> (0.005mm未満) %	8.3	7.3				
	最大粒径 mm	19	19				
	均等係数 $U_c$	21.48	15.46				
コン シ ス テ ン シー 特 性	液性限界 $w_L$ %	65.2	47.6				
	塑性限界 $w_p$ %	33.9	31.7				
	塑性指数 $I_p$	31.3	15.9				
分 類	地盤材料の 分類名	礫まじり 細粒分質砂	礫まじり 細粒分質砂				
	分類記号	(SF-G)	(SF-G)				
圧 密	試験方法						
	圧縮指数 $C_c$						
	圧密降伏応力 $p_c$ kN/m <sup>2</sup>						
一 軸 圧 縮	一軸圧縮強さ $q_u$ kN/m <sup>2</sup>	190.3	145.6				
	破壊ひずみ $\epsilon_f$ %	3.08	2.43				
	変形係数 $E_{50}$ MN/m <sup>2</sup> %	6.8	9.5				
せ ん 断	試験条件	UU	UU				
	全応力	$c$ kN/m <sup>2</sup>	51.6	51.1			
		$\phi$ °	27.8	19.4			
	有効応力	$c'$ kN/m <sup>2</sup>					
$\phi'$ °							

特記事項

1) 石分を除いた75mm未満の土質材料  
に対する百分率で表す。

[1kN/m<sup>2</sup> ≒ 0.102kgf/cm<sup>2</sup>]



JIS A 1202 JGS 0111	土 粒 子 の 密 度 試 験 (測定)
------------------------	----------------------

調査件名  ごみ処理施設用地地質調査委託

試験年月日  2017年 1月 30日

試 験 者  飯島 かおる

試料番号 (深さ)		4SR-1 (2.00~2.85m)			4SR-2 (5.00~5.85m)		
ピクノメーター No.		130	131	132	223	224	225
(試料+蒸留水+ピクノメーター)の質量 $m_b$ g		166.965	171.222	172.739	174.026	160.539	170.168
$m_b$ をはかったときの内容物の温度 $T$ °C		16.0	16.0	16.0	14.0	14.0	14.0
$T$ °Cにおける蒸留水の密度 $\rho_w(T)$ g/cm <sup>3</sup>		0.99894	0.99894	0.99894	0.99924	0.99924	0.99924
温度 $T$ °Cの蒸留水を満たしたときの (蒸留水+ピクノメーター)質量 $m_a$ <sup>1)</sup> g		150.102	154.488	156.037	157.138	143.683	153.397
試料の 炉乾燥質量	容器 No.						
	(炉乾燥試料+容器)質量g	26.404	26.314	26.236	26.782	26.645	26.522
	容器質量 g						
$m_s$ g		26.404	26.314	26.236	26.782	26.645	26.522
土粒子の密度 $\rho_s$ g/cm <sup>3</sup>		2.764	2.744	2.749	2.705	2.720	2.718
平均値 $\rho_s$ g/cm <sup>3</sup>		2.752			2.714		
試料番号 (深さ)							
ピクノメーター No.							
(試料+蒸留水+ピクノメーター)の質量 $m_b$ g							
$m_b$ をはかったときの内容物の温度 $T$ °C							
$T$ °Cにおける蒸留水の密度 $\rho_w(T)$ g/cm <sup>3</sup>							
温度 $T$ °Cの蒸留水を満たしたときの (蒸留水+ピクノメーター)質量 $m_a$ <sup>1)</sup> g							
試料の 炉乾燥質量	容器 No.						
	(炉乾燥試料+容器)質量g						
	容器質量 g						
$m_s$ g							
土粒子の密度 $\rho_s$ g/cm <sup>3</sup>							
平均値 $\rho_s$ g/cm <sup>3</sup>							
試料番号 (深さ)							
ピクノメーター No.							
(試料+蒸留水+ピクノメーター)の質量 $m_b$ g							
$m_b$ をはかったときの内容物の温度 $T$ °C							
$T$ °Cにおける蒸留水の密度 $\rho_w(T)$ g/cm <sup>3</sup>							
温度 $T$ °Cの蒸留水を満たしたときの (蒸留水+ピクノメーター)質量 $m_a$ <sup>1)</sup> g							
試料の 炉乾燥質量	容器 No.						
	(炉乾燥試料+容器)質量g						
	容器質量 g						
$m_s$ g							
土粒子の密度 $\rho_s$ g/cm <sup>3</sup>							
平均値 $\rho_s$ g/cm <sup>3</sup>							

特記事項

1) ピクノメーターの検定結果から求める。

$$\rho_s = \frac{m_s}{m_s + (m_a - m_b)} \times \rho_w(T)$$



調査件名 ごみ処理施設用地地質調査委託

試験年月日 2017年 1月 27日

試験者 飯島 かおる

試料番号 (深さ)	4SR-1 (2.00~2.85m)			4SR-2 (5.00~5.85m)		
容器 No.	117	132	155	514	586	597
$m_a$ g	51.14	49.10	52.90	52.75	47.78	54.69
$m_b$ g	38.98	37.58	40.08	41.69	35.94	42.93
$m_c$ g	11.27	11.61	11.32	11.69	11.44	11.25
$w$ %	43.9	44.4	44.6	36.9	48.3	37.1
平均値 $w$ %	44.3			40.8		
特記事項						

試料番号 (深さ)						
容器 No.						
$m_a$ g						
$m_b$ g						
$m_c$ g						
$w$ %						
平均値 $w$ %						
特記事項						

試料番号 (深さ)						
容器 No.						
$m_a$ g						
$m_b$ g						
$m_c$ g						
$w$ %						
平均値 $w$ %						
特記事項						

試料番号 (深さ)						
容器 No.						
$m_a$ g						
$m_b$ g						
$m_c$ g						
$w$ %						
平均値 $w$ %						
特記事項						

試料番号 (深さ)						
容器 No.						
$m_a$ g						
$m_b$ g						
$m_c$ g						
$w$ %						
平均値 $w$ %						
特記事項						

$$w = \frac{m_a - m_b}{m_b - m_c} \times 100$$

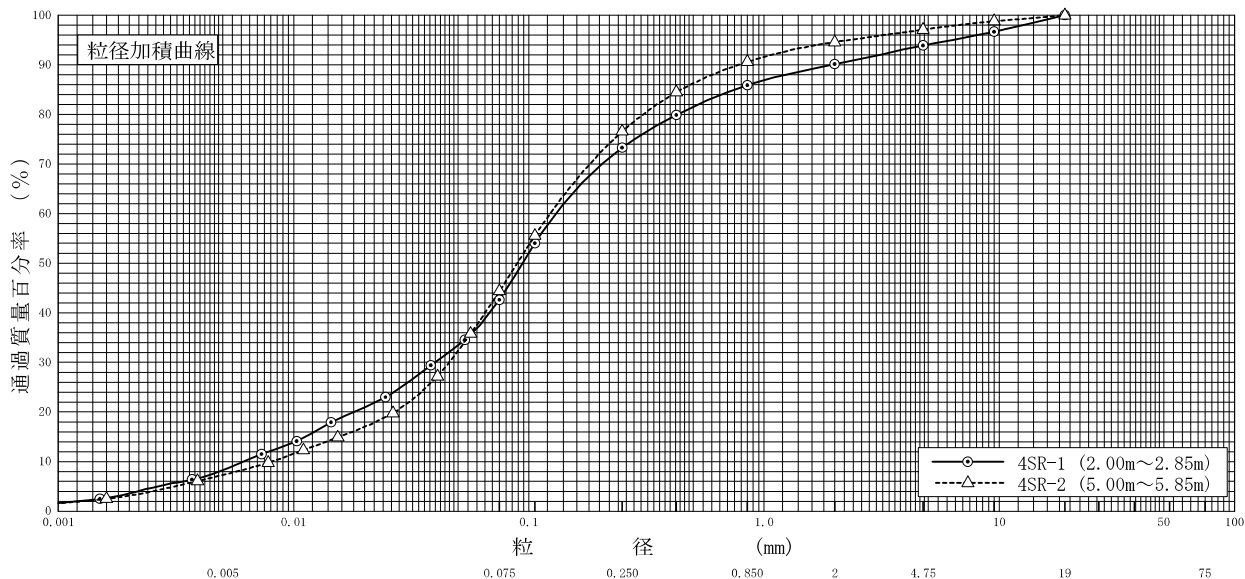
$m_a$  : (試料+容器)質量  
 $m_b$  : (炉乾燥試料+容器)質量  
 $m_c$  : 容器質量

調査件名  ごみ処理施設用地地質調査委託

試験年月日  2017年 1月 31日

試験者  飯島 かおる

試料番号 (深さ)	4SR-1 (2.00~2.85m)		4SR-2 (5.00~5.85m)		試料番号 (深さ)	4SR-1	4SR-2
	粒径 mm	通過質量百分率%	粒径 mm	通過質量百分率%		(2.00~2.85m)	(5.00~5.85m)
ふるい	75		75		粗礫分 %	0.0	0.0
	53		53		中礫分 %	6.1	2.9
	37.5		37.5		細礫分 %	3.8	2.5
	26.5		26.5		粗砂分 %	4.2	4.0
	19	100.0	19	100.0	中砂分 %	12.6	14.0
	9.5	96.7	9.5	98.8	細砂分 %	30.7	32.2
	4.75	93.9	4.75	97.1	シルト分 %	34.3	37.1
	2	90.1	2	94.6	粘土分 %	8.3	7.3
	0.850	85.9	0.850	90.6	2mmふるい通過質量百分率 %	90.1	94.6
	0.425	79.9	0.425	84.5	425μmふるい通過質量百分率 %	79.9	84.5
	0.250	73.3	0.250	76.6	75μmふるい通過質量百分率 %	42.6	44.4
	0.106	54.0	0.106	55.6	最大粒径 mm	19	19
	0.075	42.6	0.075	44.4	60% 粒径 $D_{60}$ mm	0.1310	0.1237
	沈降	0.0534	34.5	0.0565	35.8	50% 粒径 $D_{50}$ mm	0.0945
0.0383		29.4	0.0409	27.2	30% 粒径 $D_{30}$ mm	0.0400	0.0459
0.0246		23.0	0.0264	19.8	10% 粒径 $D_{10}$ mm	0.0061	0.0080
0.0144		17.9	0.0154	14.9	均等係数 $U_c$	21.48	15.46
0.0103		14.1	0.0110	12.3	曲率係数 $U_c'$	2.00	2.13
0.0073		11.5	0.0078	9.8	土粒子の密度 $\rho_s$ g/cm <sup>3</sup>	2.752	2.714
0.0037		6.4	0.0039	6.1	使用した分散剤	-	-
析	0.0015	2.5	0.0016	2.5	溶液濃度, 溶液添加量	-	-
					20% 粒径 $D_{20}$ mm	0.0181	0.0268



粘 土	シ ル ト	細 砂	中 砂	粗 砂	細 礫	中 礫	粗 礫
-----	-------	-----	-----	-----	-----	-----	-----

特記事項

調査件名 ごみ処理施設用地地質調査委託

試験年月日 2017年 1月 27日

試験者 飯島 かおる

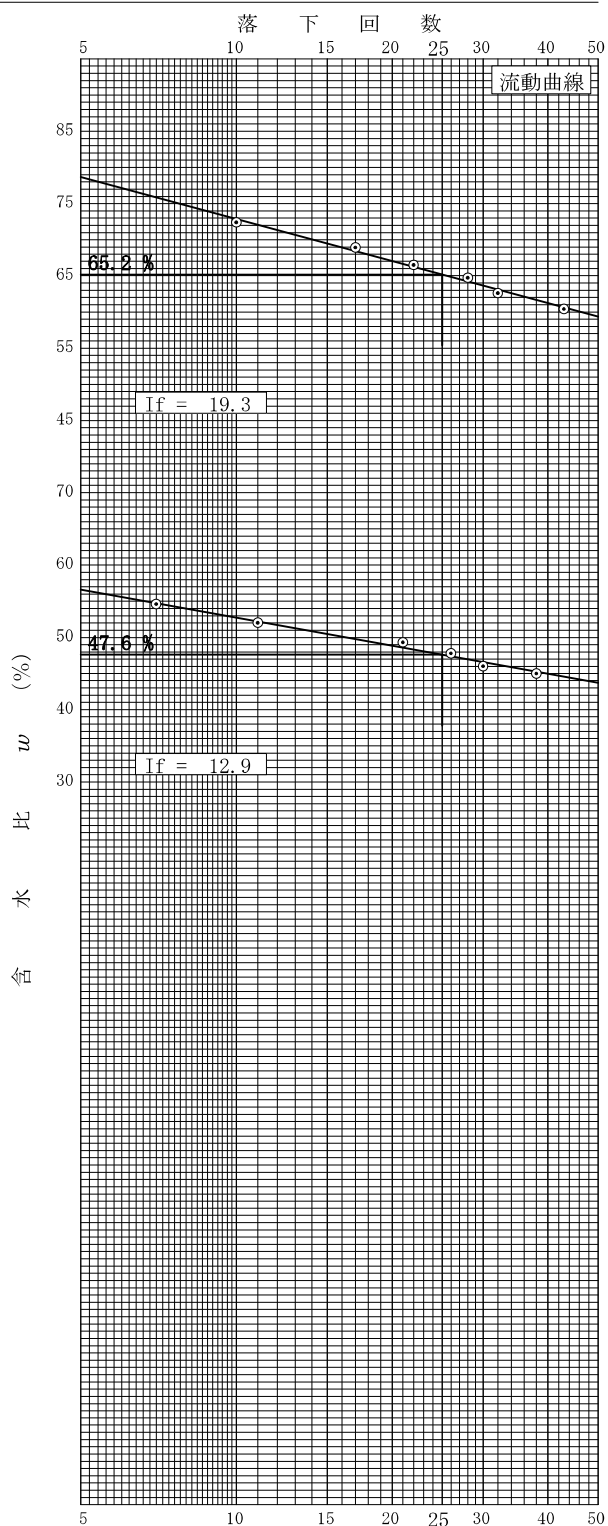
試料番号 (深さ) 4SR-1 (2.00~2.85m)			
液性限界試験		塑性限界試験	
落下回数	含水比 $w$ %	含水比 $w$ %	液性限界 $w_L$ %
			65.2
43	60.4	33.3	塑性限界 $w_p$ %
32	62.6	33.8	
28	64.7	34.5	塑性指数 $I_p$
22	66.5		
17	68.9		31.3
10	72.4		

試料番号 (深さ) 4SR-2 (5.00~5.85m)			
液性限界試験		塑性限界試験	
落下回数	含水比 $w$ %	含水比 $w$ %	液性限界 $w_L$ %
			47.6
38	45.0	31.0	塑性限界 $w_p$ %
30	46.0	31.8	
26	47.8	32.4	塑性指数 $I_p$
21	49.3		
11	52.0		15.9
7	54.6		

試料番号 (深さ)			
液性限界試験		塑性限界試験	
落下回数	含水比 $w$ %	含水比 $w$ %	液性限界 $w_L$ %
			塑性限界 $w_p$ %
			塑性指数 $I_p$

試料番号 (深さ)			
液性限界試験		塑性限界試験	
落下回数	含水比 $w$ %	含水比 $w$ %	液性限界 $w_L$ %
			塑性限界 $w_p$ %
			塑性指数 $I_p$

特記事項



JIS A 1225 JGS 0191	土の湿潤密度試験 (ノギス法)	
------------------------	-----------------	--

調査件名 ごみ処理施設用地地質調査委託

試験年月日 2017年 1月 26日

試料番号 (深さ) 4SR-1 (2.00~2.85m)

試験者 田村 浩由

供 試 体 No.			1	2	3		
供試体の質量 $m$ g			747.74	763.72	778.12		
供 試 体	直 径	上 部 cm	7.48	7.50	7.50		
			7.48	7.50	7.50		
		中 部 cm	7.48	7.50	7.50		
			7.48	7.50	7.50		
	下 部 cm	7.48	7.50	7.50			
		7.48	7.50	7.50			
	平 均 値 $D$ cm		7.48	7.50	7.50		
	体 積	高 度 cm	10.48	10.50	10.45		
			10.48	10.50	10.45		
		平 均 値 $H$ cm	10.48	10.50	10.45		
体 積 $V = (\pi D^2 / 4)H$ cm <sup>3</sup>			460.53	463.88	461.67		
含 水 比	容 器 No.		117	132	155		
	$m_a$ g		51.14	49.10	52.90		
	$m_b$ g		38.98	37.58	40.08		
	$m_c$ g		11.27	11.61	11.32		
	$w$ %		43.9	44.4	44.6		
水 比	容 器 No.						
	$m_b$ g						
	$m_b$ g						
	$m_c$ g						
	$w$ %						
平 均 値 $w$ %			43.9	44.4	44.6		
湿潤密度 $\rho_t = m/V$ g/cm <sup>3</sup>			1.624	1.646	1.685		
乾燥密度 $\rho_d = \rho_t / (1 + w/100)$ g/cm <sup>3</sup>			1.129	1.140	1.165		
間 隙 比 $e = (\rho_t / \rho_d) - 1$			1.438	1.414	1.362		
飽 和 度 $S_r = w \rho_s / (e \rho_w)$ %			84.0	86.4	90.1		
土粒子の密度 $\rho_s$ g/cm <sup>3</sup>			2.752	平均値 $w$ %	44.3	平均値 $\rho_t$ g/cm <sup>3</sup>	1.652
平 均 値 $\rho_d$ g/cm <sup>3</sup>			1.145	平均値 $e$	1.405	平均値 $S_r$ %	86.8

特記事項

JIS A 1225 JGS 0191	土の湿潤密度試験 (ノギス法)	
------------------------	-----------------	--

調査件名 ごみ処理施設用地地質調査委託

試験年月日 2017年 1月 26日

試料番号 (深さ) 4SR-2 (5.00~5.85m)

試験者 田村 浩由

供試体 No.			1	2	3			
供試体の質量 $m$ g			1017.58	703.00	997.52			
供試体	直	上部 cm	7.38	7.40	7.41			
			7.38	7.40	7.41			
		中部 cm	7.38	7.40	7.41			
			7.38	7.40	7.41			
	径	下部 cm	7.38	7.40	7.41			
			7.38	7.40	7.41			
	平均値 $D$ cm		7.38	7.40	7.41			
	高さ			13.93	11.12	13.04		
				13.93	11.12	13.04		
		平均値 $H$ cm		13.93	11.12	13.04		
体積 $V = (\pi D^2 / 4)H$ cm <sup>3</sup>			595.87	478.25	562.35			
含水	容器 No.		514	586	597			
	$m_a$ g		52.75	47.78	54.69			
	$m_b$ g		41.69	35.94	42.93			
	$m_c$ g		11.69	11.44	11.25			
	$w$ %		36.9	48.3	37.1			
比	容器 No.							
	$m_b$ g							
	$m_c$ g							
	$w$ %							
	平均値 $w$ %		36.9	48.3	37.1			
湿潤密度 $\rho_t = m/V$ g/cm <sup>3</sup>			1.708	1.470	1.774			
乾燥密度 $\rho_d = \rho_t / (1 + w/100)$ g/cm <sup>3</sup>			1.248	0.991	1.294			
間隙比 $e = (\rho_t / \rho_d) - 1$			1.175	1.739	1.097			
飽和度 $S_r = w \rho_s / (e \rho_w)$ %			85.2	75.4	91.8			
土粒子の密度 $\rho_s$ g/cm <sup>3</sup>			2.714	平均値 $w$ %	40.8	平均値 $\rho_t$ g/cm <sup>3</sup>	1.651	
平均値 $\rho_d$ g/cm <sup>3</sup>			1.178	平均値 $e$	1.337	平均値 $S_r$ %	84.1	

特記事項

JIS A 1216  
JGS 0511

土の一軸圧縮試験(強度・変形特性)

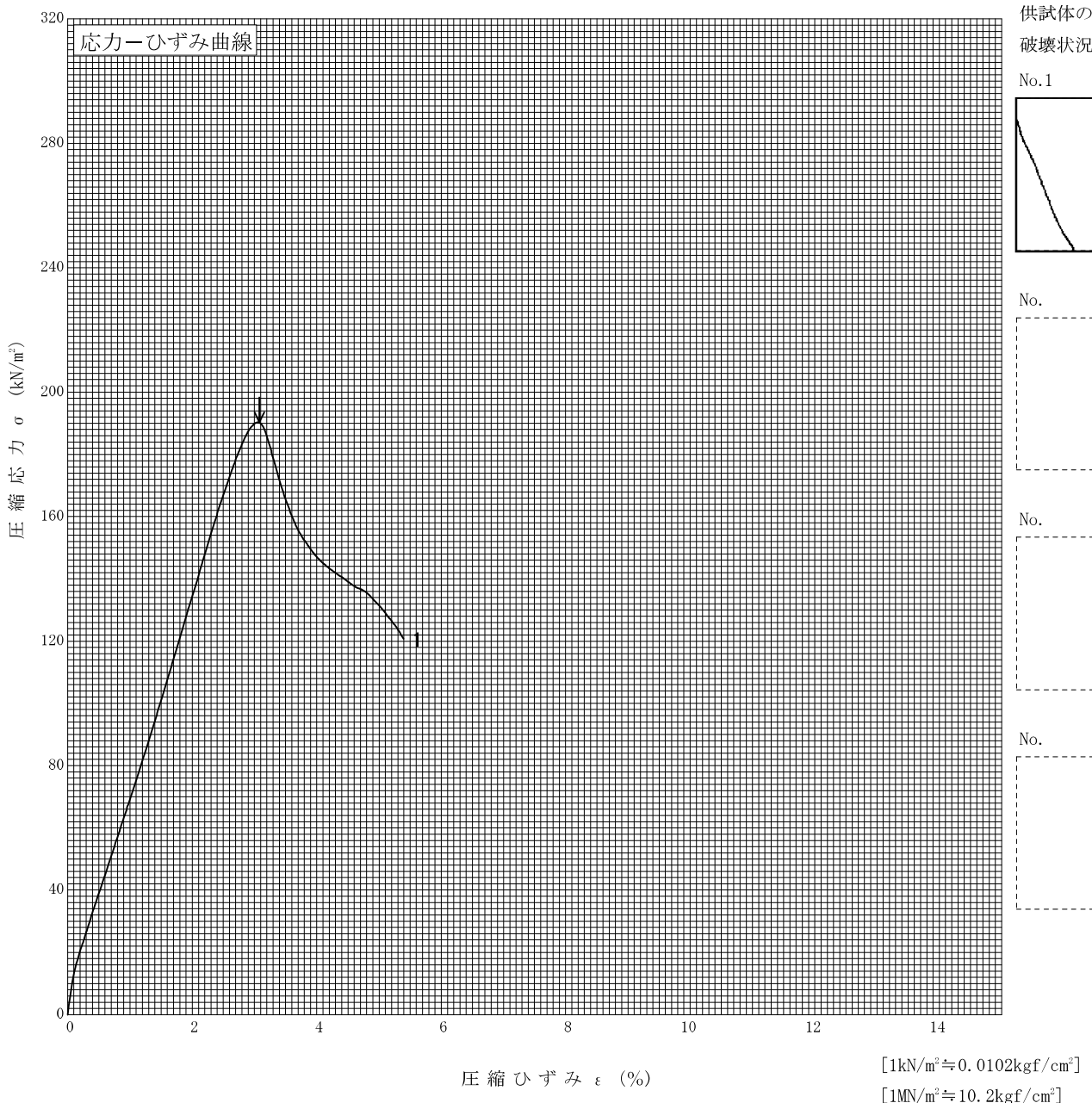
調査件名 ごみ処理施設用地地質調査委託

試験年月日 2016年 1月 26日

試料番号(深さ) 4SR-1 (2.00~2.85m)

試験者 田村 浩由

土質名称		供試体 No.	1		
液性限界 $w_L^{11}$ %		試料の状態	乱さない		
塑性限界 $w_p^{11}$ %		高さ $H_0$ cm	10.40		
ひずみ速度 %/min	1.0	直径 $D_0$ cm	7.47		
特記事項 1) 必要に応じて記載する。 $E_{50} = \frac{2}{\epsilon_{50}} \frac{q_u}{10}$		質量 $m$ g	787.91		
		湿潤密度 $\rho_t^{11}$ g/cm <sup>3</sup>	1.729		
		含水比 $w$ %	43.9		
		一軸圧縮強さ $q_u$ kN/m <sup>2</sup>	190.3		
		破壊ひずみ $\epsilon_f$ %	3.08		
		変形係数 $E_{50}^{11}$ MN/m <sup>2</sup>	6.8		
		鋭敏比 $S_t^{11}$			



JIS A 1216  
JGS 0511

土の一軸圧縮試験(強度・変形特性)

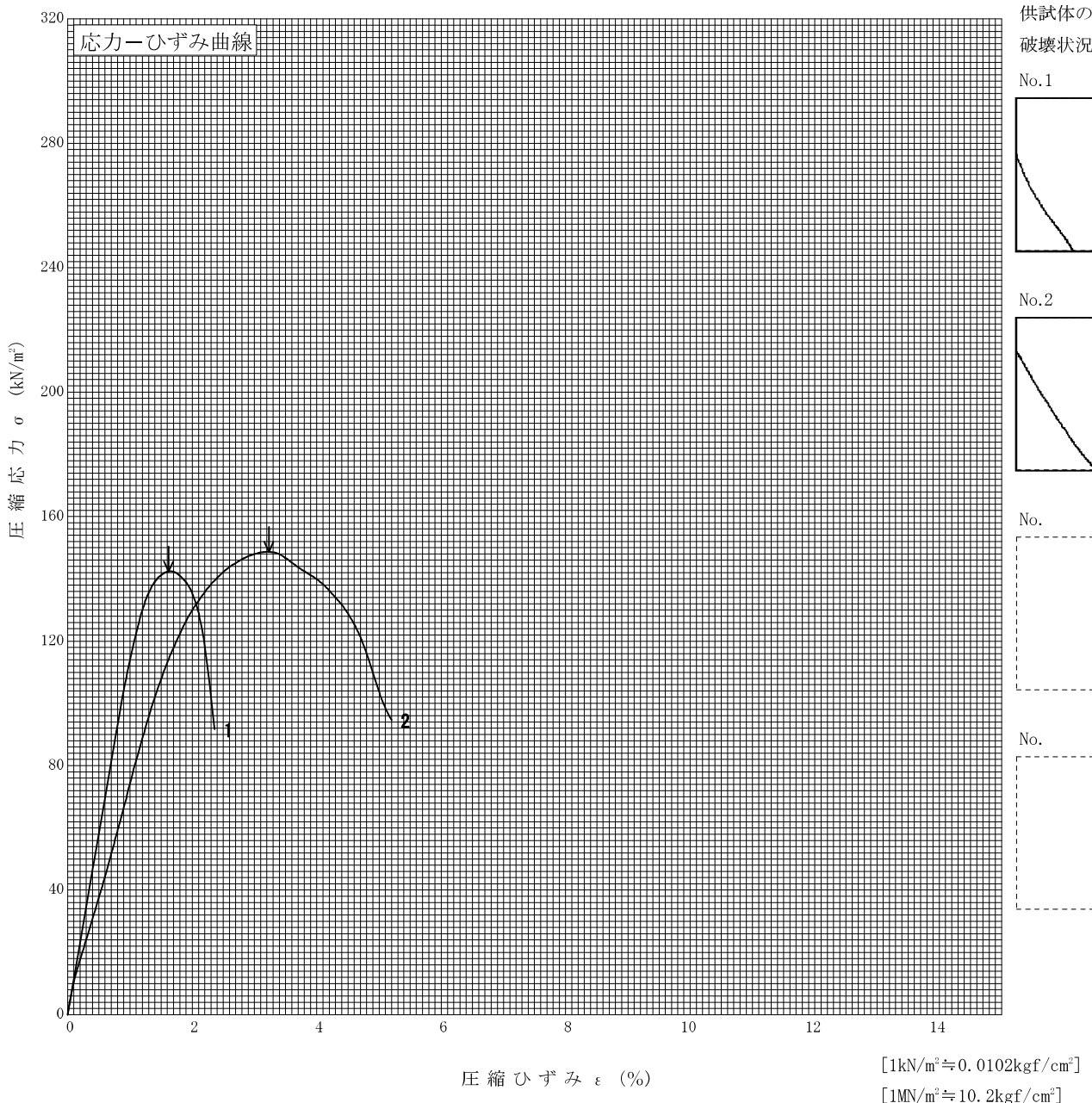
調査件名 ごみ処理施設用地地質調査委託

試験年月日 2017年 1月 25日

試料番号(深さ) 4SR-2 (5.00~5.85m)

試験者 田村 浩由

土質名称	供試体 No.	1	2
液性限界 $w_L^{1)}$ %	試料の状態	乱さない	乱さない
塑性限界 $w_p^{1)}$ %	高さ $H_0$ cm	13.54	9.14
ひずみ速度 %/min	直径 $D_0$ cm	7.48	7.46
特記事項 1) 必要に応じて記載する。 $E_{50} = \frac{2}{\epsilon_{50}} \frac{q_u}{10}$	質量 $m$ g	1042.94	702.80
	湿潤密度 $\rho_t^{1)}$ g/cm <sup>3</sup>	1.753	1.759
	含水比 $w$ %	35.4	39.9
	一軸圧縮強さ $q_u$ kN/m <sup>2</sup>	142.4	148.7
	破壊ひずみ $\epsilon_f$ %	1.62	3.23
	変形係数 $E_{50}^{1)}$ MN/m <sup>2</sup>	11.6	7.4
	鋭敏比 $S_t^{1)}$		







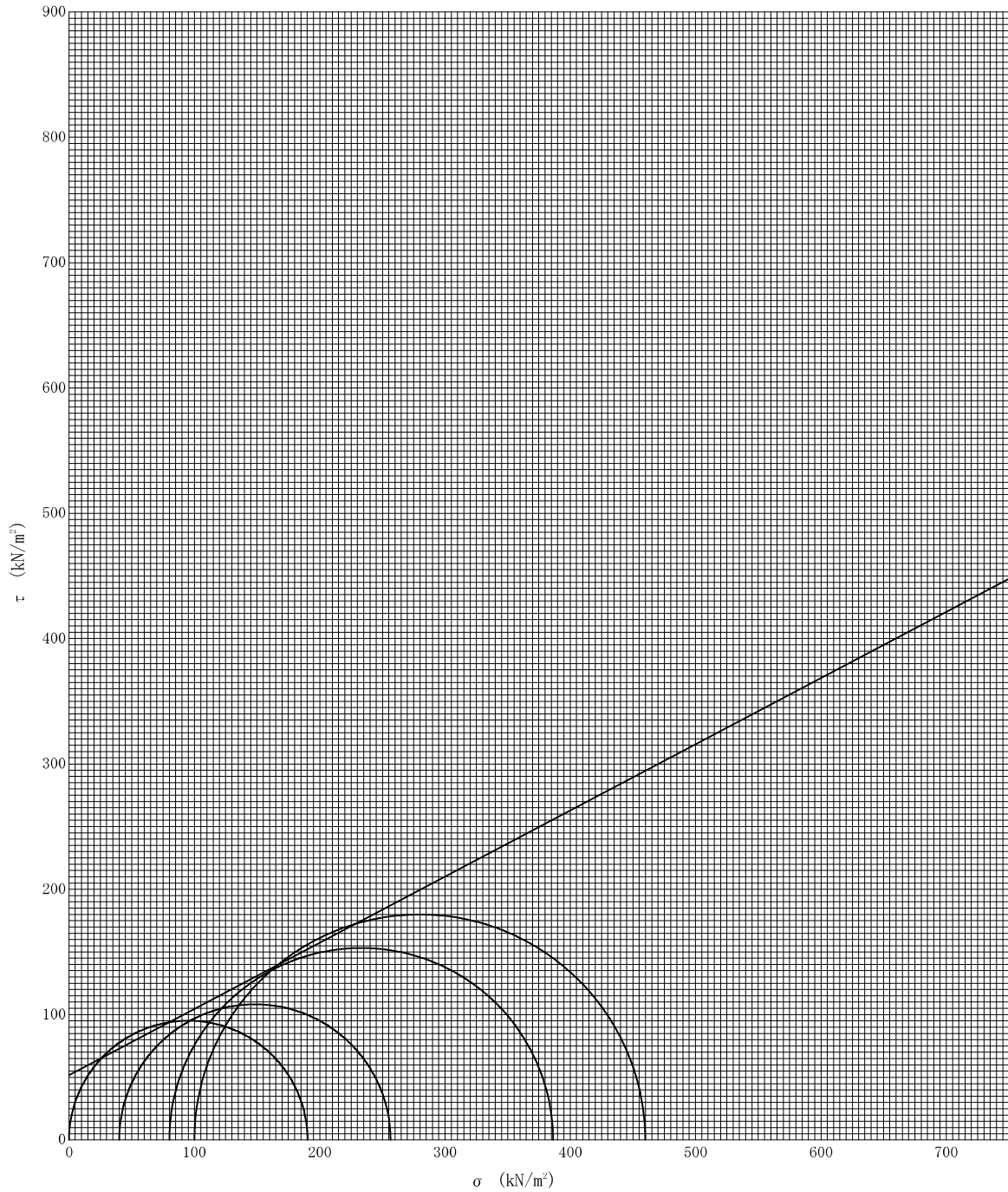
調査件名 ごみ処理施設用地地質調査委託

試験年月日 2017年 1月 26日

試料番号 (深さ) 4SR-1 (2.00~2.85m)

試験者 田村 浩由

強度定数 応力範囲	全 応 力			有 効 応 力	
	$c$ kN/m <sup>2</sup>	$\phi$ °	$\tan \phi$	$c'$ kN/m <sup>2</sup>	$\phi'$ °
正規圧密領域	51.6	27.8	0.53		
過圧密領域					




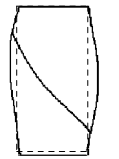
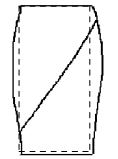
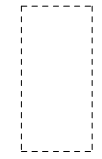
特記事項

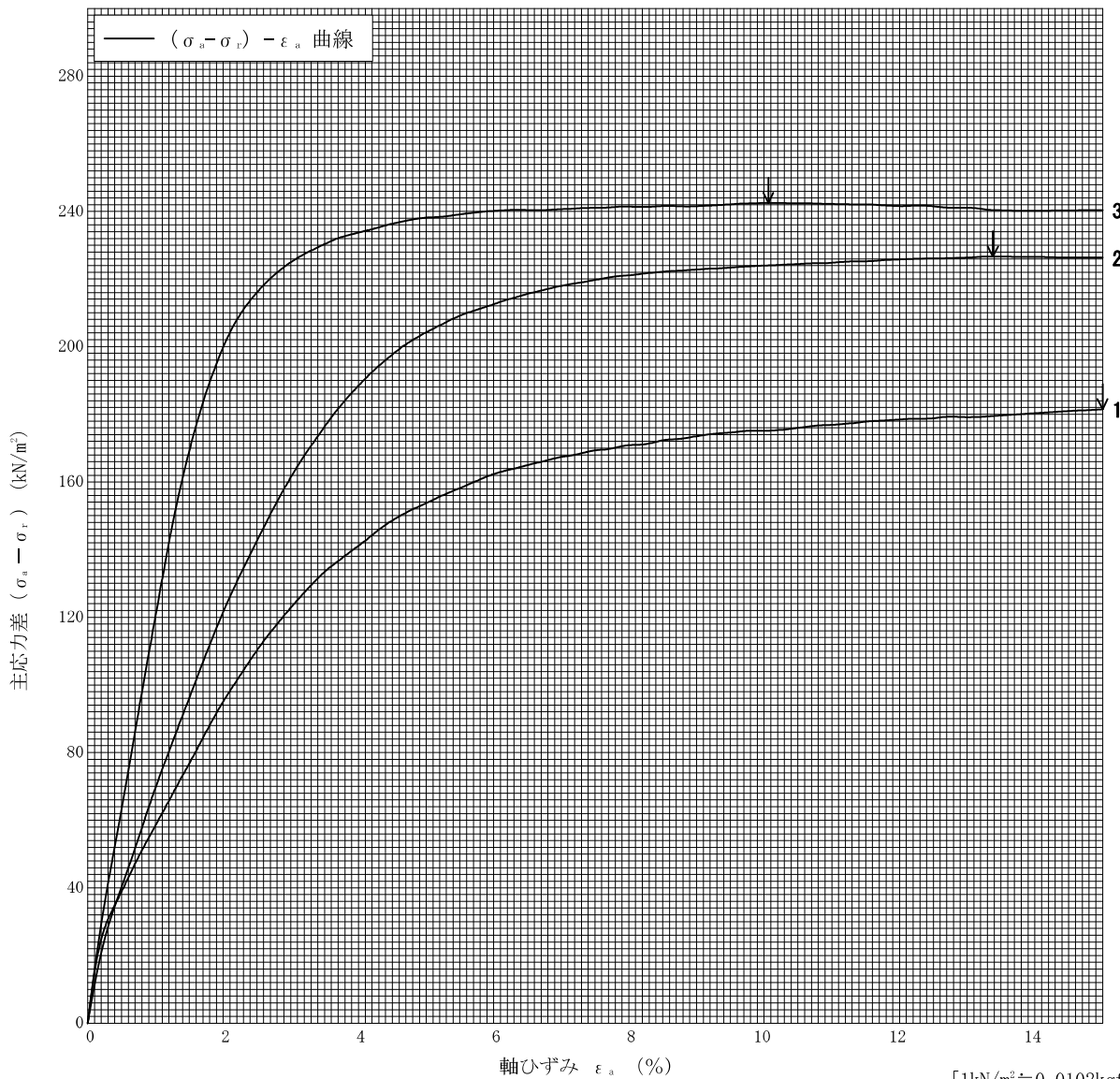
調査件名 ごみ処理施設用地地質調査委託

試験年月日 2017年 1月 25日

試料番号 (深さ) 4SR-2 (5.00~5.85m)

試験者 田村 浩由

土質名称	供試体 No.	1	2	3	
液性限界 $W_L$ % <sup>1)</sup>	セル圧・ <del>圧密応力</del> $kN/m^2$	40.0	80.0	100.0	
塑性限界 $W_P$ % <sup>1)</sup>	背 圧 $u_b$ $kN/m^2$				
ひずみ速度 %/min	圧縮強さ $(\sigma_a - \sigma_r)_{max}$ $kN/m^2$	181.5	226.7	242.6	
特記事項 1) 必要に応じて粘性土の場合には液性限界, 塑性限界, 砂質土の場合には最小乾燥密度, 最大乾燥密度等を記載する。	主 軸 力 差 最 大 時	軸ひずみ $\epsilon_{af}$ %	15.00	13.38	10.06
	CU	間隙水圧 $u_e$ $kN/m^2$			
		有効軸方向応力 $\sigma'_{af}$ $kN/m^2$			
		有効側方向応力 $\sigma'_{rf}$ $kN/m^2$			
	CD	体積ひずみ $\epsilon_{vf}$ %			
		間 隙 比 $e_f$			
	変形係数 $E_{50}$ $MN/m^2$	4.85	6.19	12.0	
	供試体の破壊状況				



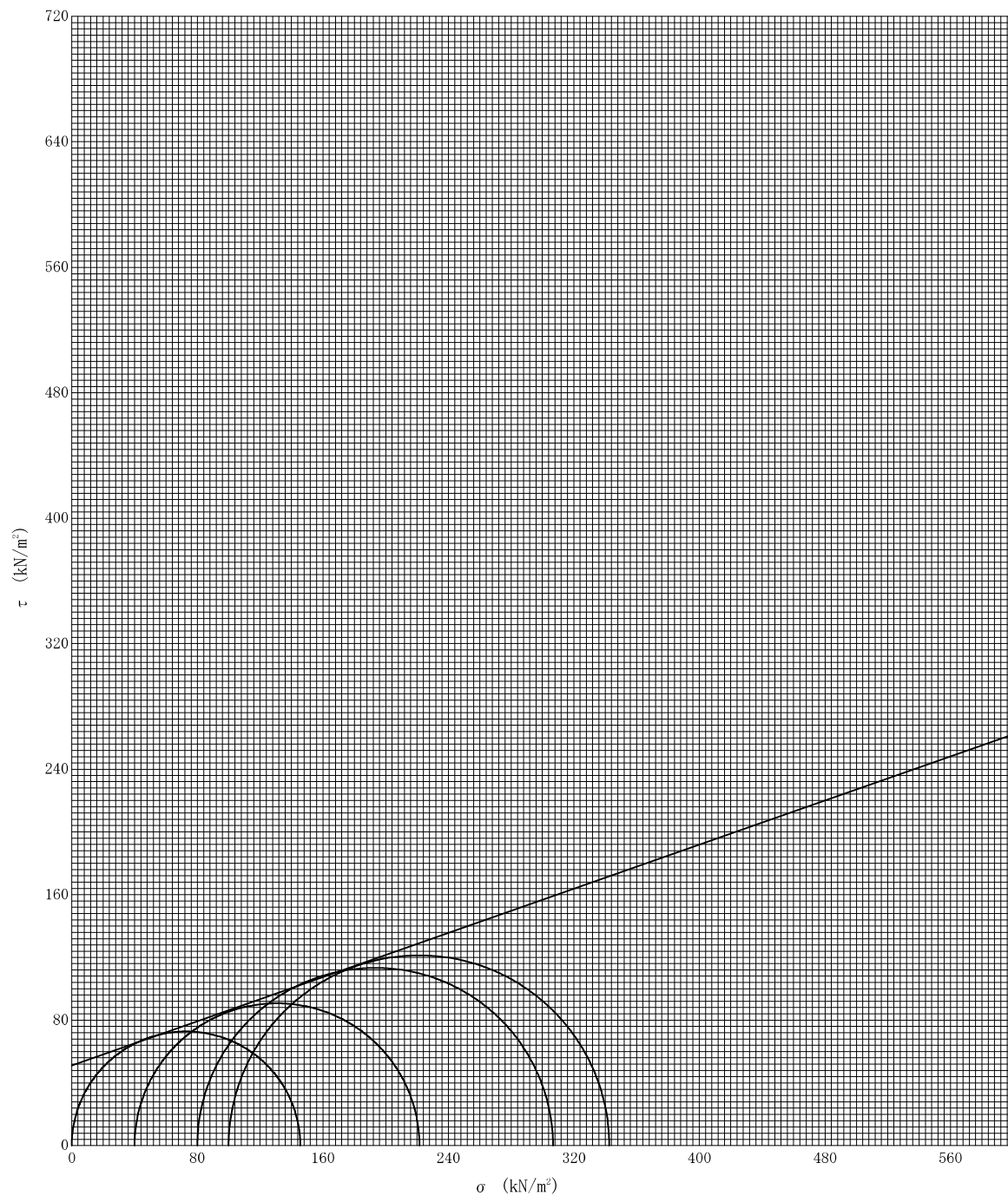
調査件名 ごみ処理施設用地地質調査委託

試験年月日 2017年 1月 25日

試料番号 (深さ) 4SR-2 (5.00~5.85m)

試験者 田村 浩由

強度定数 応力範囲	全 応 力			有 効 応 力	
	$c$ kN/m <sup>2</sup>	$\phi$ °	$\tan \phi$	$c'$ kN/m <sup>2</sup>	$\phi'$ °
正規圧密領域	51.1	19.4	0.35		
過圧密領域					



特記事項

# 調査記録写真

# 機械ボーリング



B-1  
施工前



B-1  
施工後



B-1  
全 景



B-1  
標準貫入試験





B-1

乱れの少ない試料採取

ロータリー式  
三重管サンプラー  
(トリプル)



B-1

乱れの少ない採取試料

GL-2.00~2.80m  
GL-9.00~9.80m





B-1  
残 尺

残尺 2.00m



B-1  
検 尺

総尺 22.30m  
残尺 2.00m  
検尺 20.30m



B-1  
調査孔閉塞

セメントミルク注入





B-1  
標準貫入試験試料

GL-1.00m  
埋土(粘性土)~ローム



B-1  
標準貫入試験試料

GL-2.00m  
ローム



B-1  
標準貫入試験試料

GL-4.00m  
ローム





B-1  
標準貫入試験試料

GL-5.00m  
粘土質細砂



B-1  
標準貫入試験試料

GL-7.00m  
細砂



B-1  
標準貫入試験試料

GL-8.00m  
シルト





B-1  
標準貫入試験試料

GL-10.00m  
粘土質シルト



B-1  
標準貫入試験試料

GL-11.00m  
粘土質シルト



B-1  
標準貫入試験試料

GL-12.00m  
細砂





B-1  
標準貫入試験試料

GL-13.00m  
細砂



B-1  
標準貫入試験試料

GL-15.00m  
細砂



B-1  
標準貫入試験試料

GL-20.00m  
細砂



B-2  
施工前



B-2  
施工後





B-2  
全 景



B-2  
標準貫入試験



B-2

乱れの少ない試料採取

ロータリー式  
二重管サンプラー  
(デニソン)



B-2

乱れの少ない採取試料

GL-4.00~4.80m  
GL-9.00~9.80m





B-2  
残 尺

残尺 2.00m



B-2  
検 尺

総尺 44.30m  
残尺 2.00m  
検尺 42.30m



B-2  
調査孔閉塞

セメントミルク注入



B-2  
標準貫入試験試料

GL-1.00m  
埋土(砂質土)



B-2  
標準貫入試験試料

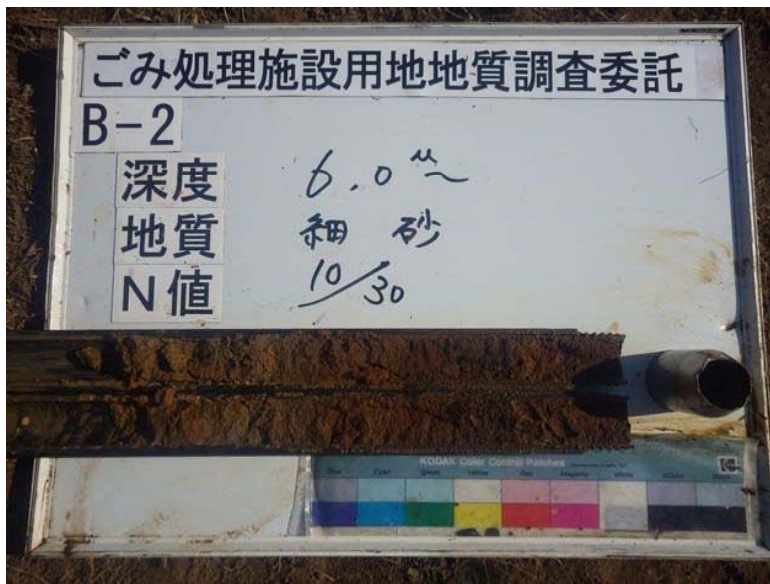
GL-4.00m  
ローム



B-2  
標準貫入試験試料

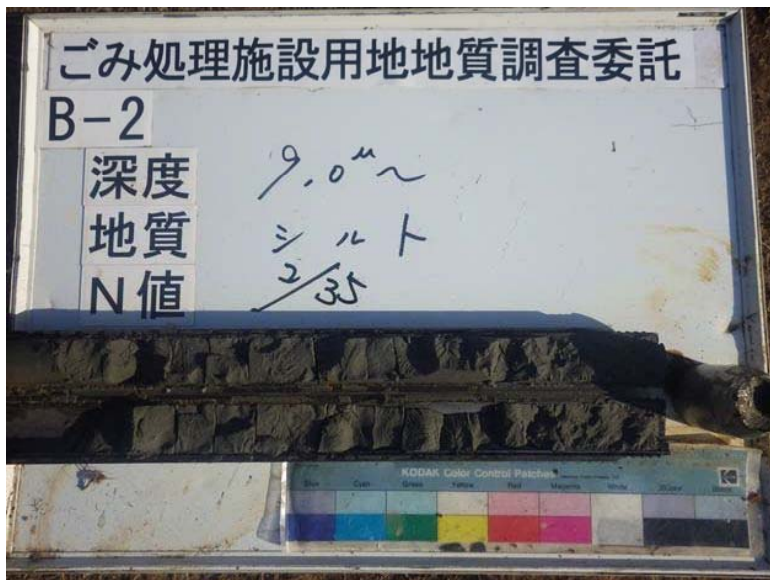
GL-5.00m  
凝灰質粘土





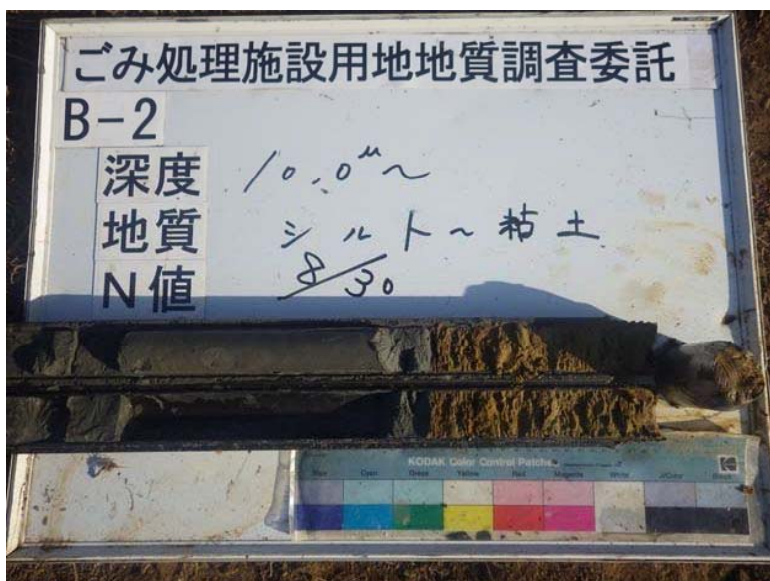
B-2  
標準貫入試験試料

GL-6.00m  
細砂



B-2  
標準貫入試験試料

GL-9.00m  
シルト



B-2  
標準貫入試験試料

GL-10.00m  
シルト~粘土



B-2

標準貫入試験試料

GL-11.00m  
粘土混じり細砂



B-2

標準貫入試験試料

GL-12.00m  
細砂



B-2

標準貫入試験試料

GL-15.00m  
細砂





B-2  
標準貫入試験試料

GL-18.00m  
微細砂



B-2  
標準貫入試験試料

GL-23.00m  
微細砂



B-2  
標準貫入試験試料

GL-27.00m  
貝殻混じり細砂



B-2  
標準貫入試験試料

GL-30.00m  
細砂



B-2  
標準貫入試験試料

GL-32.00m  
細砂～粘土



B-2  
標準貫入試験試料

GL-33.00m  
細砂





B-2  
標準貫入試験試料

GL-34.00m  
粘土～細砂



B-2  
標準貫入試験試料

GL-36.00m  
粘土



B-2  
標準貫入試験試料

GL-37.00m  
シルト～細砂



B-2

標準貫入試験試料

GL-42.00m  
細砂





B-3  
施工前



B-3  
施工後



B-3  
全 景



B-3  
標準貫入試験





B-3

乱れの少ない試料採取

ロータリー式  
三重管サンプラー  
(トリプル)



B-3

乱れの少ない採取試料

GL-14.00~14.80m



B-3  
残 尺

残尺 1.44m



B-3  
検 尺

総尺 34.80m  
残尺 1.44m  
検尺 33.36m



B-3  
調査孔閉塞

セメントミルク注入





B-3  
標準貫入試験試料

GL-1.00m  
埋土(粘性土)



B-3  
標準貫入試験試料

GL-4.00m  
埋土(砂混じりシルト)



B-3  
標準貫入試験試料

GL-7.00m  
埋土(砂混じりシルト)





B-3  
標準貫入試験試料

GL-10.00m  
埋土(粘性土)



B-3  
標準貫入試験試料

GL-13.00m  
埋土(粘性土)



B-3  
標準貫入試験試料

GL-14.00m  
有機質粘土





B-3  
標準貫入試験試料

GL-15.00m  
有機質粘土



B-3  
標準貫入試験試料

GL-16.00m  
細砂



B-3  
標準貫入試験試料

GL-17.00m  
シルト混じり細砂





B-3  
標準貫入試験試料

GL-18.00m  
細砂



B-3  
標準貫入試験試料

GL-19.00m  
細砂



B-3  
標準貫入試験試料

GL-22.00m  
細砂





B-3  
標準貫入試験試料

GL-25.00m  
細砂



B-3  
標準貫入試験試料

GL-26.00m  
シルト混じり細砂



B-3  
標準貫入試験試料

GL-27.00m  
細砂





B-3  
標準貫入試験試料

GL-28.00m  
シルト混じり細砂



B-3  
標準貫入試験試料

GL-29.00m  
細砂



B-3  
標準貫入試験試料

GL-33.00m  
細砂



B-4  
施工前



B-4  
施工後





B-4  
全 景



B-4  
標準貫入試験



B-4

乱れの少ない試料採取

ロータリー式  
二重管サンプラー  
(デニソン)



B-4

乱れの少ない採取試料

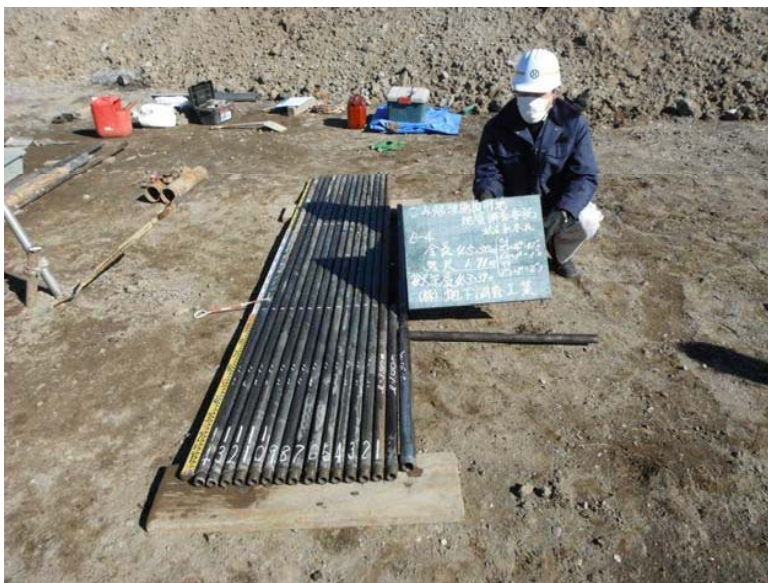
GL-2.00~2.85m  
GL-5.00~5.85m





B-4  
残尺

残尺 1.91m



B-4  
検尺

総尺 45.30m  
残尺 1.91m  
検尺 43.39m



B-4  
調査孔閉塞

セメントミルク注入



B-4  
標準貫入試験試料

GL-1.00m  
埋土(砂混じり粘土)



B-4  
標準貫入試験試料

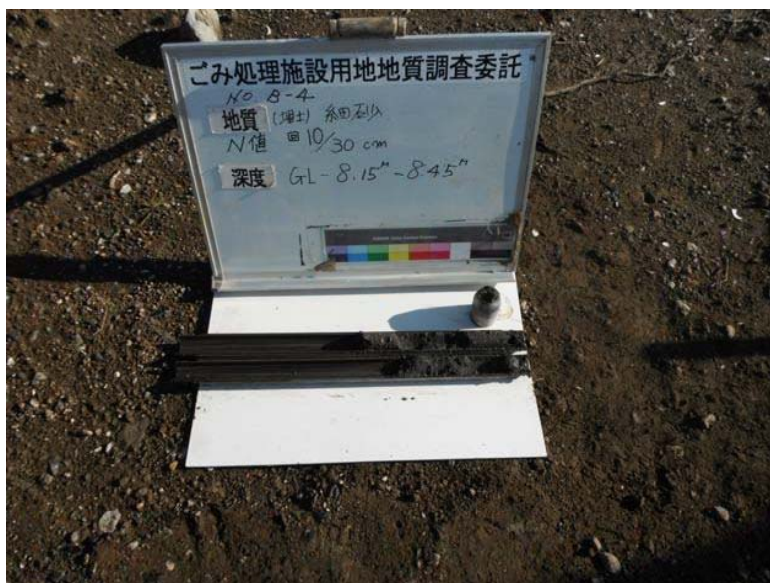
GL-3.00m  
埋土(砂混じり粘土)



B-4  
標準貫入試験試料

GL-5.00m  
埋土(シルト混じり細砂)





B-4  
標準貫入試験試料

GL-8.00m  
埋土(砂質土)



B-4  
標準貫入試験試料

GL-11.00m  
埋土(砂質シルト)



B-4  
標準貫入試験試料

GL-13.00m  
埋土(砂質シルト)





B-4  
標準貫入試験試料

GL-14.00m  
埋土(砂質シルト)



B-4  
標準貫入試験試料

GL-15.00m  
細砂



B-4  
標準貫入試験試料

GL-17.00m  
細砂



B-4  
標準貫入試験試料

GL-19.00m  
微細砂



B-4  
標準貫入試験試料

GL-22.00m  
微細砂



B-4  
標準貫入試験試料

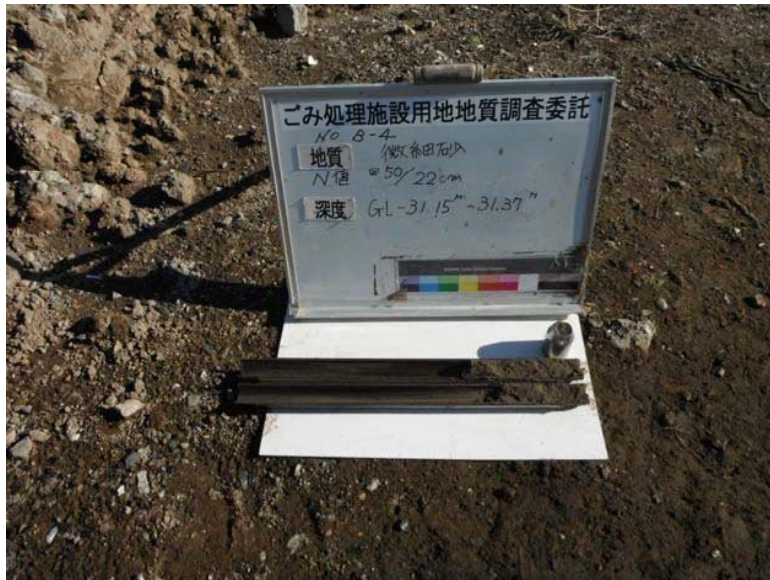
GL-25.00m  
微細砂





B-4  
標準貫入試験試料

GL-28.00m  
細砂



B-4  
標準貫入試験試料

GL-31.00m  
細砂



B-4  
標準貫入試験試料

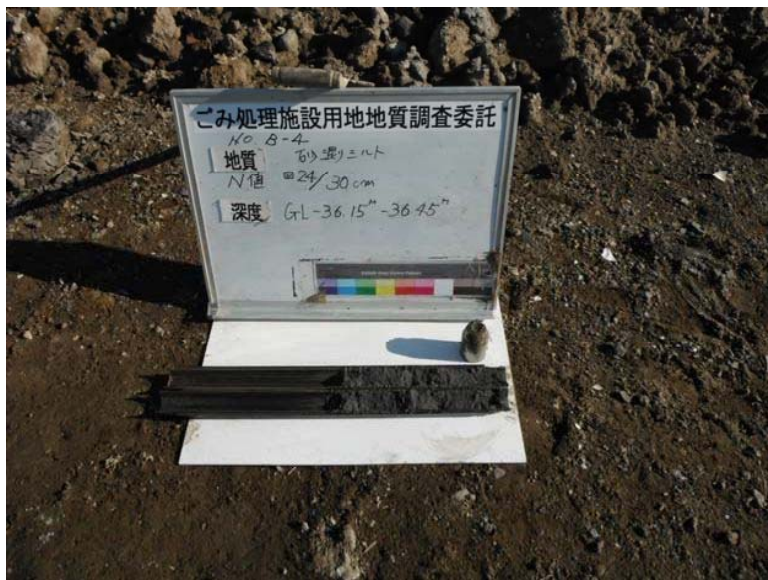
GL-33.00m  
粘土



B-4

標準貫入試験試料

GL-34.00m  
粘土混り細砂



B-4

標準貫入試験試料

GL-36.00m  
砂混りシルト



B-4

標準貫入試験試料

GL-38.00m  
シルト混り細砂





B-4  
標準貫入試験試料

GL-39.00m  
細砂



B-4  
標準貫入試験試料

GL-41.00m  
細砂



B-4  
標準貫入試験試料

GL-43.00m  
細砂



B-5  
施工前



B-5  
施工後





B-5  
全 景



B-5  
標準貫入試験



B-5  
残 尺

残尺 1.93m



B-5  
検 尺

総尺 45.30m  
残尺 1.93m  
検尺 43.37m



B-5  
調査孔閉塞

セメントミルク注入





B-5  
標準貫入試験試料

GL-1.00m  
埋土(粘性土)



B-5  
標準貫入試験試料

GL-3.00m  
埋土(砂質土)



B-5  
標準貫入試験試料

GL-6.00m  
埋土(砂混じりシルト)



B-5  
標準貫入試験試料

GL-8.00m  
埋土(礫混じりシルト)



B-5  
標準貫入試験試料

GL-11.00m  
埋土(砂混じりシルト)



B-5  
標準貫入試験試料

GL-12.00m  
有機質粘土





B-5  
標準貫入試験試料

GL-14.00m  
シルト混じり細砂



B-5  
標準貫入試験試料

GL-16.00m  
シルト混じり細砂



B-5  
標準貫入試験試料

GL-17.00m  
微細砂





B-5  
標準貫入試験試料

GL-19.00m  
微細砂



B-5  
標準貫入試験試料

GL-22.00m  
微細砂



B-5  
標準貫入試験試料

GL-25.00m  
微細砂



B-5  
標準貫入試験試料

GL-27.00m  
微細砂



B-5  
標準貫入試験試料

GL-29.00m  
微細砂



B-5  
標準貫入試験試料

GL-30.00m  
細砂





B-5  
標準貫入試験試料

GL-31.00m  
細砂



B-5  
標準貫入試験試料

GL-33.00m  
砂混じり固結シルト



B-5  
標準貫入試験試料

GL-34.00m  
細砂



B-5  
標準貫入試験試料

GL-35.00m  
砂混じり粘土



B-5  
標準貫入試験試料

GL-36.00m  
シルト混じり細砂



B-5  
標準貫入試験試料

GL-37.00m  
シルト





B-5  
標準貫入試験試料

GL-38.00m  
細砂



B-5  
標準貫入試験試料

GL-40.00m  
細砂



B-5  
標準貫入試験試料

GL-43.00m  
細砂



# 室内土質試験



土粒子の密度試験



土の含水比試験



土の粒度試験(ふるい分析)



土の粒度試験(沈降分析)



土の液性限界試験



土の塑性限界試験



土の湿潤密度試験



土の一軸圧縮試験



土の三軸圧縮試験(UU)



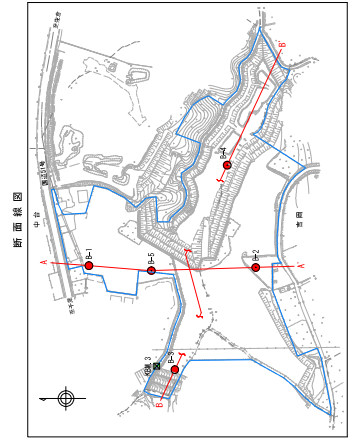
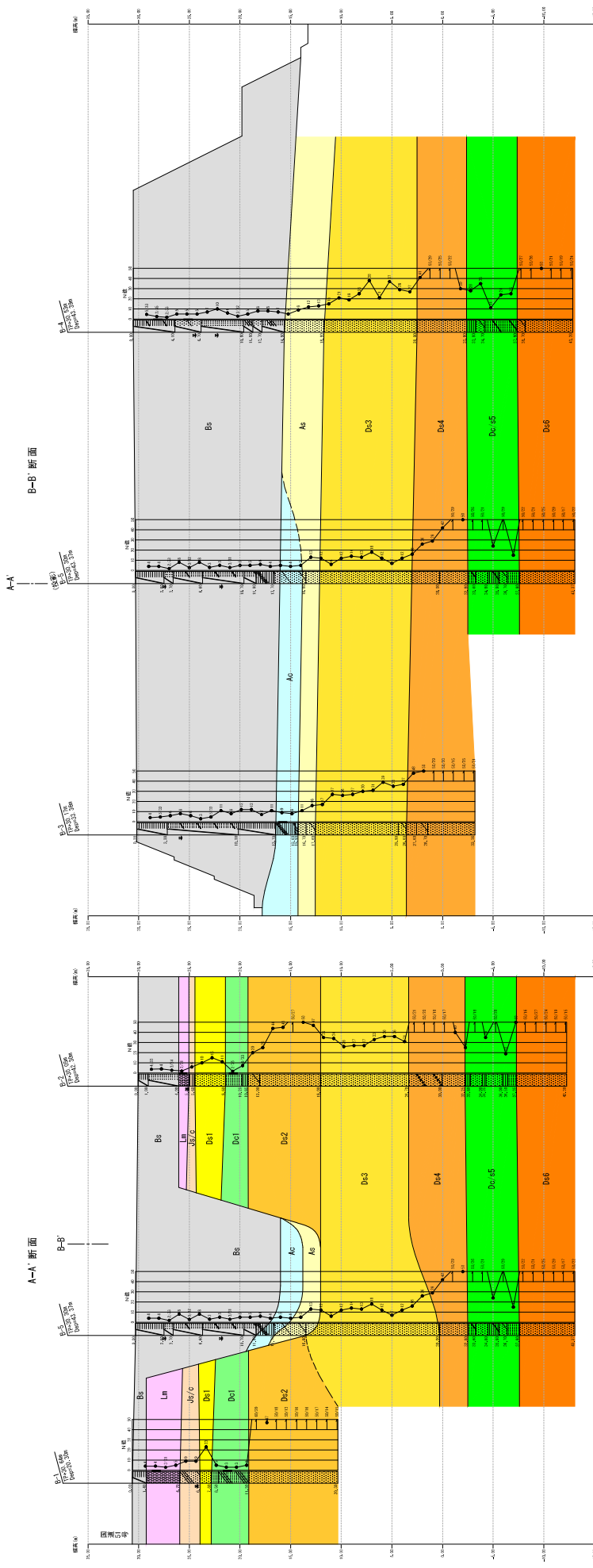
土の段階载荷による圧密試験



## 【 付 図 】

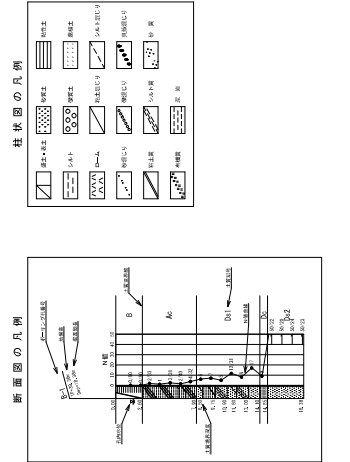
- ・地質想定断面図

地質想定断面図  
 Y=1:200  
 H=1:1000



地層区分

地層区分	記号	土質	主要土質名	層厚(m)	N値	説明・特徴
埋設土	Bs	埋設土	埋設土	1.00~1.50	1.0~1.5	埋設土層、埋設土層、埋設土層
沖積砂質土層	As	沖積砂質土層	沖積砂質土層	1.00~2.00	As-1 As-2 As-3	沖積砂質土層、沖積砂質土層、沖積砂質土層
沖積砂質土層	Dc3	沖積砂質土層	沖積砂質土層	1.50~2.00	1.5~2.0	沖積砂質土層、沖積砂質土層、沖積砂質土層
沖積砂質土層	Dc4	沖積砂質土層	沖積砂質土層	1.00~2.00	1.0~2.0	沖積砂質土層、沖積砂質土層、沖積砂質土層
沖積砂質土層	Dc5	沖積砂質土層	沖積砂質土層	1.00~2.00	1.0~2.0	沖積砂質土層、沖積砂質土層、沖積砂質土層
沖積砂質土層	Dc6	沖積砂質土層	沖積砂質土層	1.00~2.00	1.0~2.0	沖積砂質土層、沖積砂質土層、沖積砂質土層



業務名	地質調査断面図
作成年月	平成28年7月
層尺	Y=1:200 H=1:1000
図番	図番番号 /
会社名	株式会社 地下調査工業
事務所	四国道事務所

※本図は、現場調査結果に基づき作成されたものであり、実際の地質状況と異なる場合があります。また、本図は、現場調査結果に基づき作成されたものであり、実際の地質状況と異なる場合があります。